

برقی و مقناطیسیات

خالد خان یوسفزئی
 کامیٹ انسٹیٹیوٹ آف انفارمیشن ٹیکنالوجی، اسلام آباد
 khalidyousafzai@comsats.edu.pk

عنوان

3

1	سمتیاں	1
1	4	
1.1	مقداری اور سمتیہ	1
1	5	
1.2	سمتی الجبرا	1
2	6	
1.3	کارتیسی محدود	1
3	7	
1.4	اکائی سمتیاں	1
5	8	
1.5	میدانی سمتیہ	1
9	9	
1.6	سمتی رقبہ	1
9	10	
1.7	غیر سمتی ضرب	1
10	11	
1.8	سمتی ضرب یا صلیبی ضرب	1
14	12	
1.9	گول نلکی محدود	1
17	13	
1.9.1	نلکی اکائی سمتیاں کا کارتسی اکائی سمتیاں کے ساتھ غیر سمتی ضرب	1
20	14	
1.9.2	نلکی اور کارتسی اکائی سمتیاں کا تعلق	1
20	15	
1.9.3	نلکی لامحدود سطحیں	1
25	16	
1.10	کروی محدود	1
27	17	
2	کولومب کا قانون	2
39	18	
2.1	قوت کشش یا دفع	2
39	19	
2.2	برقی میدان کی شدت	2
43	20	
2.3	یکساں چارج بردار سیدھی لامحدود لکیر کا برقی میدان	2
46	21	
2.4	یکساں چارج بردار ہموار لامحدود سطح	2
51	22	
2.5	چارج بردار حجم	2
55	23	
2.6	مزید مثال	2
56	24	
2.7	برقی میدان کے سمت بہاؤ خط	2
64	25	

69 ²⁶	گاؤس کا قانون اور پھیلاؤ	3
69 ²⁷	ساکن چارج	3.1
69 ²⁸	فیراڈے کا تجربہ	3.2
70 ²⁹	گاؤس کا قانون	3.3
72 ³⁰	گاؤس کے قانون کا استعمال	3.4
72 ³¹	نقطہ چارج	3.4.1
74 ³²	یکساں چارج بردار کروی سطح	3.4.2
74 ³³	یکساں چارج بردار سیدھی لامحدود لکیر	3.4.3
75 ³⁴	ہم محوری تار	3.5
77 ³⁵	یکساں چارج بردار ہموار لامحدود سطح	3.6
77 ³⁶	انتہائی چھوٹی حجم پر گاؤس کے قانون کا اطلاق	3.7
80 ³⁷	پھیلاؤ	3.8
82 ³⁸	نلکی محدود میں پھیلاؤ کی مساوات	3.9
84 ³⁹	پھیلاؤ کی عمومی مساوات	3.10
86 ⁴⁰	مسئلہ پھیلاؤ	3.11
93 ⁴¹	توانائی اور برقی دباؤ	4
93 ⁴²	توانائی اور کام	4.1
94 ⁴³	لکیری تکملہ	4.2
99 ⁴⁴	برقی دباؤ	4.3
100 ⁴⁵	نقطہ چارج کا برقی دباؤ	4.3.1
101 ⁴⁶	لکیری چارج کثافت سے پیدا برقی دباؤ	4.3.2
102 ⁴⁷	ہم محوری تار کا برقی دباؤ	4.3.3
102 ⁴⁸	متعدد نقطہ چارجوں کی برقی دباؤ	4.4
106 ⁴⁹	برقی دباؤ کی ڈھلوان	4.5
110 ⁵⁰	نلکی محدود میں ڈھلوان	4.5.1
111 ⁵¹	کروی محدود میں ڈھلوان	4.5.2
112 ⁵²	جفت قطب	4.6
114 ⁵³	جفت قطب کے سمت بہاؤ خط	4.6.1
117 ⁵⁴	ساکن برقی میدان کی کثافت توانائی	4.7

125 _s	موصل، ذو برق اور کیپسٹر	5
125 _{s6}	برقی رو اور کثافت برقی رو	5.1
127 _{s7}	استمراری مساوات	5.2
129 _{s8}	موصل	5.3
134 _{s9}	موصل کے خصوصیات اور سرحدی شرائط	5.4
137 _{s10}	عکس کی ترکیب	5.5
140 _{s11}	نیم موصل	5.6
141 _{s12}	ذو برق	5.7
146 _{s13}	کامل ذو برق کے سرحد پر برقی شرائط	5.8
150 _{s14}	موصل اور ذو برقی کے سرحدی شرائط	5.9
150 _{s15}	کیپسٹر	5.10
152 _{s16}	5.10.1 متوازی چادر کیپسٹر	
153 _{s17}	5.10.2 ہم محوری کیپسٹر	
153 _{s18}	5.10.3 ہم محوری کرہ کیپسٹر	
155 _{s19}	5.11 سلسلہ وار اور متوازی جڑے کیپسٹر	
156 _{s20}	5.12 دو متوازی تاروں کا کیپسٹنس	
169 _{s21}	پوٹنسن اور لاپلاس مساوات	6
171 _{s22}	6.1 مسئلہ یکنائی	
173 _{s23}	6.2 لاپلاس مساوات خطی ہے	
173 _{s24}	6.3 نلکی اور کروی محدود میں لاپلاس کی مساوات	
174 _{s25}	6.4 لاپلاس مساوات کے حل	
181 _{s26}	6.5 پوٹنسن مساوات کے حل کی مثال	
183 _{s27}	6.6 لاپلاس مساوات کا ضربی حل	
191 _{s28}	6.7 عددی دہرائے کا طریقہ	

199 ₉	ساکن مقناطیسی میدان	7
199 ₀	بایوٹ-سیوارٹ کا قانون	7.1
204 ₁	ایمپیٹر کا دوری قانون	7.2
210 ₂	گردش	7.3
217 ₃	نلکی محدود میں گردش	7.3.1
222 ₄	عمومی محدود میں گردش کی مساوات	7.3.2
224 ₅	کروی محدود میں گردش کی مساوات	7.3.3
225 ₆	مسئلہ سٹوکس	7.4
228 ₇	مقناطیسی بہاؤ اور کثافت مقناطیسی بہاؤ	7.5
235 ₈	غیر سمتی اور سمتی مقناطیسی دباؤ	7.6
240 ₉	ساکن مقناطیسی میدان کے قوانین کا حصول	7.7
240 ₀	سمتی مقناطیسی دباؤ	7.7.1
242 ₁	ایمپیٹر کا دوری قانون	7.7.2
249 ₂	مقناطیسی قوتیں، مقناطیسی مادے اور امالہ	8
249 ₃	متحرک چارج پر قوت	8.1
250 ₄	تفرقی چارج پر قوت	8.2
254 ₅	برقی رو گزارتے تفرقی تاروں کے مابین قوت	8.3
255 ₆	قوت اور مروڑ	8.4
261 ₇	فولادی مقناطیسی اشیاء اور مقناطیسی خطے	8.5
262 ₈	مقناطیسیت اور مقناطیسی مستقل	8.6
265 ₉	مقناطیسی سرحدی شرائط	8.7
268 ₀₀	مقناطیسی دور	8.8
271 ₀₁	مقناطیسی مخفی توانائی	8.9
271 ₀₂	خود امالہ اور مشترکہ امالہ	8.10
277 ₀₃	مشترکہ امالہ	8.11

283 ₀₄	وقت کے ساتھ بدلنے میدان اور میکس ویل کے مساوات	9
283 ₀₅	فیراڈے کا قانون	9.1
290 ₀₆	انتقالی برقی رو	9.2
296 ₀₇	میکس ویل مساوات کی نقطہ شکل	9.3
298 ₀₈	میکس ویل مساوات کی تکمل شکل	9.4
303 ₀₉	تاخیری دباو	9.5
311 ₁₀	مستوی امواج	10
311 ₁₁	خالی خلاء میں برقی و مقناطیسی مستوی امواج	10.1
312 ₁₂	برقی و مقناطیسی مستوی امواج	10.2
320 ₁₃	10.2.1 خالی خلاء میں امواج	
323 ₁₄	10.2.2 خالص یا کامل ذو برق میں امواج	
325 ₁₅	10.2.3 ناقص یا غیر کامل ذو برقی میں امواج	
329 ₁₆	10.3 پوٹنٹنگ سمتیہ	
334 ₁₇	10.4 موصل میں امواج	
340 ₁₈	10.5 انعکاس مستوی موج	
347 ₁₉	10.6 شرح ساکن موج	
352 ₂₀	10.7 دو سرحدی انعکاس	
357 ₂₁	10.7.1 فیری-پیروٹ طیف پیما	
359 ₂₂	10.7.2 $\eta_1 \neq \eta_3$ کی صورت میں ہم رکاوٹ صورت کا حصول	
360 ₂₃	10.7.3 متعدد سرحدی مسئلہ	
361 ₂₄	10.8 خطی، بیضوی اور دائری تقطیب	
368 ₂₅	10.9 بیضوی یا دائری قطبی امواج کا پوٹنٹنگ سمتیہ	

379 ₂₆	11 ترسیلی تار
379 ₂₇	11.1 ترسیلی تار کے مساوات
383 ₂₈	11.2 ترسیلی تار کے مستقل
384 ₂₉	11.2.1 ہم محوری تار کے مستقل
387 ₃₀	11.2.2 دو متوازی تار کے مستقل
388 ₃₁	11.2.3 سطح مستوی ترسیلی تار
389 ₃₂	11.3 ترسیلی تار کے چند مثال
397 ₃₃	11.4 ترسیمی تجزیہ، سمتھ نقشہ
404 ₃₄	11.4.1 سمتھ فراوانی نقشہ
406 ₃₅	11.5 تجرباتی نتائج پر مبنی چند مثال
410 ₃₆	11.6 تجزیہ عارضی حال
427 ₃₇	12 ترچھی آمد، انعکاس، انحراف اور انکسار
427 ₃₈	12.1 ترچھی آمد
439 ₃₉	12.2 قطبی موج کی ترچھی آمد
443 ₄₀	12.3 ترسیم بائی گن
447 ₄₁	13 موج اور گھمکیا
447 ₄₂	13.1 برقی دور، ترسیلی تار اور موج کا موازنہ
448 ₄₃	13.2 دو لامحدود وسعت کے مستوی چادروں کے موج میں عرضی برقی موج
453 ₄₄	13.3 کھوکھلا مستطیل موج
463 ₄₅	13.3.1 مستطیلی موج کے میدان پر تفصیلی غور
469 ₄₆	13.4 مستطیلی موج میں عرضی مقناطیسی TM_{mn} موج
474 ₄₇	13.5 کھوکھلی نالی موج
481 ₄₈	13.6 انقطاعی تعدد سے کم تعدد پر تضعیف
482 ₄₉	13.7 انقطاعی تعدد سے بلند تعدد پر تضعیف
486 ₅₀	13.8 سطحی موج
490 ₅₁	13.9 ذو برق تختی موج
494 ₅₂	13.10 شیش ریشہ
496 ₅₃	13.11 پردہ بصارت
498 ₅₄	13.12 گھمکی خلاء
501 ₅₅	13.13 میکس ویل مساوات کا عمومی حل

- 14.1 تعارف 509₅₇
- 14.2 تاخیری دباؤ 509₅₈
- 14.3 تکمل 511₅₉
- 14.4 مختصر جفت قطبی ایٹینا 512₆₀
- 14.5 مختصر جفت قطب کا اخراجی مزاحمت 520₆₁
- 14.6 ٹھوس زاویہ 524₆₂
- 14.7 اخراجی رقبہ، سمتیت اور افزائش 525₆₃
- 14.8 قطاری ترتیب 532₆₄
- 14.8.1 غیر سمتی، دو نقطہ منبع 532₆₅
- 14.8.2 ضرب نقش 533₆₆
- 14.8.3 ثنائی قطار 534₆₇
- 14.8.4 یکساں طاقت کے متعدد رکن پر مبنی قطار 536₆₈
- 14.8.5 یکساں طاقت کے متعدد رکن پر مبنی قطار: چوڑائی جانب اخراجی قطار 538₆₉
- 14.8.6 یکساں طاقت کے متعدد رکن پر مبنی قطار: لمبائی جانب اخراجی قطار 538₇₀
- 14.8.7 یکساں طاقت کے متعدد رکن پر مبنی قطار: بدلنے زاویہ اخراجی ایٹینا 542₇₁
- 14.9 تداخل پیما 543₇₂
- 14.10 مسلسل خطی ایٹینا 544₇₃
- 14.11 مستطیل سطحی ایٹینا 545₇₄
- 14.12 اخراجی سطح پر میدان اور دور میدان آپس کے فوریئر بدل ہیں 548₇₅
- 14.13 خطی ایٹینا 548₇₆
- 14.14 چلتے موج ایٹینا 553₇₇
- 14.15 چھوٹا گھیرا ایٹینا 554₇₈
- 14.16 پیچ دار ایٹینا 555₇₉
- 14.17 دو طرفہ کردار 557₈₀
- 14.18 جھری ایٹینا 559₈₁
- 14.19 پیپا ایٹینا 560₈₂
- 14.20 فرانس ریڈار مساوات 562₈₃
- 14.21 ریڈیائی دوربین، ایٹینا کی حرارت اور تحلیلی کارکردگی 565₈₄
- 14.22 حرارت نظام اور حرارت بعید 567₈₅

مویج اور گھمکیا

اب تک ہم صرف **عرضی برقی و مقناطیسی** TEM¹ امواج کی بات کرتے آ رہے ہیں جن میں برقی اور مقناطیسی دونوں میدان سمت حرکت کے عمودی ہوتے ہیں۔ اس باب میں ترسیلی تار پر بحث کو آگے بڑھاتے ہوئے ایسے امواج پر غور کیا جائے گا جن میں برقی یا مقناطیسی میدان سمت حرکت کی جانب بھی جزو رکھتے ہوں۔ وہ **مقناطیسی** تار جو صرف اس طرح کے امواج کو گزار سکیں **مویج**² کہلاتے ہیں۔

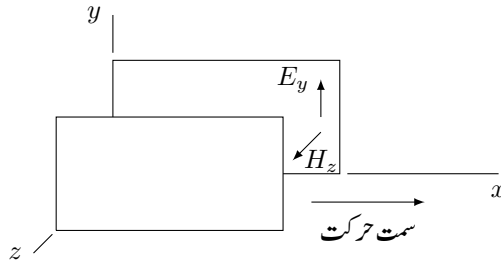
دو لا محدود جسامت کے مستوی سطحوں کے مویج سے بات شروع کرتے ہوئے کھوکھلے مستطیلی اور ٹکلی مویج تک بات بڑھائی جائے گی۔ ان مویج میں میدان کے اشکال، ان کے منقطع طول مویج اور تضعیفی مستقل حاصل کئے جائیں گے۔ اس کے بعد ایک تار پر بیرونی مویج اور دیگر اقسام کے مویج پر غور کیا جائے گا۔ آخر میں موصل کے بند ڈبوں میں مقید امواج پر غور کیا جائے گا۔ ان ڈبوں کو گھمکیا کہتے ہیں۔

13.1 برقی دور، ترسیلی تار اور مویج کا موازنہ

کم تعدد پر برقی دباؤ، برقی رو، مزاحمت وغیرہ وہ متغیرات ہیں جنہیں استعمال کرتے ہوئے برقی ادوار حل کئے جاتے ہیں۔ ان تعدد پر تمام مزاحمت یا رکاؤٹ کو نقطہ نما تصور کیا جاتا ہے۔ یوں تار کے ایک سرے پر منبع برقی دباؤ لاگو کرتے ہوئے تار کے دوسرے سرے پر مزاحمت میں برقی رو حاصل کی جاسکتی ہے۔

قدر زیادہ تعدد پر انہیں حقائق کو ترسیلی تار پر لاگو کیا جاسکتا ہے۔ ایسا کرتے وقت ترسیلی تار کی مزاحمت یا مالہ تار کی لمبائی پر تقسیم شدہ تصور کرنا لازم ہے۔ ہاتھ ہی ساتھ ترسیلی تار پر برقی دباؤ کی رفتار پر بھی نظر رکھنی ہوتی ہے۔

اب موصل کھوکھلے ٹکلی یا مستطیلی نالی پر مبنی نظام کی بات کرتے ہیں۔ کیا ایسی نالی برقی و مقناطیسی طاقت منتقل کرنے کی صلاحیت رکھتی ہے؟ اگر ہماری معلومات برقی ادوار یا ترسیلی تار تک محدود ہوتی تب اس سوال کا جواب یہ ہے کہ ایسا ممکن نہیں ہے کیونکہ برقی طاقت کے منتقلی کے لئے دو عدد تار ضروری ہیں۔ البتہ اگر ہم شعاعوں کا علم رکھتے تب جواب ہوتا کہ ایسا ممکن ہے چونکہ شعاعیں سیدھی کھوکھلے ٹکلی سے گزر سکتی ہیں اور شعاعیں بلند تعدد (10^{16} Hz) کی برقی و مقناطیسی امواج ہی ہیں۔



شکل 13.1: دو لامحدود وسعت کے متوازی موصل چادروں کا نظام۔

اصل جواب ہے کہ ایسا موج کے تعدد پر منحصر ہے۔ کم تعدد کے امواج نالی سے نہیں گزر سکتے جبکہ بلند تعدد کے امواج اس سے گزر سکتے ہیں۔ تعدد کے ان دو خطوں کے درمیان ایسی تعدد ہوگی جس سے کم تعدد نالی سے نہیں گزرے گی اور جس سے زیادہ تعدد نالی سے گزرے گی۔ اس تعدد کو **پست انقطاعی تعدد** کہا جاتا ہے۔

4322

کھوکھلی نالی سے برقی و مقناطیسی طاقت کی منتقلی برقی ادوار حل کرنے کے علم سے ناقابل سمجھ مسئلہ ہے۔ کھوکھلی نالی میں طاقت کی منتقلی، نالی کے کھوکھلے حصے میں برقی اور مقناطیسی میدان پر غور سے سمجھا جاسکتا ہے جنہیں استعمال کرتے ہوئے پونینگ سمتیہ سے موج کی طاقت حاصل ہوتی ہے۔ دراصل برقی و مقناطیسی طاقت نالی کے کھوکھلے حصے میں برقی اور مقناطیسی امواج سے منتقل ہوتا ہے تاکہ نالی کے موصل حصے میں۔ برقی دباؤ اور برقی رواں منتقلی کے محض اضافی اثرات ہیں۔

4326

13.2 دو لامحدود وسعت کے مستوی چادروں کے موج میں عرضی برقی موج

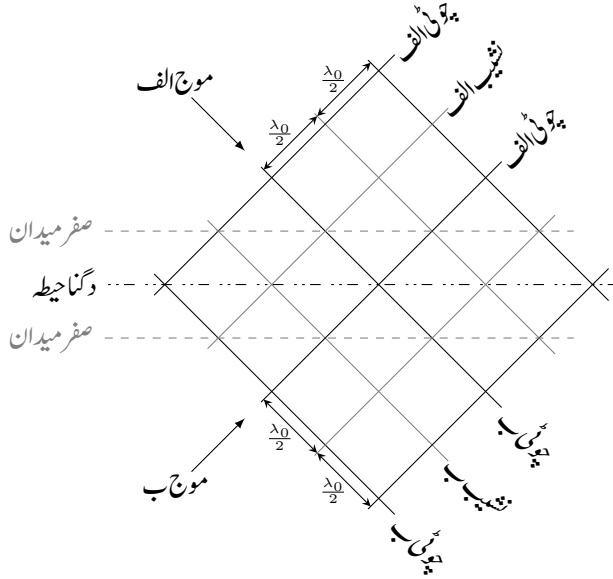
شکل 13.1 میں دو لامحدود وسعت کے متوازی چادروں پر مبنی ترسیلی تار دکھائی گئی ہے جو y سمتی عرضی برقی و مقناطیسی موج گزار سکتی ہے۔ اس تار کی خاص خاصیت یہ ہے کہ ایک مخصوص تعدد کے اوپر یہ دیگر **بلند درجی انداز**⁴ کے امواج بھی گزار سکتی ہے۔ یوں ترسیلی تار سے شروع کرتے ہوئے موج تک بحث کو پہنچانے کے لئے یہ بہترین مثال ہے۔

4329

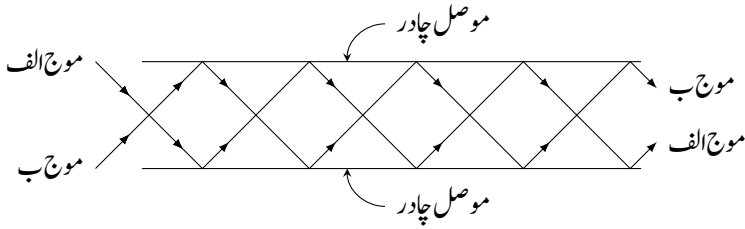
ایسی بلند درجی انداز کی بات کرتے ہیں جس میں برقی میدان ہر نقطے پر y سمتی ہے جبکہ سمت حرکت x ہے۔ چونکہ برقی میدان سمت حرکت کے عمودی ہے لہذا اس انداز کو **عرضی برقی انداز**⁵ (TE) کہا جائے گا۔ اگرچہ اس موج میں برقی میدان عرضی ہے، مقناطیسی میدان عرضی اور طولی اجزاء پر مشتمل ہے۔ کامل موصل چادروں کی صورت میں چادروں پر برقی میدان صفر ہوگا البتہ چادر سے دور اس کی کچھ بھی قیمت ممکن ہے۔ ایسی عرضی برقی انداز موج کے خصوصیات یا آسانیوں حاصل کئے جاسکتے ہیں کہ اسے دو عرضی برقی و مقناطیسی انداز TEM امواج کا مجموعہ تصور کیا جائے جو موصل چادروں کے درمیان بار بار انعکاس کرتی ہوں۔

آئیں پہلے شکل 13.2 پر غور کریں جہاں خالی خلاء میں ایک ہی تعدد کے دو سطحی TEM امواج کے ملاپ کی صورت حال دکھائی گئی ہے۔ اس شکل میں امواج خطی قطبی تصور کئے گئے ہیں جن کا برقی میدان صفحہ کے عمودی فرض کیا گیا ہے۔ موج الف کی شعاع اوپر بائیں ہاتھ سے نیچے دائیں ہاتھ کی طرف جبکہ موج ب کی شعاع نیچے بائیں ہاتھ سے اوپر دائیں ہاتھ کی جانب گامزن ہے۔ یوں ان کا آپس میں ملاپ کسی زاویے پر ہوتا ہے۔ شکل میں گہری سیاہی کی ٹھوس لکیر سے موج کی چوٹی جبکہ ہلکی سیاہی کے ٹھوس لکیر سے اس کا نشیب دکھایا گیا ہے۔ یوں سطحی موج الف کی چوٹیاں اور نشیب، شعاع الف کے عمودی دکھائے گئے ہیں۔ گہری سیاہی کے ٹھوس لکیر کو برقی میدان کی چوٹی تصور کیا جائے۔ یوں اس لکیر پر برقی میدان زیادہ سے زیادہ قیمت رکھتا ہے اور اس کی سمت صفحہ سے عمودی باہر جانب کو ہے۔ اسی طرح ہلکی ٹھوس لکیر میدان کی نشیب کو ظاہر کرتی ہے لہذا یہاں میدان کی قیمت زیادہ سے زیادہ ہوگی البتہ اس کی سمت صفحہ کے عمودی اندر جانب کو ہوگی۔ چوٹی اور نشیب کے درمیان فاصلہ $\frac{\lambda_0}{2}$ کے برابر ہے۔

4340



شکل 13.2: دو عرضی برقی و مقناطیسی امواج خلاء میں مختلف سمتوں میں حرکت کر رہی ہیں۔



شکل 13.3: شعاعیں دو چادروں کے درمیان بار بار انعکاس کرتی حرکت کرتی ہیں۔

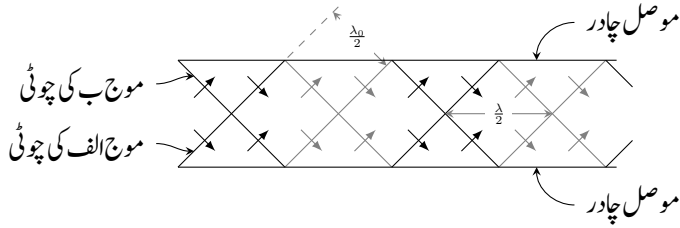
جس نقطے پر ایک موج کی چوٹی اور دوسری موج کا نشیب ملتے ہیں اس نقطے پر کل میدان صفر کے برابر ہوگا۔ یوں جہاں گہری سیاہی اور ہلکی سیاہی کے لکیر ملتے ہیں وہاں میدان صفر ہوگا۔ شکل میں ہلکی سیاہی میں ایسی دو نقطے دار لکیریں کھینچی گئی ہیں جن پر میدان صفر کے برابر ہے۔ آپ غور کر کے تسلی کر لیں کہ ان لکیروں کے ہر نقطے پر برقی میدان صفر ہی ہے۔ مزید آپ ذہن میں دونوں امواج کو حرکت دیتے ہوئے تسلی کر لیں کہ امواج کے حرکت کے باوجود ان دو لکیروں پر میدان صفر ہی رہتا ہے۔ اسی طرح جن نقطوں پر دونوں امواج کی چوٹیاں آپس میں ملتی ہوں یا دونوں کے نشیب آپس میں ملتے ہوں وہاں میدان دگنا ہوگا۔ شکل میں ہلکی سیاہی اور دو نقطوں والی ایسی ایک عدد لکیر دکھائی گئی ہے جہاں میدان دگنا پایا جائے گا۔

4345

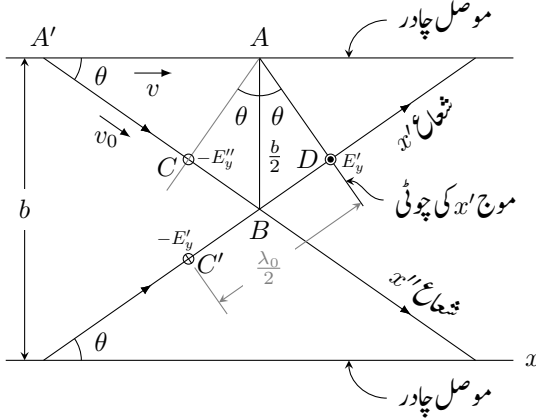
صفر میدان دکھاتے نقطے دار لکیر پر برقی میدان صفر کے برابر ہے لہذا ان پر موصل سطح کے سرحدی برقی میدان کا شرط پورا اترتا ہے۔ یوں ان لکیروں پر صفحہ کے عمودی موصل چادر رکھے جاسکتے ہیں۔ البتہ ایسا کرنے سے موج کی سیدھی حرکت متاثر ہوگی چونکہ آمدی زاویے کے برابر، موصل سطح پر، انعکاسی زاویے سے موج انعکاس کرے گی۔ یوں موج موصل سطح سے گزر نہیں پائے گی۔ ہاں اگر دو موصل چادروں کے درمیان ان امواج کو بھیجا جائے، تب یہ دونوں موصل سطحوں کے درمیان بار بار انعکاس کرتی حرکت کریں گی۔ شکل 13.3 میں ایسا دکھایا گیا ہے۔ شکل 13.4 میں موج میں موج کی چوٹی اور نشیب دکھائے گئے ہیں۔ خالی خلا میں طول موج اور موج میں طول موج کا تعلق بھی دکھایا گیا ہے۔ اس شکل میں موصل چادروں کے درمیان میدان ہو بہو شکل 13.2 میں دو متوازی نقطے دار لکیروں کے درمیان میدان ہے۔ یہاں بھی گہری سیاہی میں ٹھوس لکیر E کی چوٹی اور ہلکی سیاہی میں لکیر اس کا نشیب ہے۔ موصل چادر پر یہ دونوں مل کر صفر برقی میدان پیدا کرتے ہیں۔

4352

اگرچہ ہم دو عدد عرضی برقی و مقناطیسی TEM امواج کی بات کرتے آ رہے ہیں، درحقیقت ان کا مجموعہ بلند درجی TE انداز کی موج ہے۔ بلند درجی انداز کے



شکل 13.4: موجوں کی چوٹیاں، نشیب، خالی خلاء اور موج میں طول موج۔



شکل 13.5: متوازی لامحدود وسعت کے چادروں کے موج میں میدان کے اجزاء۔

موج کی اہم خصوصیت یہ ہے کہ اس کا طول موج ایک مخصوص حد سے کم ہونا لازم ہے۔ ایسا نہ ہونے کی صورت میں یہ موج سے نہیں گزر سکتی۔ طول کی یہ حد **انقطاعی طول**⁶ پکاری جاتی ہے۔ آئیں انقطاعی طول حاصل کریں۔

4355

شکل 13.5 میں TE موج کے دو TEM جزاء دکھائے گئے ہیں جو x' اور x'' سمت میں گامزن ہیں۔ دونوں جزو موصل چادر یعنی x محدود کے ساتھ θ زاویہ بناتے ہیں۔ برقی میدان صفحہ کے عمودی y محور کی سمت میں ہے۔ چادروں کے درمیان فاصلہ b ہے۔ نقطہ D پر موج x' کی چوٹی ہے لہذا یہاں برقی میدان E'_y مثبت قیمت رکھتا ہے جو صفحہ کے عمودی باہر کو ہے اور جسے گول دائرے میں بند نقطے سے ظاہر کیا گیا ہے۔ اس نقطے پر لکیر AD لہر کی چوٹی ظاہر کرتی ہے۔ عین اسی لمحہ نقطہ C پر موج x'' کا نشیب ہے جسے گول دائرے میں بند صلیبی نشان سے ظاہر کیا گیا ہے۔ اس لہر کے نشیب کو ہلکی سیاہی میں لکیر AC سے ظاہر کیا گیا ہے۔ ایک لہر کی چوٹی اور دوسرے لہر کا نشیب نقطہ A پر مل کر صفر میدان پیدا کرتے ہیں۔ ہم جانتے ہیں کہ درمیان دونوں امواج کی چوٹیاں مل کر دگنا میدان پیدا کرتی ہیں۔ اس نقطے کو شکل میں B سے ظاہر کیا گیا ہے۔ یوں موج x'' کا نشیب C پر جبکہ اس کی چوٹی B پر ہے۔ اس طرح ان نقطوں کے درمیان فاصلہ طول موج کا چوتھا حصہ ہو گا۔ اسی طرح BD اور $C'B$ بھی طول موج کے چوتھائی برابر ہیں

$$(13.1) \quad BC = BC' = BD = \frac{\lambda_0}{4}$$

جہاں لا محدود خلاء میں TEM موج کا طول موج λ_0 ہے اور یہ خلاء اسی مادے سے بھری ہے جو دو چادروں کے درمیان پایا جاتا ہے۔ موصل چادر پر ایک موج کی کوئی بھی چوٹی اور دوسری موج کا کوئی بھی نشیب مل کر صفر میدان پیدا کر سکتے ہیں۔ یوں مندرجہ بالا مساوات کی عمومی شکل

$$(13.2) \quad BC = \frac{n\lambda_0}{4}$$

ہے جہاں $n = 1, 2, 3, \dots$ ہو سکتے ہیں۔ جفت n کی صورت میں دو چادروں کے عین درمیان برقی میدان صفر حاصل ہوگا جبکہ طاق n کی صورت میں یہاں میدان دگنا ہوگا۔ ان حقائق ہر تفصیلاً جلد بات کی جائے گی۔ شکل 13.5 میں نکتوں ABC سے

$$AB \sin \theta = \frac{b}{2} \sin \theta = \frac{n\lambda_0}{4}$$

یعنی

$$(13.3) \quad \lambda_0 = \frac{2b}{n} \sin \theta$$

لکھا جاسکتا ہے جہاں لمبائی BC کے لئے مساوات 13.2 استعمال کیا گیا۔ اس مساوات کے تحت زیادہ سے زیادہ طول موج λ_{0c} کی قیمت 1 $\sin \theta = 1$ یعنی $\theta = 90^\circ$ پر

$$(13.4) \quad \lambda_{0c} = \frac{2b}{n}$$

حاصل ہوتی ہے جس سے n کی ہر قیمت کے مقابل طول کی انقطاعی قیمت حاصل کی جاسکتی ہے۔ جب $n = 1$ ہو تب

$$(13.5) \quad \lambda_{0c} = 2b$$

حاصل ہوتا ہے۔ یہ کم تردد رے کی TE موج کا انقطاعی طول ہے جو ان چادروں کے درمیان صفر کر سکتی ہے۔ یہ مساوات کہتا ہے کہ چادروں کے درمیان فاصلہ کم از کم آدھے طول کے برابر ہوگا تو موج چادروں کے درمیان سے گزر پائے گی۔

4357

$n = 1$ کو بلند درجی TE موج کا کم تردد رے کہا جاتا ہے۔ $n = 2$ اس سے ایک قدم بلند درجے کی موج کہلائے گی اور اس کا انقطاعی طول

$$(13.6) \quad \lambda_{0c} = b$$

ہوگا۔ یوں $n = 2$ درجے کی TE موج کے گزرنے کا لئے چادروں کے درمیان کم از کم فاصل موج کے طول کے برابر ضروری ہے۔ اسی طرح $n = 3$ کے لئے $\lambda_{0c} = \frac{2b}{3}$ حاصل ہوتا ہے، وغیرہ وغیرہ۔

4359

مساوات 13.4 اور مساوات 13.3 کو ملا کر

$$(13.7) \quad \lambda_0 = \lambda_{0c} \sin \theta$$

یا

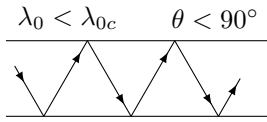
$$(13.8) \quad \theta = \sin^{-1} \frac{\lambda_0}{\lambda_{0c}}$$

لکھا جاسکتا ہے۔ یوں کسی بھی درجے کی موج کا انقطاعی زاویہ $\theta = 90^\circ$ حاصل ہوتا ہے۔ اس زاویے پر موج دونوں چادروں کے مابین x تبدیل کئے بغیر، انعکاس کرتی رہتی ہے۔ یوں چادروں کے درمیان ساکن موج پیدا ہوتی ہے جو x سمت میں طاقت منتقل نہیں کر سکتی۔ اگر طول موج λ_0 انقطاعی طول موج λ_{0c} سے قدر کم ہو تب θ کی قیمت 90° سے کم ہوگی اور موج، بار بار انعکاس کرتی ہوئی، چادروں کے درمیان x سمت میں حرکت کر پائے گی۔ جیسے شکل 13.6 میں دکھایا گیا ہے، طول موج مزید کم کرنے سے زاویہ مزید کم ہوتا ہے۔ آخر کار انتہائی کم طول موج پر صورت حال لامحدود خلاء میں موج کے حرکت مانند ہو جاتی ہے اور یہ شعاع کی طرح چادروں کے درمیان سیدھا گزرنے کے قابل ہو جاتی ہے۔

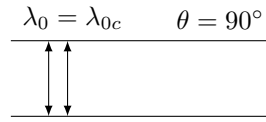
4364

شکل 13.5 میں TEM امواج کی دوری رفتار v_0 لامحدود خلاء میں آزاد موج کی دوری رفتار

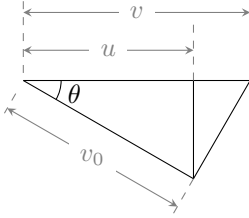
$$(13.9) \quad v_0 = \frac{1}{\sqrt{\mu\epsilon}} \quad \left(\frac{\text{m}}{\text{s}} \right)$$



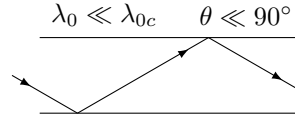
(ب) طول موج، انقطاعی طول موج سے قدر کم ہے۔



(c) طول موج، عین انقطاعی طول موج کے برابر ہے۔



(د) مختلف اقسام کے رفتار کا تعلق۔



(ج) طول موج مزید کم کرنے سے زاویہ بھی مزید کم ہوتا ہے۔

شکل 13.6: طول موج اور انعکاس موج کے زاویے۔ مختلف اقسام کے رفتاروں کا آپس میں تعلق۔

ہی ہے جہاں خلاء کا مقناطیسی مستقل μ اور اس کا برقی مستقل ϵ ہیں۔ شکل 13.6-د میں TE موج کی x سمت میں دوری رفتار v ہے۔ TE موج کی چوٹی یا نشیب یا کوئی اور زوایائی نقطہ اس رفتار سے x سمت میں حرکت کرتا نظر آئے گا۔ ان دو اقسام کے رفتار کا تعلق شکل 13.6-د سے

$$\frac{v_0}{v} = \cos \theta \quad (13.10)$$

لکھا جاسکتا ہے جس سے

$$v = \frac{v_0}{\cos \theta} = \frac{1}{\sqrt{\mu\epsilon} \cos \theta} \quad \frac{m}{s} \quad (13.11)$$

حاصل ہوتا ہے۔ اس مساوات کے تحت جیسے جیسے طول موج کو انقطاعی طول موج کے قریب لایا جائے، ویسے ویسے TE موج کی دوری رفتار کی قیمت بڑھتی ہے حتیٰ کہ عین λ_{0c} پر دوری رفتار لامحدود قیمت اختیار کر لیتی ہے۔ اس کے برعکس جیسے جیسے طول موج کو کم کیا جائے، یعنی جیسے جیسے θ کو کم کیا جائے، ویسے ویسے TE موج کی دوری رفتار TEM کے دوری رفتار کے قریب ہوگی حتیٰ کہ انتہائی کم طول موج یعنی انتہائی بلند تعدد کے موج کی صورت میں یہ قیمت v_0 کے برابر ہو جائے گی۔ یوں موج میں بند، بلند درجی موج کا دوری رفتار TEM موج کے دوری رفتار سے زیادہ یا اس کے برابر ممکن ہے۔ طاقت کی منتقلی انعکاس کرتی موج کے مجموعی رفتار⁸ سے ہوتی ہے جسے شکل میں u سے ظاہر کیا گیا ہے۔ شکل 13.6-د سے

$$u = v_0 \cos \theta \quad (13.12)$$

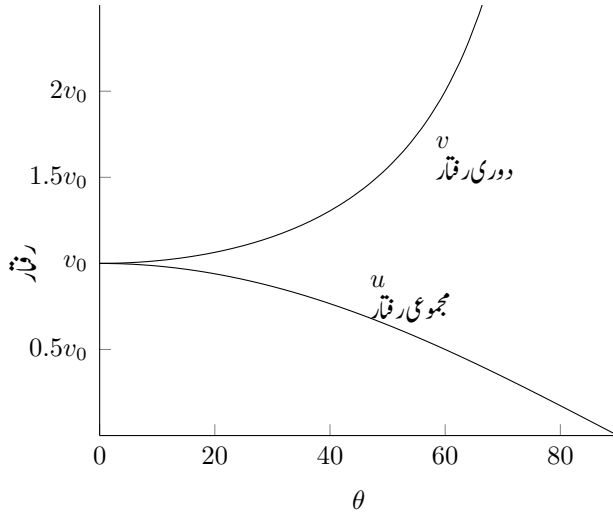
لکھا جاسکتا ہے لہذا طاقت کی منتقلی کی رفتار TEM کے رفتار سے کم یا اس کے برابر ممکن ہے۔ طاقت کسی صورت بھی TEM موج کی رفتار سے زیادہ رفتار پر منتقل کرنا ممکن نہیں ہے۔ یہ حقیقت آئن سٹائن کے قانون کے عین مطابق ہے جس کے تحت کوئی بھی چیز رفتار شعاع سے تجاوز نہیں کر سکتی۔ یاد رہے کہ TE موج کی دوری رفتار درحقیقت کسی چیز کی منتقلی نہیں کرتی لہذا اس کی قیمت v_0 سے بڑھ سکتی ہے۔ مساوات 13.11 اور مساوات 13.12 کو ملا کر

$$uv = v_0^2 \quad (13.13)$$

حاصل ہوتا ہے۔

دو چادروں میں بند ہونے سے TEM موج کا تعدد تبدیل نہیں ہوتا۔ اسی طرح ایسے دو یکساں تعدد کے امواج سے حاصل TE موج کا تعدد بھی وہی رہتا ہے۔ چونکہ طول موج ضرب تعدد کا حاصل رفتار کے برابر ہوتا ہے لہذا مساوات 13.11 کو

$$f\lambda = \frac{f\lambda_0}{\cos \theta}$$



شکل 13.7: دوری اور مجموعی رفتار بالمقابل زاویہ موج۔

لکھا جاسکتا ہے جس سے

$$\lambda = \frac{\lambda_0}{\cos \theta}$$

حاصل ہوتا ہے جو بلند درجہ موج کے طول λ اور آزاد موج کے طول λ_0 کا تعلق ہے۔

شکل 13.7 میں دوری رفتار بالمقابل زاویہ موج اور مجموعی رفتار بالمقابل زاویہ موج دکھائے گئے ہیں۔ جیسے جیسے θ کی قیمت 90° کے قریب آتی ہے ویسے ویسے دوری رفتار کی قیمت لامحدود جبکہ مجموعی رفتار کی قیمت صفر کے قریب تر ہوتی ہے۔

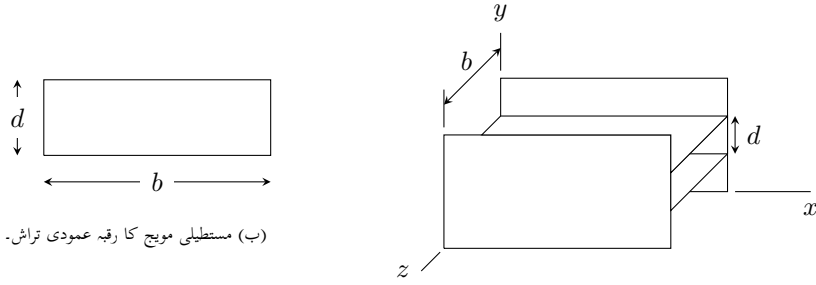
حقیقت میں دو متوازی لامحدود وسعت⁹ کے چادروں پر مبنی موج کہیں نہیں پایا جاتا۔ حقیقی موج عموماً کھوکھلے مستطیل یا کھوکھلے نالی کے اشکال رکھتے ہیں۔ چھ نلکہ برقی میدان کے عمودی موصل چادر رکھنے سے میدان متاثر نہیں ہوتا لہذا دو لامحدود وسعت کے متوازی چادر، جن کے درمیان فاصلہ b ہو، میں TE موج کے عمودی دو چادر رکھنے سے میدان میں کوئی تبدیلی رونما نہیں ہوگی، لیکن ایسا کرنے سے مستطیل موج حاصل ہوتا ہے۔ شکل 13.8-الف میں مستطیلی موج بننا دکھایا گیا ہے جہاں d فاصلے پر دو متوازی چادر رکھے گئے ہیں۔ مستطیل شکل کے علاوہ بقایا چادر ہٹانے سے مستطیل موج حاصل ہوتا ہے جسے شکل 13.8-ب میں دکھایا گیا ہے۔ اس طرح ہم دیکھتے ہیں کہ اگرچہ دو لامحدود چادروں کا موج تو استعمال نہیں ہوتا لیکن اس کے TE موجوں کے توں مستطیل موج کے لئے استعمال کئے جاسکتے ہیں۔ موجودہ TE موج کے نقطہ نظر سے مستطیل کی d لمبائی کچھ بھی ممکن ہے۔

لامحدود چادر کے موج پر غور کرنے سے انقطاعی طول موج کے علاوہ دوری رفتار اور مجموعی رفتار کے مساوات بھی حاصل کئے گئے۔ دیگر بلند درجہ کے امواج پر معلومات حاصل کرنے کی خاطر میکس ویل کے مساوات حل کرنا لازم ہے۔ آئیں مستطیل موج کے لئے میکس ویل مساوات حل کرتے ہیں۔

13.3 کھوکھلا مستطیل موج

مستطیل موج کے اطراف پر برقی اور مقناطیسی سرحدی شرائط، کارتیسی محدود میں نہایت آسانی سے لاگو کئے جاسکتے ہیں۔ اسی لئے مستطیلی موج کو کارتیسی نظام میں حل کیا جائے گا۔ ہم کارتیسی نظام میں میکس ویل کے مساوات سے موج کی مساوات حاصل کرتے ہیں۔ موج کو x محدود پر رکھتے ہوئے ہم سمت موج کو اس سمت

⁹ حقیقی دنیا میں لا محدود وسعت کے چادر نہیں پائے جاتے۔



(ب) مستطیلی موج کا رقبہ عمودی تراش۔

(ا) لامحدود متوازی چادر موج سے مستطیلی موج کا حصول۔

شکل 13.8: مستطیلی موج کا حصول اور اس کا رقبہ عمودی تراش۔

حرکت کے پابند بناتے ہیں اور ساتھ ہی ساتھ اسے سائن نمائندہ تصور کرتے ہیں۔ اس کے بعد بلند درجے موج کی قسم کا انتخاب کرتے ہیں۔ یوں ہم برقی میدان E کو سمت موج کے عمودی رہنے کے پابند رکھتے ہوئے عرضی برقی TE^{10} موج پر غور کر سکتے ہیں یا مقناطیسی میدان کو سمت موج کے عمودی رہنے کے پابند رکھتے ہوئے عرضی مقناطیسی TM^{11} موج پر غور کر سکتے ہیں۔ TEM موج میں برقی اور مقناطیسی میدان سمت حرکت کے عمودی ہوتے ہیں۔ بلند درجی موج میں میدان، سمت حرکت کی سمت میں بھی پائے جاتے ہیں۔ اب عرضی برقی TE موج کی صورت میں $E_x = 0$ ہو گا لہذا ایسی صورت میں H_x صفر کے برابر نہیں ہو سکتا۔ اگر H_x بھی صفر کے برابر ہو تب موج TEM قسم کی ہو گی تاکہ TE قسم کی۔ TE کی صورت میں تمام مساوات کو H_x کی صورت میں لکھنا بہتر ثابت ہوتا ہے۔ حاصل موج پر سرحدی شرائط لاگو کرتے ہوئے اسے H_x کے لئے حل کیا جاتا ہے۔ حاصل H_x کو بقایا مساوات میں پر کرتے ہوئے E_y, E_z, H_y اور H_z حاصل کئے جاتے ہیں۔ یوں برقی اور مقناطیسی میدان کے تمام کارتیسی اجزاء کی مکمل معلومات حاصل ہوتی ہے۔ یہ عمومی طریقہ کار ہے جسے دیگر مسائل حل کرنے کے لئے بھی استعمال کیا جاسکتا ہے۔

4387

اس طریقے کو مستطیلی موج میں TE موج کے لئے تفصیلاً استعمال کرتے ہیں۔ ایسا کرنے کی خاطر مندرجہ ذیل قدم سلسلہ وار اٹھائے جائیں گے۔

4388

4389

4390

4391

4392

4393

4394

4395

4396

4397

• میکس ویل مساوات سے شروع کریں۔

• موج کو وقت کے ساتھ سائن نمائندہ کا پابند بنائیں۔

• موج کو x سمت کے ساتھ سائن نمائندہ کا پابند بناتے ہوئے حرکی مستقل بروئے کار لائیں۔

• بلند درجی موج کا انتخاب کریں۔ ہم TE موج کا انتخاب کرتے ہوئے $E_x = 0$ اور $H_x \neq 0$ رکھیں گے۔

• بقایا چار اجزاء یعنی E_y, E_z, H_y اور H_z کے مساوات H_x کی صورت میں لکھیں۔

• موج کی مساوات H_x کی صورت میں حاصل کریں۔

• مستطیلی موج کے اطراف کے سرحدی شرائط لاگو کرتے ہوئے موج کی اس مساوات کو H_x کے لئے حل کریں۔

• E_y, E_z, H_y اور H_z کے مساوات میں حاصل H_x پر کرتے ہوئے ان کی مساوات بھی حاصل کریں۔

ان قدموں پر چلتے ہوئے مکمل حل حاصل ہو گا۔

آئیں پہلے قدم سے شروع کرتے ہوئے میکس ویل کے مساوات کو کار تیبی نظام میں لکھتے ہیں۔ صفحہ 296 پر مساوات 9.28 اور مساوات 9.29

$$(13.14) \quad \nabla \times \mathbf{E} = -\frac{\partial \mathbf{B}}{\partial t}$$

$$(13.15) \quad \nabla \times \mathbf{H} = \mathbf{J} + \frac{\partial \mathbf{D}}{\partial t}$$

کار تیبی محدودیں

$$(13.16) \quad \frac{\partial E_z}{\partial y} - \frac{\partial E_y}{\partial z} + \mu \frac{\partial H_x}{\partial t} = 0$$

$$(13.17) \quad \frac{\partial E_x}{\partial z} - \frac{\partial E_z}{\partial x} + \mu \frac{\partial H_y}{\partial t} = 0$$

$$(13.18) \quad \frac{\partial E_y}{\partial x} - \frac{\partial E_x}{\partial y} + \mu \frac{\partial H_z}{\partial t} = 0$$

اور

$$(13.19) \quad \frac{\partial H_z}{\partial y} - \frac{\partial H_y}{\partial z} - \sigma E_x - \epsilon \frac{\partial E_x}{\partial t} = 0$$

$$(13.20) \quad \frac{\partial H_x}{\partial z} - \frac{\partial H_z}{\partial x} - \sigma E_y - \epsilon \frac{\partial E_y}{\partial t} = 0$$

$$(13.21) \quad \frac{\partial H_y}{\partial x} - \frac{\partial H_x}{\partial y} - \sigma E_z - \epsilon \frac{\partial E_z}{\partial t} = 0$$

لکھے جائیں گے جہاں $\mathbf{B} = \mu \mathbf{H}$ اور $\mathbf{D} = \epsilon \mathbf{E}$ کا استعمال کیا گیا ہے۔ اسی طرح خالی خلاء میں $\rho_h = 0$ لیتے ہوئے مساوات 9.30 اور مساوات 9.31 کار تیبی محدودیں

$$(13.22) \quad \frac{\partial E_x}{\partial x} + \frac{\partial E_y}{\partial y} + \frac{\partial E_z}{\partial z} = 0$$

$$(13.23) \quad \frac{\partial H_x}{\partial x} + \frac{\partial H_y}{\partial y} + \frac{\partial H_z}{\partial z} = 0$$

لکھے جائیں گے۔

4398

اب دوسرا قدم کہتا ہے کہ موج وقت کے ساتھ سائن نما تعلق رکھتا ہے جبکہ تیسرا قدم کہتا ہے کہ موج x فاصلے کے ساتھ بھی سائن نما تعلق رکھتا ہے۔ ساتھ ہی ساتھ x سمت میں حرکی مستقل بھی بروئے کار لانا ہے۔ ان دو اقدام کو استعمال کرتے ہوئے میدان کے تمام اجزاء لکھتے ہیں۔ یوں E_y اور H_x کو مثال بناتے ہوئے

$$(13.24) \quad \begin{aligned} E_y &= E_1 e^{j\omega t - \gamma x} \\ H_x &= H_1 e^{j\omega t - \gamma x} \end{aligned}$$

لکھے جائیں گے جہاں

4399

γ حرکی مستقل ($\gamma = \alpha + j\beta$)

4400

α تضعیفی مستقل

4401

β زاویائی مستقل

4402

ہیں۔ مساوات 13.24 کے طرز پر بقایا میدان بھی لکھتے ہوئے مساوات 13.16

$$\left[\frac{\partial E_z}{\partial y} - \frac{\partial E_y}{\partial z} + j\omega\mu H_x \right] e^{j\omega t - \gamma z} = 0$$

یا

$$(13.25) \quad \frac{\partial E_z}{\partial y} - \frac{\partial E_y}{\partial z} + j\omega\mu H_x = 0$$

لکھا جائے۔ اسی طرح مساوات 13.24 کے طرز پر بقایا میدان بھی لکھتے ہوئے مساوات 13.17 تا مساوات 13.23 یوں لکھے جائیں گے۔

$$(13.26) \quad \frac{\partial E_x}{\partial z} + \gamma E_z + j\omega\mu H_y = 0$$

$$(13.27) \quad -\gamma E_y - \frac{\partial E_x}{\partial y} + j\omega\mu H_z = 0$$

$$(13.28) \quad \frac{\partial H_z}{\partial y} - \frac{\partial H_y}{\partial z} - (\sigma + j\omega\epsilon) E_x = 0$$

$$(13.29) \quad \frac{\partial H_x}{\partial z} + \gamma H_z - (\sigma + j\omega\epsilon) E_y = 0$$

$$(13.30) \quad -\gamma H_y - \frac{\partial H_x}{\partial y} - (\sigma + j\omega\epsilon) E_z = 0$$

$$(13.31) \quad -\gamma E_x + \frac{\partial E_y}{\partial y} + \frac{\partial E_z}{\partial z} = 0$$

$$(13.32) \quad -\gamma H_x + \frac{\partial H_y}{\partial y} + \frac{\partial H_z}{\partial z} = 0$$

مندرجہ بالا آٹھ مساوات میں تریسلی تار کے برقی رکاوت Z اور برقی فراوانی γ کی طرز کے مستقل

$$(13.33) \quad Z = -j\omega\mu \quad (\Omega/m)$$

$$(13.34) \quad \gamma = \sigma + j\omega\epsilon \quad (S/m)$$

استعمال کرتے ہوئے انہیں قدر چھوٹا لکھتے ہیں۔

$$(13.35) \quad \frac{\partial E_z}{\partial y} - \frac{\partial E_y}{\partial z} - ZH_x = 0$$

$$(13.36) \quad \frac{\partial E_x}{\partial z} + \gamma E_z - ZH_y = 0$$

$$(13.37) \quad -\gamma E_y - \frac{\partial E_x}{\partial y} - ZH_z = 0$$

$$(13.38) \quad \frac{\partial H_z}{\partial y} - \frac{\partial H_y}{\partial z} - \gamma E_x = 0$$

$$(13.39) \quad \frac{\partial H_x}{\partial z} + \gamma H_z - \gamma E_y = 0$$

$$(13.40) \quad -\gamma H_y - \frac{\partial H_x}{\partial y} - \gamma E_z = 0$$

$$(13.41) \quad -\gamma E_x + \frac{\partial E_y}{\partial y} + \frac{\partial E_z}{\partial z} = 0$$

$$(13.42) \quad -\gamma H_x + \frac{\partial H_y}{\partial y} + \frac{\partial H_z}{\partial z} = 0$$

4403

یہ x سمت میں حرکت کرتی موج کی عمومی مساوات ہیں۔

ابھی تک نا تو موج کی شکل اور نا ہی بلند درجی موج کا انتخاب کیا گیا ہے لہذا چوتھے قدم کا اطلاق کرتے ہوئے TE قسم کا انتخاب کرتے ہیں جس کا مطلب ہے کہ $E_x = 0$ لیا جائے گا۔ ایسا کرنے سے مندرجہ بالا مساوات

$$(13.43) \quad \frac{\partial E_z}{\partial y} - \frac{\partial E_y}{\partial z} - Z H_x = 0$$

$$(13.44) \quad \gamma E_z - Z H_y = 0$$

$$(13.45) \quad -\gamma E_y - Z H_z = 0$$

$$(13.46) \quad \frac{\partial H_z}{\partial y} - \frac{\partial H_y}{\partial z} = 0$$

$$(13.47) \quad \frac{\partial H_x}{\partial z} + \gamma H_z - Y E_y = 0$$

$$(13.48) \quad -\gamma H_y - \frac{\partial H_x}{\partial y} - Y E_z = 0$$

$$(13.49) \quad \frac{\partial E_y}{\partial y} + \frac{\partial E_z}{\partial z} = 0$$

$$(13.50) \quad -\gamma H_x + \frac{\partial H_y}{\partial y} + \frac{\partial H_z}{\partial z} = 0$$

4404

صورت اختیار کر لیتے ہیں۔

پانچویں قدم پر تمام مساوات کو H_x کی صورت میں لکھنا ہو گا۔ ایسا کرنے کی خاطر پہلے مساوات 13.44 اور 13.45 سے

$$(13.51) \quad \frac{E_z}{H_y} = -\frac{E_y}{H_z} = \frac{Z}{\gamma}$$

لکھتے ہیں۔ اب $\frac{E_y}{H_z}$ یا $\frac{E_z}{H_y}$ کی شرح قدرتی رکاوٹ کی مانند ہے۔ چونکہ مساوات 13.51 میں صرف عرضی اجزاء پائے جاتے ہیں لہذا اس شرح کو عرضی۔ موج کی قدرتی رکاوٹ Z_{yz}^{12} کہا جائے گا جہاں

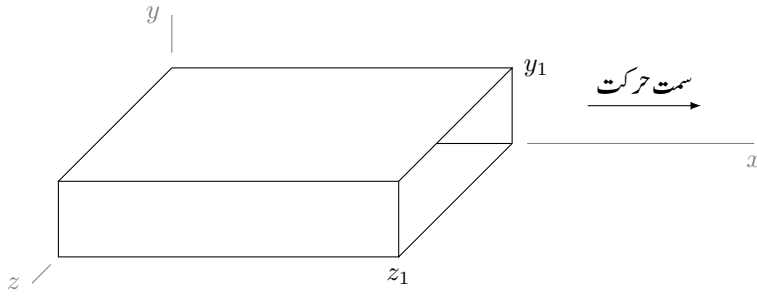
$$(13.52) \quad Z_{yz} = \frac{E_y}{H_z} = -\frac{E_z}{H_y} = -\frac{Z}{\gamma} = \frac{j\omega\mu}{\gamma} \quad (\Omega)$$

کے برابر ہے۔ مساوات 13.52 کو مساوات 13.48 میں پر کرتے ہوئے H_y کے لئے حل کرنے سے

$$(13.53) \quad H_y = \frac{-1}{\gamma - Y Z_{yz}} \frac{\partial H_x}{\partial y}$$

حاصل ہوتا ہے۔ اسی طرح مساوات 13.52 کو مساوات 13.47 میں پر کرتے ہوئے H_z کے لئے حل کرنے سے

$$(13.54) \quad H_z = \frac{-1}{\gamma - Y Z_{yz}} \frac{\partial H_x}{\partial z}$$



شکل 13.9: مستطیل موج۔

حاصل ہوتا ہے۔ اب مساوات 13.53 کو مساوات 13.52 میں پر کرتے ہوئے

$$(13.55) \quad E_z = \frac{Z_{yz}}{\gamma - YZ_{yz}} \frac{\partial H_x}{\partial y}$$

اور مساوات 13.54 کو مساوات 13.52 میں پر کرتے ہوئے

$$(13.56) \quad E_y = \frac{-Z_{yz}}{\gamma - YZ_{yz}} \frac{\partial H_x}{\partial z}$$

4405

حاصل ہوتے ہیں۔ مساوات 13.53 تا مساوات 13.56 تمام اجزاء کو H_x کی صورت میں پیش کرتے ہیں۔

چھپے قدم پر ان مساوات سے موج کی مساوات کا حصول ہے۔ ایسا کرنے کی خاطر مساوات 13.53 کا y کے ساتھ تفرق اور مساوات 13.54 کا z کے ساتھ تفرق لیتے ہوئے دونوں حاصل جواب کو مساوات 13.50 میں پر کرتے ہوئے

$$-\gamma H_x - \frac{1}{\gamma - YZ_{yz}} \left(\frac{\partial^2 H_x}{\partial y^2} + \frac{\partial^2 H_x}{\partial z^2} \right) = 0$$

یا

$$\frac{\partial^2 H_x}{\partial y^2} + \frac{\partial^2 H_x}{\partial z^2} + \gamma (\gamma - YZ_{yz}) H_x = 0$$

حاصل کرتے ہیں جس میں

$$(13.57) \quad k^2 = \gamma (\gamma - YZ_{yz})$$

پر کرتے ہوئے

$$(13.58) \quad \frac{\partial^2 H_x}{\partial y^2} + \frac{\partial^2 H_x}{\partial z^2} + k^2 H_x = 0$$

لکھا جاسکتا ہے۔ مساوات 13.58 موج کے عرضی برقی موج کی عمومی مساوات ہے۔ موج کا عمودی تراش کسی بھی شکل کا ہو سکتا ہے۔ یہاں چھنا قدم پورا ہوتا ہے۔

ساتویں قدم میں موج کے اطراف کے سرحدی شرائط لاگو کرتے ہوئے موج کو حل کرنا ہے۔ شکل 13.9 میں کامل موصل چادروں سے بنایا گیا مستطیلی موج دکھایا گیا ہے جس کی چوڑائی z_1 اور اونچائی y_1 ہے۔ موصل اور ہوا کے سرحدی برقی شرائط کے مطابق سرحد پر متوازی برقی میدان صفر ہوتا ہے لہذا موج کے اطراف پر متوازی E صفر ہو گا۔ یوں موج کے نچلی اور بالائی سطحوں پر $E_z = 0$ ہو گا۔ اسی طرح موج کے بائیں اور دائیں کھڑے سطحوں پر $E_y = 0$ ہو گا۔ اب ان شرائط

پر پورا اترتا مساوات 13.58 کا حل درکار ہے۔ علیحدگی متغیرات کا طریقہ یہاں قابل استعمال ہے جس میں H_x کو دو متغیرات کے حاصل ضرب کے طور پر لکھا جاتا ہے یعنی

$$(13.59) \quad H_x = YZ$$

جہاں Y ایسا متغیر ہے جو صرف y پر منحصر ہے جبکہ Z ایسا متغیر ہے جو صرف z پر منحصر ہے۔ اصل میں ان متغیرات کو $Y(y)$ اور $Z(z)$ لکھنا چاہیے لیکن غیر ضروری علامات کم کرنے کی غرض سے انہیں Y اور Z ہی لکھا جائے گا۔ مساوات 13.59 کے استعمال سے مساوات 13.58

$$(13.60) \quad Z \frac{\partial^2 Y}{\partial y^2} + Y \frac{\partial^2 Z}{\partial z^2} + k^2 YZ = 0$$

صورت اختیار کر لیتا ہے۔ دونوں اطراف کو YZ سے تقسیم کرتے ہوئے اسے یوں

$$(13.61) \quad \frac{1}{Y} \frac{\partial^2 Y}{\partial y^2} + \frac{1}{Z} \frac{\partial^2 Z}{\partial z^2} = -k^2$$

لکھا جاسکتا ہے۔ اب بائیں ہاتھ پہلا جزو صرف y پر منحصر ہے جبکہ دوسرا جزو صرف z پر منحصر ہے۔ یوں y کی تبدیلی سے صرف پہلے جزو میں تبدیلی کا امکان ہے لیکن پہلے جزو میں کسی بھی تبدیلی کے بعد مساوات کے دونوں اطراف برابر نہیں رہ سکتے۔ اس طرح صاف ظاہر ہے کہ پہلے جزو میں y کے تبدیلی سے کوئی تبدیلی رونما نہیں ہو سکتی یعنی یہ جزو ناقابل تبدیل مستقل قیمت رکھتا ہے جسے ہم A_1 لکھتے ہیں۔ اسی منطق سے دوسرا جزو بھی اہل قیمت رکھتا ہے جسے ہم A_2 لکھتے ہیں۔ یوں

$$(13.62) \quad \frac{1}{Y} \frac{\partial^2 Y}{\partial y^2} = -A_1$$

$$(13.63) \quad \frac{1}{Z} \frac{\partial^2 Z}{\partial z^2} = -A_2$$

ہوں گے لہذا مساوات 13.61 سے

$$(13.64) \quad A_1 + A_2 = k^2$$

حاصل ہوتا ہے۔ مساوات 13.62 اور مساوات 13.63 ایک متغیر پر مبنی دو درجی تفرقی مساوات ہیں جن کا حل آپ جانتے ہی ہوں گے۔ مساوات 13.62 کا حل تجربے سے

$$(13.65) \quad Y = c_1 \cos b_1 y + c_2 \sin b_1 y$$

لکھا جاسکتا ہے جہاں c_2, m_1 اور b_1 مساوات کے مستقل ہیں۔ مساوات 13.65 کو واپس مساوات 13.62 میں پر کرنے سے

$$b_1 = \sqrt{A_1}$$

حاصل ہوتا ہے۔ یوں مساوات 13.62 کا حل

$$(13.66) \quad Y = c_1 \cos \sqrt{A_1} y + c_2 \sin \sqrt{A_1} y$$

ہے۔ اسی طرح مساوات 13.63 کا حل

$$(13.67) \quad Z = c_3 \cos \sqrt{A_2} z + c_4 \sin \sqrt{A_2} z$$

ہے۔ ان دو جوابات کو استعمال کرتے ہوئے مساوات 13.59 کو

$$(13.68) \quad H_x = \left(c_1 \cos \sqrt{A_1} y + c_2 \sin \sqrt{A_1} y \right) \left(c_3 \cos \sqrt{A_2} z + c_4 \sin \sqrt{A_2} z \right)$$

لکھا جاسکتا ہے۔ اسے مساوات 13.55 میں پر کرنے سے

$$E_z = \frac{Z_{yz}}{\gamma - YZ_{yz}} \sqrt{A_1} \left(-c_1 \sin \sqrt{A_1} y + c_2 \cos \sqrt{A_1} y \right) \left(c_3 \cos \sqrt{A_2} z + c_4 \sin \sqrt{A_2} z \right)$$

حاصل ہوتا ہے۔ مستطیل کا نچلا چادر $y = 0$ پر پایا جاتا ہے جس پر برقی سرحدی شرط کے مطابق، $E_z = 0$ ہوگا لہذا $y = 0$ پر مندرجہ بالا مساوات صفر کے برابر ہوگا، جس سے

$$0 = \frac{Z_{yz}}{\gamma - YZ_{yz}} \sqrt{A_1} c_2 \left(c_3 \cos \sqrt{A_2} z + c_4 \sin \sqrt{A_2} z \right)$$

یعنی

$$(13.69) \quad c_2 = 0$$

حاصل ہوتا ہے لہذا

$$E_z = \frac{-Z_{yz}}{\gamma - YZ_{yz}} \sqrt{A_1} c_1 \sin \sqrt{A_1} y \left(c_3 \cos \sqrt{A_2} z + c_4 \sin \sqrt{A_2} z \right)$$

حاصل ہوتا ہے۔ مستطیل کا بالائی چادر $y = y_1$ پر پایا جاتا ہے جس پر برقی سرحدی شرط کے مطابق متوازی برقی دباؤ صفر کے برابر ہوگا لہذا مندرجہ بالا مساوات میں $y_1 = 0$ پر کرتے ہوئے

$$0 = \frac{-Z_{yz}}{\gamma - YZ_{yz}} \sqrt{A_1} c_1 \sin \sqrt{A_1} y_1 \left(c_3 \cos \sqrt{A_2} z + c_4 \sin \sqrt{A_2} z \right)$$

حاصل ہوتا ہے۔ اس مساوات کا ایک ممکنہ حل c_1 مساوی صفر ہے جس سے $H_x = 0$ حاصل ہوگا۔ اگرچہ یہ درست جواب ہے لیکن ہمیں زیادہ غرض حرکت کرتے موج سے ہے ناکہ ہر قسم کے میدان سے خالی موج سے، لہذا ہم

$$(13.70) \quad c_1 \neq 0$$

لیتے ہیں۔ یوں مندرجہ بالا مساوات سے

$$\sqrt{A_1} y_1 = n\pi$$

یعنی

$$(13.71) \quad \sqrt{A_1} = \frac{n\pi}{y_1}$$

حاصل ہوتا ہے جہاں $n = 0, 1, 2, \dots$ ممکن ہے۔ یوں

$$(13.72) \quad H_x = n_1 \cos \frac{n\pi y}{y_1} \left(c_3 \cos \sqrt{A_2} z + c_4 \sin \sqrt{A_2} z \right)$$

ہوگا۔ اس مساوات کو مساوات 13.56 میں پر کرنے سے

$$E_y = \frac{-Z_{yz}}{\gamma - YZ_{yz}} c_1 \sqrt{A_2} \cos \frac{n\pi y}{y_1} \left(-c_3 \sin \sqrt{A_2} z + c_4 \cos \sqrt{A_2} z \right)$$

حاصل ہوتا ہے۔ مستطیل کا دایاں کھڑا چادر $z = 0$ پر ہے، جہاں سرحدی شرط کے تحت متوازی برقی میدان صفر ہوگا لہذا

$$0 = \frac{-Z_{yz}}{\gamma - YZ_{yz}} c_1 c_4 \sqrt{A_2} \cos \frac{n\pi y}{y_1}$$

حاصل ہوتا ہے۔ اب چونکہ $c_1 \neq 0$ ہے لہذا

$$(13.73) \quad c_4 = 0$$

حاصل ہوتا ہے اور یوں

$$E_y = \frac{Z_{yz}}{\gamma - YZ_{yz}} c_1 c_3 \sqrt{A_2} \cos \frac{n\pi y}{y_1} \sin \sqrt{A_2} z$$

ہوگا۔ مستطیل کا بایاں کھڑا چادر $z = z_1$ پر پایا جاتا ہے جہاں سرحدی شرائط کے تحت E_y ہوگا لہذا مندرجہ بالا مساوات میں یہ حقائق پر کرتے ہوئے

$$0 = \frac{Z_{yz}}{\gamma - YZ_{yz}} c_1 c_3 \sqrt{A_2} \cos \frac{n\pi y}{y_1} \sin \sqrt{A_2} z_1$$

لکھا جائے گا۔ اب $c_1 \neq 0$ اور اس مساوات کا ایک ممکنہ حل c_3 برابر صفر ہے جس سے H_x کے علاوہ تمام میدان صفر کے برابر حاصل ہوتے ہیں۔ ہم چونکہ حرکت کرتے موج کی تلاش میں ہیں لہذا ہم اس ممکنہ جواب کو رد کرتے ہوئے

$$(13.74) \quad c_3 \neq 0$$

چنتے ہیں۔ اس شرط کے ساتھ مندرجہ بالا مساوات سے

$$(13.75) \quad \sqrt{A_2} z_1 = m\pi$$

یعنی

$$(13.76) \quad \sqrt{A_2} = \frac{m\pi}{z_1}$$

حاصل ہوتا ہے جہاں $m = 0, 1, 2, \dots$ ممکن ہے۔ یوں $c_1 c_3 = H_0$ لکھتے ہوئے

$$(13.77) \quad H_x(y, z) = H_0 \cos \frac{n\pi y}{y_1} \cos \frac{m\pi z}{z_1}$$

حاصل ہوتا ہے جو مقداری مساوات ہے۔ اس مساوات میں وقت t اور x سمت میں حرکت کا کوئی ذکر نہیں ہے۔ یاد رہے کہ اصل میدان مساوات 13.24 کی طرز کا ہے جس میں یہ معلومات بھی شامل ہیں لہذا

$$(13.78) \quad H_x(x, y, z, t) = H_0 \cos \frac{n\pi y}{y_1} \cos \frac{m\pi z}{z_1} e^{j\omega t - \gamma x}$$

لکھا جائے گا جو مکمل جواب ہے۔

4407

آٹھویں قدم میں H_x کو مساوات 13.53 تا مساوات 13.56 میں پر کرتے ہوئے بقایا میدان حاصل کرتے ہیں یعنی

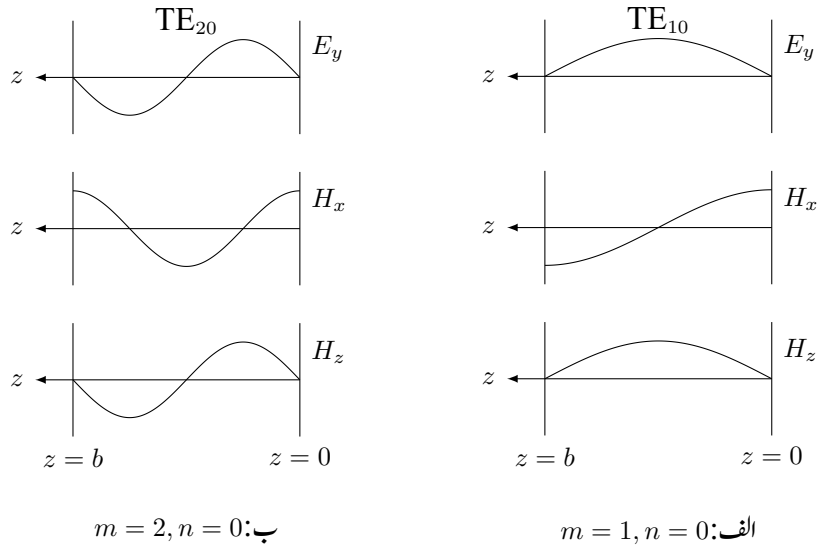
$$(13.79) \quad H_y = \frac{\gamma H_0}{k^2} \frac{n\pi}{y_1} \sin \frac{n\pi y}{y_1} \cos \frac{m\pi z}{z_1} e^{j\omega t - \gamma x}$$

$$(13.80) \quad H_z = \frac{\gamma H_0}{k^2} \frac{m\pi}{z_1} \cos \frac{n\pi y}{y_1} \sin \frac{m\pi z}{z_1} e^{j\omega t - \gamma x}$$

$$(13.81) \quad E_z = -\frac{\gamma Z_{yz} H_0}{k^2} \frac{n\pi}{y_1} \sin \frac{n\pi y}{y_1} \cos \frac{m\pi z}{z_1} e^{j\omega t - \gamma x}$$

$$(13.82) \quad E_y = \frac{\gamma Z_{yz} H_0}{k^2} \frac{m\pi}{z_1} \cos \frac{n\pi y}{y_1} \sin \frac{m\pi z}{z_1} e^{j\omega t - \gamma x}$$

$$(13.83) \quad E_x = 0$$



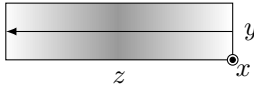
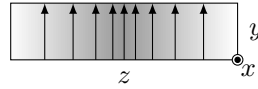
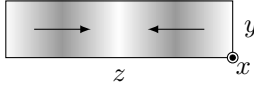
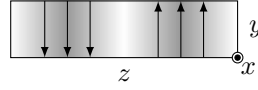
شکل 13.10: بلند انداز TE امواج۔

جہاں آخر میں $E_x = 0$ بھی شامل کیا گیا ہے۔ مساوات 13.78 تا مساوات 13.83 مستطیلی موج میں TE موج کا مکمل حل ہے۔ یہاں آٹھواں قدم پورا ہوتا ہے۔

آئیں مستطیلی موج میں m اور n مستقل پر غور کریں۔ اگر $m = 1$ اور $n = 0$ ہوں تب مندرجہ بالا مساوات میں E_x, E_z, H_y اور E_x صفر کے برابر حاصل ہوتے ہیں۔ یوں موج میں صرف H_x, H_z اور E_y میدان پائے جاتے ہیں۔ دائیں چادر، یعنی $z = 0$ پر $E_y = 0$ پایا جاتا ہے جبکہ دونوں چادروں کے عین درمیان $z = \frac{z_1}{2}$ پر میدان کی چوٹی پائی جاتی ہے۔ شکل 13.10-الف میں پہلا خط E_y ہی ہے۔ اگر H_x کی بات کی جائے تو دائیں چادر، یعنی $z = 0$ پر H_x کی چوٹی جبکہ بائیں چادر، یعنی $z = z_1$ پر H_x کا نشیب پایا جاتا ہے۔ ان دو اطراف کے عین درمیان $z = \frac{z_1}{2}$ پر $H_x = 0$ پایا جاتا ہے۔ شکل 13.10-الف میں دو ہیوا خط H_x ہے۔ مقناطیسی میدان H_z بھی دائیں اور بائیں چادروں پر صفر کے برابر ہے جبکہ ان کے عین درمیان اس کی چوٹی پائی جاتی ہے۔ یوں $m = 1$ اور $n = 0$ کی صورت میں میدان z کے ساتھ تبدیل ہوتے ہیں جبکہ y کا ان پر کوئی اثر نہیں پایا جاتا۔ ساتھ ہی ساتھ z پر میدان کا آدھا چکر پایا جاتا ہے۔

$m = 2$ اور $n = 0$ کی صورت میں میدان شکل 13.10-ب میں دکھائے گئے ہیں۔ اب بھی میدان z کے ساتھ تبدیل ہوتے ہیں جبکہ y کا ان پر کوئی اثر نہیں پایا جاتا۔ ساتھ ہی ساتھ z پر میدان کا مکمل چکر، یعنی دو آدھے چکر، پائے جاتے ہیں۔ ان سے آپ دیکھ سکتے ہیں کہ m کی قیمت z پر میدان کے آدھے چکروں کی گنتی ہے۔ آپ جلد دیکھیں گے کہ n بالکل اسی طرح y پر میدان کے آدھے چکروں کی گنتی ہے۔ ان حقائق کو سامنے رکھتے ہوئے بلند درجی TE موج کو TE_{mn} اور TE_{mn} سے پہچانا جاتا ہے۔ یوں شکل 13.10-الف کے امواج TE_{10} جبکہ شکل 13.10-ب کے امواج TE_{20} کہلاتے ہیں۔ یوں عمومی بلند درجی عرضی برقی موج TE_{mn} کہلائے گی جہاں z پر آدھے چکروں کی تعداد m ہے جبکہ y پر آدھے چکروں کی تعداد n ہے۔ مستطیلی موج میں عموماً z سے لمبی طرف کو ظاہر کیا جاتا ہے۔ اسی طرح مقناطیسی امواج TM_{mn} کہلائے جاتے ہیں۔

آئیں TE پر تفصیلاً غور کریں۔

TE₁₀ کا H_z میدان .TE₁₀ کا E_y میدان .TE₂₀ کا H_z میدان .TE₂₀ کا E_y میدان .

شکل 13.11: TE₁₀ اور TE₂₀ کے E_y اور H_z میدان .

13.3.1 مستطیلی موج کے میدان پر تفصیلی غور

بلند درجی TE₁₀ موج :

مساوات 13.78 تا مساوات 13.83 میں $n = 0$ اور $m = 1$ پر کرنے سے مندرجہ ذیل TE₁₀ امواج حاصل ہوتے ہیں۔

$$\begin{aligned}
 E_x &= 0 & \text{TE کا بنیادی شرط} \\
 E_y &= \frac{\gamma Z_{yz} H_0}{k^2} \frac{\pi}{z_1} \sin \frac{\pi z}{z_1} e^{j\omega t - \gamma x} \\
 E_z &= 0 \\
 H_x &= H_0 \cos \frac{\pi z}{z_1} e^{j\omega t - \gamma x} \\
 H_y &= 0 \\
 H_z &= \frac{\gamma H_0}{k^2} \frac{\pi}{z_1} \sin \frac{\pi z}{z_1} e^{j\omega t - \gamma x}
 \end{aligned}
 \tag{13.84}$$

ان میں پہلی مساوات، یعنی $E_x = 0$ ، درحقیقت TE موج کی تعریف ہے۔ ان امواج کو شکل 13.10-الف میں $x = 0$ اور $t = 0$ کی صورت میں دکھایا گیا ہے۔ ان اشکال میں میدان بالقابل z دکھایا گیا ہے۔ مندرجہ بالا مساوات میں کوئی میدان بھی y پر منحصر نہیں ہے لہذا y کے تبدیلی سے یہ میدان تبدیل نہیں ہوں گے۔ TE₁₀ تمام اقسام کے بلند درجی امواج میں سب سے لمبی انقطاعی طول موج رکھتی ہے لہذا اس کی انقطاعی تعداد سب سے کم ہے۔ شکل 13.11 میں E_y اور H_z کو بطور سمتیہ دکھایا گیا ہے۔ شکل-الف میں $z = \frac{z_1}{2}$ پر سمتیوں کی تعداد زیادہ دکھا کر گھنے میدان کو ظاہر کرنے کی کوشش کی گئی ہے۔ ساتھ ہی ساتھ اس خطے کو گہرا رنگ بھی دے کر گھنے میدان کو ظاہر کیا گیا ہے۔ شکل-ب میں مقناطیسی میدان کی سمت کو سمتیہ سے جبکہ میدان کو گہرے رنگ سے ظاہر کیا گیا ہے۔

بلند درجی TE₂₀ موج :

شکل 13.11 میں TE₂₀ کے E_y اور H_z اشکال بھی دکھائے گئے ہیں۔

مساوات 13.78 تا مساوات 13.83 میں $m = 1$ اور $n = 1$ پر کرنے سے مندرجہ ذیل TE₁₁ امواج حاصل ہوتے ہیں۔

$$\begin{aligned}
 E_x &= 0 & \text{TE کا بنیادی شرط} \\
 E_y &= \frac{\gamma Z_{yz} H_0}{k^2} \frac{\pi}{z_1} \cos \frac{\pi y}{y_1} \sin \frac{\pi z}{z_1} e^{j\omega t - \gamma x} \\
 E_z &= -\frac{\gamma Z_{yz} H_0}{k^2} \frac{\pi}{y_1} \sin \frac{\pi y}{y_1} \cos \frac{\pi z}{z_1} e^{j\omega t - \gamma x} \\
 H_x &= H_0 \cos \frac{\pi y}{y_1} \cos \frac{\pi z}{z_1} e^{j\omega t - \gamma x} \\
 H_y &= \frac{\gamma H_0}{k^2} \frac{\pi}{y_1} \sin \frac{\pi y}{y_1} \cos \frac{\pi z}{z_1} e^{j\omega t - \gamma x} \\
 H_z &= \frac{\gamma H_0}{k^2} \frac{\pi}{z_1} \cos \frac{\pi y}{y_1} \sin \frac{\pi z}{z_1} e^{j\omega t - \gamma x}
 \end{aligned}
 \tag{13.85}$$

اس بلند درجی انداز میں صرف E_x ہر نقطے پر تمام اوقات صفر کے برابر رہتا ہے۔ ان میدان کو شکل 13.12 میں دکھایا گیا ہے۔

مستطیل موج کے حاصل حل میدان تمام ممکنہ میدان ہیں جو کسی موج میں پائے جاسکتے ہیں۔ حقیقت میں کسی بھی موج میں پائے جانے والے امواج کا دارو مدار موج کی جسامت، موج پیدا کرنے کا طریقہ اور موج میں ناہمواریوں پر ہے۔ کسی بھی نقطے پر موجود تمام میدانوں کا مجموعی میدان پایا جائے گا۔

واپس اپنی گفتگو پر آتے ہوئے مساوات 13.64، مساوات 13.71 اور مساوات 13.76 کو ملا کر

$$k^2 = \left(\frac{n\pi}{y_1} \right)^2 + \left(\frac{m\pi}{z_1} \right)^2 \tag{13.86}$$

لکھا جاسکتا ہے جہاں مساوات 13.33، مساوات 13.52 اور مساوات 13.57 سے

$$k^2 = \gamma^2 - j\omega\mu(\sigma + j\omega\epsilon) \tag{13.87}$$

کے برابر ہے۔ بے ضیاع ذو برق میں $\sigma = 0$ لیا جاسکتا ہے۔ اس طرح مندرجہ بالا دو مساوات سے

$$\gamma = \sqrt{\left(\frac{n\pi}{y_1} \right)^2 + \left(\frac{m\pi}{z_1} \right)^2 - \omega^2\mu\epsilon} \tag{13.88}$$

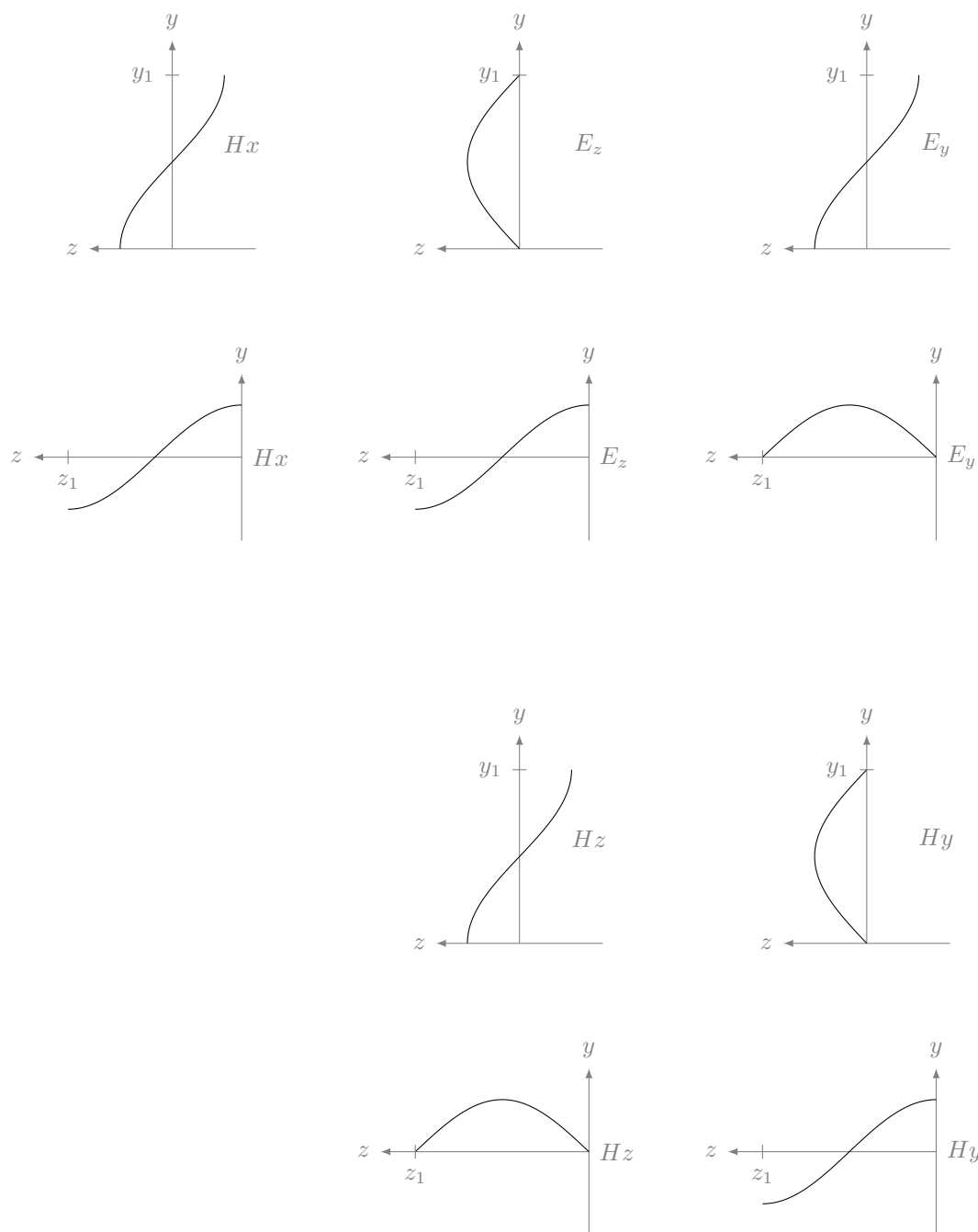
حاصل ہوتا ہے۔

ایک مخصوص قیمت سے کم تعدد پر جزیں آخری جزو پہلے دو اجزاء کے مجموعے سے کم ہوگا لہذا γ حقیقی ہوگا۔ حقیقی γ کی صورت میں موج گھٹے گی اور یہ موج میں صفر نہیں کر پائے گی۔

اسی طرح اس مخصوص قیمت سے زیادہ تعدد پر γ خیالی عدد ہوگا لہذا موج میں موج صفر کرے گی۔

ان دو قیمتوں کے درمیان تعدد کی وہ قیمت ہوگی جس پر $\gamma = 0$ حاصل ہوتا ہے۔ اس تعدد کو **انقطاعی تعدد**¹³ کہتے ہیں۔ انقطاعی تعدد سے بلند تعدد کے امواج، بغیر گھٹے، موج میں صفر کر سکتے ہیں جبکہ اس سے کم تعدد کے امواج گھٹے نہیں لہذا یہ موج میں صفر نہیں کر پاتے۔

ان تین تعددی خطوں کو ایک جگہ دوبارہ پیش کرتے ہیں۔



شکل 13.12: TE_{11} میدان.

• کم تعدد یعنی کم ω پر γ حقیقی ہوتا ہے۔ موج غیر شفاف ہوتا ہے جس میں امواج صفر نہیں کر سکتے۔

• مخصوص درمیانی تعدد پر $\gamma = 0$ ہوتا ہے۔ یہ انقطاعی تعدد ہے۔

• زیادہ تعدد پر γ خیالی ہوتا ہے۔ موج شفاف ہوتا ہے جس میں امواج صفر کر سکتے ہیں۔

مساوات 13.88 میں $\sqrt{\omega^2 \mu \epsilon}$ درحقیقت ایسی لامحدود خطے کا زاویائی مستقل β_0 ہے جس میں وہی ذو برق ہو جو موج میں پایا جاتا ہے۔ یوں ہم

$$\gamma = \sqrt{k^2 - \beta_0^2} \quad (13.89)$$

لکھ سکتے ہیں جہاں

$$\beta_0 = \sqrt{\omega^2 \mu \epsilon} = \frac{2\pi}{\lambda_0} \quad \text{لامحدود خطے کا زاویائی مستقل}$$

$$\lambda_0 \quad \text{لامحدود خطے میں طول موج}$$

$$k = \sqrt{\left(\frac{n\pi}{y_1}\right)^2 + \left(\frac{m\pi}{z_1}\right)^2}$$

ہیں۔ یوں انقطاعی تعدد سے بلند تعدد پر $\beta_0 > k$ ہو گا لہذا

$$\gamma = \sqrt{k^2 - \beta_0^2} = j\beta \quad (13.90)$$

ہو گا جہاں

$$\beta = \frac{2\pi}{\lambda} = \sqrt{\beta_0^2 - k^2} \quad \text{موج میں زاویائی مستقل}$$

$$\lambda \quad \text{موج میں طول موج}$$

ہیں۔ کافی بلند تعدد پر $k \gg \beta_0$ ہو گا اور یوں موج کے زاویائی مستقل β کی قیمت لامحدود خطے کے زاویائی مستقل β_0 کے قیمت کے قریب ہو گی۔ اس کے برعکس انقطاعی تعدد سے کم تعدد پر $k < \beta_0$ ہو گا جس سے

$$\gamma = \sqrt{k^2 - \beta_0^2} = \alpha \quad (13.91)$$

حاصل ہوتا ہے جہاں α تضعیفی مستقل ہے۔

کافی کم تعدد پر $k \ll \beta_0$ ہو گا لہذا تضعیفی مستقل کی قیمت k کے قریب ہو گی۔

عین انقطاعی تعدد پر $\beta_0 = k$ ہو گا لہذا $\gamma = 0$ ہو گا۔ یوں انقطاعی تعدد پر

$$\omega^2 \mu \epsilon = \left(\frac{n\pi}{y_1}\right)^2 + \left(\frac{m\pi}{z_1}\right)^2 \quad (13.92)$$

ہو گا جس سے انقطاعی تعدد¹⁴

$$f_c = \frac{1}{2\sqrt{\mu \epsilon}} \sqrt{\left(\frac{n}{y_1}\right)^2 + \left(\frac{m}{z_1}\right)^2} \quad (\text{Hz}) \quad (13.93)$$

اور انقطاعی طول موج

$$\lambda_{0c} = \frac{2\pi}{\sqrt{\left(\frac{n\pi}{y_1}\right)^2 + \left(\frac{m\pi}{z_1}\right)^2}} = \frac{2}{\sqrt{\left(\frac{n}{y_1}\right)^2 + \left(\frac{m}{z_1}\right)^2}} = \frac{2\pi}{k} \quad (m) \quad (13.94)$$

یا

$$k = \frac{2\pi}{\lambda_{0c}} \quad (13.95)$$

حاصل ہوتے ہیں جہاں λ_{0c} لامحدود خطے میں انقطاعی تعدد پر طول موج ہے جسے چھوٹا کر کہ **انقطاعی طول موج** ¹⁵ پکارا جاتا ہے۔ مساوات 13.93 اور مساوات 13.94 سے کھوکھلے مستطیلی موج کے کسی بھی TE_{mn} موج کا انقطاعی تعدد اور انقطاعی طول موج حاصل کیا جاسکتا ہے۔ مثال کے طور پر TE_{10} موج کا انقطاعی طول موج

$$\lambda_{0c} = 2z_1 \quad (13.96)$$

حاصل ہوتا ہے جو وہی قیمت ہے جو مساوات 13.5 میں حاصل کی گئی تھی جہاں $z_1 = b$ کے برابر ہے۔

انقطاعی تعدد سے بلند تعدد ($\beta_0 > k$) پر

$$\beta = \sqrt{\beta_0^2 - k^2} = \sqrt{\omega^2 \mu \epsilon - \left(\frac{n\pi}{y_1}\right)^2 - \left(\frac{m\pi}{z_1}\right)^2} \quad (13.97)$$

کے برابر ہے۔ اب $\beta_0 = \frac{2\pi}{\lambda_0}$ اور مساوات 13.95 مندرجہ بالا مساوات میں پر کرتے ہوئے

$$\beta = \sqrt{\left(\frac{2\pi}{\lambda_0}\right)^2 - \left(\frac{2\pi}{\lambda_{0c}}\right)^2} = \beta_0 \sqrt{1 - \left(\frac{\lambda_0}{\lambda_{0c}}\right)^2} \quad (13.98)$$

لکھا جاسکتا ہے لہذا موج میں طول موج

$$\lambda_{\text{موج}} = \frac{2\pi}{\beta} = \frac{\lambda_0}{\sqrt{1 - \left(\frac{\lambda_0}{\lambda_{0c}}\right)^2}} \quad (13.99)$$

اور موج میں **دوری رفتار** ¹⁶ v_p

$$v_p = \frac{\omega}{\beta} = \frac{v_0}{\sqrt{1 - \left(\frac{n\lambda_0}{2y_1}\right)^2 - \left(\frac{m\lambda_0}{2z_1}\right)^2}} \quad (13.100)$$

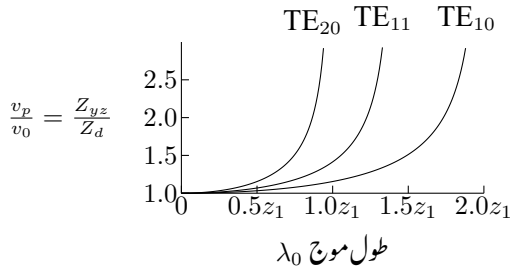
یا

$$v_p = \frac{v_0}{\sqrt{1 - \left(\frac{\lambda_0}{\lambda_{0c}}\right)^2}} \quad (13.101)$$

حاصل ہوتے ہیں جہاں

$$v_0 = \frac{\omega}{\beta_0} = \frac{1}{\sqrt{\mu \epsilon}} \text{ دوری رفتار } \quad (13.102)$$

لامحدود خطے میں طول موج، λ_0 انقطاعی طول موج λ_{0c}



شکل 13.13: مختلف بلند درجی امواج کے مستطیلی موج میں دوری رفتار بالمقابل طول موج λ_0 .

ہیں۔

شکل 13.13 میں مختلف بلند انداز امواج کے دوری رفتار بالمقابل طول موج λ_0 دکھائے گئے ہیں۔ دوری رفتار کو لامحدود خطے کے دوری رفتار v_0 کی نسبت سے دکھایا گیا ہے۔ ان اشکال میں مستطیلی موج کے دونوں اطراف برابر لمبائی ($y_1 = z_1$) کے تصور کئے گئے ہیں۔

مندرجہ بالا تجربے میں موج کے اطراف کامل موصل کے تصور کئے گئے اور ساتھ ہی ساتھ موج میں بے ضیاع ذوب برق بھرا تصور کیا گیا۔ اسی لئے انقطاعی تعدد سے بلند تعدد پر امواج بغیر گئے موج میں صفر کرتے ہیں۔ حقیقت میں موج کے اطراف کے موصل کی موصلیت اور ذوب برق میں طاقت کی ضیاع سے $\gamma = \alpha + j\beta$ ہو گا لہذا انقطاعی تعدد سے بلند تعدد کے امواج بھی صفر کے دور ان کچھ نہ کچھ گئے ہیں۔

کھوکھلے موج جس میں صرف ہوا بھری ہو میں ذوب برق یعنی ہوا کا ضیاع قابل نظر انداز ہوتا ہے۔ ایسے موج میں طاقت کا ضیاع صرف موج کے چادروں کی موصلیت کی بنا ہے۔ موصل چادر مکمل طور پر کامل نہ ہونے کا مطلب ہے کہ حقیقت میں چادر کے متوازی برقی میدان E_m صفر نہیں ہو گا۔ اچھے موصل مثلاً تانبے کی بنی چادر میں E_m کی قیمت قابل نظر انداز ہوتی ہے۔ یوں تانبے یا دیگر اچھے موصل کے چادر سے بنی موج کے طول موج λ ، زاویائی مستقل β یا دوری رفتار v_p حاصل کئے وقت موج کے چادر کو کامل ہی تصور کیا جاتا ہے۔ ایسی صورت میں تضعیفی مستقل α کا تخمینہ علیحدہ طور پر لگایا جاتا ہے۔

آخر میں مستطیلی موج میں عرضی برقی موج کی رکاوٹ Z_{yz} مساوات 13.52 سے حاصل کرتے ہیں۔

$$Z_{yz} = \frac{j\omega\mu}{\gamma} \quad (13.102)$$

انقطاعی تعدد سے بلند تعدد پر $\gamma = j\beta$ ہوتا ہے لہذا

$$Z_{yz} = \frac{\omega\mu}{\beta} = \frac{Z_z}{\sqrt{1 - \left(\frac{\lambda_0}{\lambda_{0c}}\right)^2}} \quad (\Omega) \quad (13.103)$$

ہو گا جہاں

$$Z_z = \sqrt{\frac{\mu}{\epsilon}} \text{ موج کے ذوب برق کی قدرتی رکاوٹ } \epsilon \text{ جبکہ}$$

λ_0 لامحدود خطے میں طول موج،

λ_{0c} انقطاعی طول موج

cutoff wavelength¹⁵
phase velocity¹⁶

ہیں۔ ہوا کے لئے $Z_z = 120\pi = 376.7 \Omega$ کے برابر ہے۔ چونکہ Z_{yz} اور Z_z کی شرح بالکل v_p اور v_0 کی شرح کے برابر ہے لہذا شکل 13.13 $\frac{Z_{yz}}{Z_z}$ بالمتبادل λ_0 بھی دیتا ہے۔

4467

4468

مشق 13.1: TE_{10} ، TE_{20} اور TE_{11} امواج کی انقطاعی طول موج مندرجہ ذیل مستطیلی موج کے لئے حاصل کریں۔

4469

• ہوا سے بھرا موج جس کے اطراف چار سنی میٹر اور دو سنی میٹر ہیں۔

4470

• ہوا سے بھرا موج جس کے دونوں اطراف چار سنی میٹر کے برابر ہیں۔

4471

جوابات: پہلا موج $3.577 \text{ cm} \times 4 \text{ cm} \times 8 \text{ cm}$ ۔ دوسرا موج $5.656 \text{ cm} \times 4 \text{ cm} \times 8 \text{ cm}$

4472

4473

13.4 مستطیلی موج میں عرضی مقناطیسی TM_{mn} موج

4474

عرضی برقی امواج حل کرنے کے آٹھ قدم صفحہ 454 پر بتلائے گئے۔ انہیں آٹھ قدم سے شکل 13.9 کے مستطیلی موج میں عرضی مقناطیسی موج TM_{mn} بھی حاصل کئے جاتے ہیں۔ فرق صرف اتنا ہے کہ یہاں $H_x = 0$ فرض کر کے مسئلہ حل کیا جاتا ہے۔ TM_{mn} موج کہتے ہی اس موج کو ہیں جن میں $H_x = 0$ ہو۔ لہذا ہمیں TM_{mn} حاصل کرنے کے اہم نکات کا تذکرہ کریں۔

4477

موج حاصل کرنے کے پہلے تین قدم میں کوئی تبدیلی نہیں پائی جاتی لہذا مساوات 13.14 تا مساوات 13.42 جوں کے توں استعمال کئے جائیں گے۔ چوتھے قدم میں $H_x = 0$ پر کرنے سے

$$(13.104) \quad \frac{\partial E_z}{\partial y} - \frac{\partial E_y}{\partial z} = 0$$

$$(13.105) \quad \frac{\partial E_x}{\partial z} + \gamma E_z - Z H_y = 0$$

$$(13.106) \quad -\gamma E_y - \frac{\partial E_x}{\partial y} - Z H_z = 0$$

$$(13.107) \quad \frac{\partial H_z}{\partial y} - \frac{\partial H_y}{\partial z} - Y E_x = 0$$

$$(13.108) \quad \gamma H_z - Y E_y = 0$$

$$(13.109) \quad -\gamma H_y - Y E_z = 0$$

$$(13.110) \quad -\gamma E_x + \frac{\partial E_y}{\partial y} + \frac{\partial E_z}{\partial z} = 0$$

$$(13.111) \quad \frac{\partial H_y}{\partial y} + \frac{\partial H_z}{\partial z} = 0$$

حاصل ہوتا ہے۔ مساوات 13.108 اور مساوات 13.109 سے

$$Z_{yz} = \frac{E_y}{H_z} = -\frac{E_z}{H_y} = \frac{\gamma}{Y} \quad (13.112)$$

لکھا جاسکتا ہے۔ اس مساوات کا مساوات 13.52 کے ساتھ موازنہ کریں۔ اگرچہ دونوں جگہ Z_{yz} کی تعریف $\frac{E_y}{H_z}$ ہی ہے لیکن دونوں جگہ اس شرح کی قیمت مختلف ہے۔ یہیں سے آپ توقع کر سکتے ہیں کہ TM_{mn} موج کی رکاوٹ TE_{mn} کے رکاوٹ سے مختلف ہوگی۔

پانچویں قدم میں تمام میدان کو E_x کی صورت میں حاصل کرنا ہے۔ مساوات 13.112 کو مساوات 13.105 میں پر کرتے ہوئے H_y کے لئے حل کرتے ہوئے

$$H_y = \frac{Y}{\gamma^2 + YZ} \frac{\partial E_x}{\partial z} \quad (13.113)$$

اور اسی طرح مساوات 13.112 کو مساوات 13.106 میں پر کرتے ہوئے H_z کے لئے حل کرتے ہوئے

$$H_z = \frac{-Y}{\gamma^2 + YZ} \frac{\partial E_x}{\partial y} \quad (13.114)$$

حاصل ہوتے ہیں۔ ان دو مساوات اور مساوات 13.112 سے

$$E_y = \frac{-\gamma}{\gamma^2 + YZ} \frac{\partial E_x}{\partial y} \quad (13.115)$$

$$E_z = \frac{-\gamma}{\gamma^2 + YZ} \frac{\partial E_x}{\partial z} \quad (13.116)$$

لکھا جاسکتا ہے۔ یوں پانچواں قدم پورا ہوتا ہے۔

چھٹے قدم میں E_x کے موج کی مساوات حاصل کرنے کی غرض سے مساوات 13.115 کا y کے ساتھ تفرق اور مساوات 13.116 کا z کے ساتھ تفرق مساوات 13.110 میں پر کرتے ہوئے

$$-\gamma E_x - \frac{\gamma}{\gamma^2 + YZ} \frac{\partial^2 E_x}{\partial y^2} - \frac{\gamma}{\gamma^2 + YZ} \frac{\partial^2 E_x}{\partial z^2} = 0$$

یا

$$\frac{\partial^2 E_x}{\partial y^2} + \frac{\partial^2 E_x}{\partial z^2} + (\gamma^2 + YZ) E_x = 0$$

حاصل ہوتا ہے جسے

$$\frac{\partial^2 E_x}{\partial y^2} + \frac{\partial^2 E_x}{\partial z^2} + k^2 E_x = 0 \quad (13.117)$$

لکھا جاسکتا ہے جہاں

$$k^2 = \gamma^2 + YZ = \gamma \left(\gamma + \frac{Z}{Z_{yz}} \right) \quad (13.118)$$

کے برابر ہے۔ مساوات 13.57 کے ساتھ موازنہ کرتے ہوئے آپ دیکھ سکتے ہیں کہ TM_{mn} اور TE_{mn} امواج کے k^2 مختلف قیمت رکھتے ہیں۔

ساتویں قدم پر مساوات 13.117 کا ایسا حل درکار ہے جو مستطیلی موج کے اطراف پر برقی اور مقناطیسی سرحدی شرائط پر پورا اترتا ہو۔ بالکل پہلے کی طرح حل کرتے ہوئے

$$(13.119) \quad k^2 = \left(\frac{n\pi}{y_1} \right)^2 + \left(\frac{m\pi}{z_1} \right)^2$$

اور میدان

$$(13.120) \quad E_x = E_0 \sin \frac{n\pi y}{y_1} \sin \frac{m\pi z}{z_1} e^{j\omega t - \gamma x}$$

حاصل ہوتا ہے جسے باری باری مساوات 13.113 تا مساوات 13.116 میں پر کرتے ہوئے

$$(13.121) \quad H_y = \frac{YE_0}{\gamma^2 + YZ} \frac{m\pi}{z_1} \sin \frac{n\pi y}{y_1} \cos \frac{m\pi z}{z_1} e^{j\omega t - \gamma x}$$

$$(13.122) \quad H_z = \frac{-YE_0}{\gamma^2 + YZ} \frac{n\pi}{y_1} \cos \frac{n\pi y}{y_1} \sin \frac{m\pi z}{z_1} e^{j\omega t - \gamma x}$$

$$(13.123) \quad E_y = \frac{-\gamma E_0}{\gamma^2 + YZ} \frac{n\pi}{y_1} \cos \frac{n\pi y}{y_1} \sin \frac{m\pi z}{z_1} e^{j\omega t - \gamma x}$$

$$(13.124) \quad E_z = \frac{-\gamma E_0}{\gamma^2 + YZ} \frac{m\pi}{z_1} \sin \frac{n\pi y}{y_1} \cos \frac{m\pi z}{z_1} e^{j\omega t - \gamma x}$$

حاصل ہوتے ہیں۔ ان جوابات کے ساتھ

$$(13.125) \quad H_x = 0 \quad \text{TM}_{mn} \text{ موج ہونے کا شرط}$$

شامل کرتے ہوئے تمام میدان حاصل ہوتے ہیں۔

مساوات 13.120 تا مساوات 13.125 کے TM_{mn} امواج میں m یا n صفر کے برابر ہونے سے تمام میدان صفر ہو جاتے ہیں لہذا TM_{mn} کا کم سے کم تعددی موج TM₁₁ ہے۔

بے ضیاع $\sigma = 0$ و ذوب برق تصور کرتے ہوئے، مساوات 13.118، مساوات 13.119 اور مساوات 13.33 سے

$$(13.126) \quad \gamma = \sqrt{\left(\frac{n\pi}{y_1} \right)^2 + \left(\frac{m\pi}{z_1} \right)^2 - \omega^2 \mu \epsilon}$$

$$= \sqrt{k^2 - \beta_0^2}$$

لکھا جاسکتا ہے جہاں $\omega \sqrt{\mu \epsilon}$ لا محدود وسعت کے خطے میں موج کا زاویائی مستقل β_0 ہے۔ مندرجہ بالا مساوات میں $\beta_0 > k$ کی صورت میں $\gamma = \alpha + j\beta$ سے

$$(13.127) \quad \alpha = \sqrt{k^2 - \beta_0^2} \quad (k > \beta_0)$$

$$\beta = 0$$

حاصل ہوتا ہے۔ اس صورت میں موج صفر نہیں کر پائے گی۔ اس کے برعکس $\beta_0 < k$ کی صورت میں

$$(13.128) \quad \alpha = 0$$

$$\beta = \sqrt{\beta_0^2 - k^2} \quad (k < \beta_0)$$

حاصل ہوتے ہیں۔ اس صورت میں موج، بغیر گھٹے موج میں صفر کرے گی۔ انقطاعی تعداد دو تعدادی خطوط کے عین درمیان پایا جائے گا جہاں γ کی قیمت حقیقی سے خیالی ہوتے ہوئے صفر سے گزرے گی۔ مساوات 13.126 میں $\gamma = 0$ پر کرنے سے انقطاعی تعداد

$$(13.129) \quad \omega_c^2 \mu \epsilon = \left(\frac{n\pi}{y_1} \right)^2 + \left(\frac{m\pi}{z_1} \right)^2$$

یا

$$(13.130) \quad f_c = \frac{1}{2\sqrt{\mu\epsilon}} \sqrt{\left(\frac{n}{y_1} \right)^2 + \left(\frac{m}{z_1} \right)^2}$$

حاصل ہوتا ہے۔ اس طرح انقطاعی طول موج

$$(13.131) \quad \lambda_{0c} = \frac{2\pi}{\sqrt{\left(\frac{n\pi}{y_1} \right)^2 + \left(\frac{m\pi}{z_1} \right)^2}} = \frac{2}{\sqrt{\left(\frac{n}{y_1} \right)^2 + \left(\frac{m}{z_1} \right)^2}} = \frac{2\pi}{k}$$

یا

$$(13.132) \quad k = \frac{2\pi}{\lambda_{0c}}$$

4485

حاصل ہوتا ہے۔ آپ دیکھ سکتے ہیں کہ TE_{mn} اور TM_{mn} موج کے انقطاعی تعداد کے مساوات ہو بہو ایک جیسے ہیں۔

انقطاعی تعداد سے بلند تعداد $k > \beta_0$ کی صورت میں

$$(13.133) \quad \beta = \sqrt{\beta_0^2 - k^2} = \sqrt{\omega^2 \mu \epsilon - \left(\frac{n\pi}{y_1} \right)^2 - \left(\frac{m\pi}{z_1} \right)^2}$$

ہو گا جس سے موج میں طول موج

$$(13.134) \quad \lambda_{\text{موج}} = \frac{2\pi}{\beta} = \frac{\lambda_0}{\sqrt{1 - \left(\frac{\lambda_0}{\lambda_{0c}} \right)^2}}$$

اور موج میں دوری رفتار

$$(13.135) \quad v_p = \frac{\omega}{\beta} = \frac{v_0}{\sqrt{1 - \left(\frac{n\lambda_0}{2y_1} \right)^2 - \left(\frac{m\lambda_0}{2z_1} \right)^2}} = \frac{v_0}{\sqrt{1 - \left(\frac{\lambda_0}{\lambda_{0c}} \right)^2}}$$

4486

حاصل ہوتے ہیں جہاں

4487

v_0 جبکہ v_0 لامحدود خطے میں دوری رفتار $\frac{1}{\sqrt{\mu\epsilon}}$

4488

λ_0 لامحدود خطے میں طول موج اور

4489

λ_{0c} انقطاعی طول موج

ہیں۔ آپ دیکھ سکتے ہیں کہ TM_{mn} اور TE_{mn} کے دوری رفتار کے مساوات بھی ہو ہو سکیں ہیں۔

عرضی مقناطیسی موج کی رکاوٹ مساوات 13.112 سے

$$Z_{yz} = \frac{\gamma}{Y}$$

ہے جو انقطاعی تعدد سے بلند تعدد $\gamma = j\beta$ کی صورت میں

$$Z_{yz} = \frac{\beta}{\omega\epsilon} = Z_z \sqrt{1 - \left(\frac{\lambda_0}{\lambda_{0c}}\right)^2} \quad (13.136)$$

ہو گا جہاں

$$Z_z = \text{موتج کے ذوبرق کی قدرتی رکاوٹ } \sqrt{\frac{\mu}{\epsilon}}$$

λ_0 لامحدود خطے میں طول موج اور

λ_{0c} انقطاعی طول موج

کے برابر ہیں۔ مساوات 13.136 کا مساوات 13.103 کے ساتھ موازنہ کرنے سے آپ دیکھ سکتے ہیں کہ TM_{mn} اور TE_{mn} امواج کی رکاوٹ مختلف ہیں۔

ہم نے دیکھا کہ ہر بلند درجی انداز کا اپنا مخصوص انقطاعی تعدد، رفتار اور رکاوٹ ہوتے ہیں۔ اگر تعدد اتنی ہو کہ مختلف بلند انداز موتج میں صفر کر سکتے ہوں تب میدان ان تمام میدانوں کا مجموعہ ہو گا جو موتج میں پائے جاتے ہوں۔

جدول 13.1 مستطیلی موتج میں TE_{mn} موج کے متغیرات کے تعلق دیتا ہے۔ Z_{yz} کے علاوہ یہی تعلق TM_{mn} کے لئے بھی درست ہیں۔

جدول 13.1: مستطیلی موچ میں TE_{mn} امواج کے متغیرات کے تعلق۔

نام تفاعل	اکائی	تعلق
انقطاعی تعدد	Hz	$f_c = \frac{1}{2\sqrt{\mu\epsilon}} \sqrt{\left(\frac{n}{y_1}\right)^2 + \left(\frac{m}{z_1}\right)^2}$
انقطاعی طول موج	m	$\lambda_{0c} = \frac{2}{\sqrt{\left(\frac{n}{y_1}\right)^2 + \left(\frac{m}{z_1}\right)^2}}$
موج میں طول موج	m	$\lambda_{\text{موج}} = \frac{\lambda_0}{\sqrt{1 - \left(\frac{\lambda_0}{\lambda_{0c}}\right)^2}}$
دوری رفتار	$\frac{m}{s}$	$v_p = \frac{v_0}{\sqrt{1 - \left(\frac{\lambda_0}{\lambda_{0c}}\right)^2}}$
عرضی موج کی رکاوٹ	Ω	$Z_{yz} = \frac{Z_z}{\sqrt{1 - \left(\frac{\lambda_0}{\lambda_{0c}}\right)^2}}$

13.5 کھوکھلی نالی موج

کھوکھلی نالی جس کا اندرونی رداس ρ ہو کے مسائل نکلی محدود میں باآسانی حاصل ہوتے ہیں لہذا ایسے موج میں TE_{mn} یا TM_{mn} امواج حاصل کرنے کی خاطر نکلی محدود ہی استعمال کرتے ہیں۔ یہاں بھی صفحہ 454 پر دیے آٹھ قدم لیتے ہوئے جواب حاصل کیا جائے گا۔ نکلی موج z محدود پر رکھا گیا ہے لہذا اس میں امواج z جانب حرکت کریں گے۔

میکس ویل کے گردش کے دو مساوات کو نکلی محدود میں لکھ کر

$$\left[\frac{1}{\rho} \frac{\partial E_z}{\partial \phi} - \frac{\partial E_\phi}{\partial z} \right] a_\rho + \left(\frac{\partial E_\rho}{\partial z} - \frac{\partial E_z}{\partial \rho} \right) a_\phi + \left[\frac{1}{\rho} \frac{\partial (E_\phi \rho)}{\partial \rho} - \frac{1}{\rho} \frac{\partial E_\rho}{\partial \phi} \right] a_z$$

$$= -\mu \left(\frac{\partial H_\rho}{\partial t} a_\rho + \frac{\partial H_\phi}{\partial t} a_\phi + \frac{\partial H_z}{\partial t} a_z \right)$$

$$\left[\frac{1}{\rho} \frac{\partial H_z}{\partial \phi} - \frac{\partial H_\phi}{\partial z} \right] a_\rho + \left(\frac{\partial H_\rho}{\partial z} - \frac{\partial H_z}{\partial \rho} \right) a_\phi + \left[\frac{1}{\rho} \frac{\partial (H_\phi \rho)}{\partial \rho} - \frac{1}{\rho} \frac{\partial H_\rho}{\partial \phi} \right] a_z$$

$$= \sigma (E_\rho a_\rho + E_\phi a_\phi + E_z a_z) + \epsilon \left(\frac{\partial E_\rho}{\partial t} a_\rho + \frac{\partial E_\phi}{\partial t} a_\phi + \frac{\partial E_z}{\partial t} a_z \right)$$

محدودی اجزاء علیحدہ علیحدہ لکھتے ہوئے مندرجہ ذیل چھ مساوات

$$(13.137) \quad \frac{1}{\rho} \frac{\partial E_z}{\partial \phi} - \frac{\partial E_\phi}{\partial z} = -\mu \frac{\partial H_\rho}{\partial t}$$

$$(13.138) \quad \frac{\partial E_\rho}{\partial z} - \frac{\partial E_z}{\partial \rho} = -\mu \frac{\partial H_\phi}{\partial t}$$

$$(13.139) \quad \frac{1}{\rho} \frac{\partial (E_\phi \rho)}{\partial \rho} - \frac{1}{\rho} \frac{\partial E_\rho}{\partial \phi} = -\mu \frac{\partial H_z}{\partial t}$$

$$(13.140) \quad \frac{1}{\rho} \frac{\partial H_z}{\partial \phi} - \frac{\partial H_\phi}{\partial z} = \sigma E_\rho + \epsilon \frac{\partial E_\rho}{\partial t}$$

$$(13.141) \quad \frac{\partial H_\rho}{\partial z} - \frac{\partial H_z}{\partial \rho} = \sigma E_\phi + \epsilon \frac{\partial E_\phi}{\partial t}$$

$$(13.142) \quad \frac{1}{\rho} \frac{\partial (H_\phi \rho)}{\partial \rho} - \frac{1}{\rho} \frac{\partial H_\rho}{\partial \phi} = \sigma E_z + \epsilon \frac{\partial E_z}{\partial t}$$

حاصل ہوتے ہیں جن کے ساتھ چارج سے خالی $\rho_h = 0$ خطے میں پھیلاؤ کے دو مساوات

$$(13.143) \quad \frac{1}{\rho} \frac{\partial (\rho E_\rho)}{\partial \rho} + \frac{1}{\rho} \frac{\partial E_\phi}{\partial \phi} + \frac{\partial E_z}{\partial z} = 0$$

$$(13.144) \quad \frac{1}{\rho} \frac{\partial (\rho H_\rho)}{\partial \rho} + \frac{1}{\rho} \frac{\partial H_\phi}{\partial \phi} + \frac{\partial H_z}{\partial z} = 0$$

شامل کرتے ہیں۔

مساوات 13.137 تا 13.144 کو وقت کے ساتھ اور z فاصلے کے ساتھ سائنز نما تعلق کا پابند $(E_\phi = E_1 e^{j\omega t - \gamma z})$ بناتے ہوئے

$$(13.145) \quad \frac{1}{\rho} \frac{\partial E_z}{\partial \phi} + \gamma E_\phi - Z H_\rho = 0$$

$$(13.146) \quad -\gamma E_\rho - \frac{\partial E_z}{\partial \rho} - Z H_\phi = 0$$

$$(13.147) \quad \frac{1}{\rho} \frac{\partial (E_\phi \rho)}{\partial \rho} - \frac{1}{\rho} \frac{\partial E_\rho}{\partial \phi} - Z H_z = 0$$

$$(13.148) \quad \frac{1}{\rho} \frac{\partial H_z}{\partial \phi} + \gamma H_\phi - Y E_\rho = 0$$

$$(13.149) \quad -\gamma H_\rho - \frac{\partial H_z}{\partial \rho} - Y E_\phi = 0$$

$$(13.150) \quad \frac{1}{\rho} \frac{\partial (H_\phi \rho)}{\partial \rho} - \frac{1}{\rho} \frac{\partial H_\rho}{\partial \phi} - Y E_z = 0$$

$$(13.151) \quad \frac{1}{\rho} \frac{\partial (\rho E_\rho)}{\partial \rho} + \frac{1}{\rho} \frac{\partial E_\phi}{\partial \phi} + \frac{\partial E_z}{\partial z} = 0$$

$$(13.152) \quad \frac{1}{\rho} \frac{\partial (\rho H_\rho)}{\partial \rho} + \frac{1}{\rho} \frac{\partial H_\phi}{\partial \phi} - \gamma H_z = 0$$

حاصل ہوتا ہے جہاں

$$Z = -j\omega\mu \quad (\Omega/m) \quad \text{سلسلہ وار رکاوٹ}$$

$$Y = \sigma + j\omega\epsilon \quad (S/m) \quad \text{متوازی فراوانی}$$

$$\gamma = \alpha + j\beta \quad \text{حرکی مستقل}$$

ہیں۔

یہاں ہم عرضی برقی یا عرضی مقناطیسی موج منتخب کرتے ہوئے آگے بڑھ سکتے ہیں۔ ہم TE_{mn} منتخب کرتے ہوئے آگے بڑھتے ہیں۔ یوں $E_z = 0$ ہوگا جس سے

$$(13.153) \quad \gamma E_\phi - Z H_\rho = 0$$

$$(13.154) \quad -\gamma E_\rho - Z H_\phi = 0$$

$$(13.155) \quad \frac{E_\phi}{\rho} + \frac{\partial E_\phi}{\partial \rho} - \frac{1}{\rho} \frac{\partial E_\rho}{\partial \phi} - Z H_z = 0$$

$$(13.156) \quad \frac{1}{\rho} \frac{\partial H_z}{\partial \phi} + \gamma H_\phi - Y E_\rho = 0$$

$$(13.157) \quad -\gamma H_\rho - \frac{\partial H_z}{\partial \rho} - Y E_\phi = 0$$

$$(13.158) \quad \frac{H_\phi}{\rho} + \frac{\partial H_\phi}{\partial \rho} - \frac{1}{\rho} \frac{\partial H_\rho}{\partial \phi} = 0$$

$$(13.159) \quad \frac{E_\rho}{\rho} + \frac{\partial E_\rho}{\partial \rho} + \frac{1}{\rho} \frac{\partial E_\phi}{\partial \phi} = 0$$

$$(13.160) \quad \frac{H_\rho}{\rho} + \frac{\partial H_\rho}{\partial \rho} + \frac{1}{\rho} \frac{\partial H_\phi}{\partial \phi} - \gamma H_z = 0$$

حاصل ہوتا ہے جہاں مساوات 13.147 میں $\frac{\partial (E_\phi \rho)}{\partial \rho}$ تفرق کو کھول کر $E_\phi + \rho \frac{\partial E_\phi}{\partial \rho}$ لکھا گیا ہے۔ ایسا ہی بقایا تفرق کے ساتھ بھی کیا گیا ہے۔

تمام میدان کو H_z کی صورت میں لکھنے کی خاطر مساوات 13.153 اور مساوات 13.154 سے عرضی موج کی رکاوٹ $Z_{\rho\phi}$

$$(13.161) \quad Z_{\rho\phi} = \frac{E_{\rho}}{H_{\phi}} = -\frac{E_{\phi}}{H_{\rho}} = -\frac{Z}{\gamma} = \frac{j\omega\mu}{\gamma}$$

لیتے ہیں۔ مساوات 13.161 سے E_{ρ} مساوات 13.156 میں پر کرتے ہوئے H_{ϕ} کے لئے حل کرتے ہوئے

$$(13.162) \quad H_{\phi} = -\frac{1}{\gamma - YZ_{\rho\phi}} \frac{1}{\rho} \frac{\partial H_z}{\partial \phi}$$

حاصل ہوتا ہے۔ اسی طرح مساوات 13.161 سے E_{ϕ} مساوات 13.157 میں پر کرتے ہوئے H_{ρ} کے لئے حل کرتے ہوئے

$$(13.163) \quad H_{\rho} = -\frac{1}{\gamma - YZ_{\rho\phi}} \frac{\partial H_z}{\partial \rho}$$

حاصل ہوتا ہے۔ مندرجہ بالا دو مساوات اور مساوات 13.161 سے

$$(13.164) \quad E_{\rho} = -\frac{Z_{\rho\phi}}{\gamma - YZ_{\rho\phi}} \frac{1}{\rho} \frac{\partial H_z}{\partial \phi}$$

$$(13.165) \quad E_{\phi} = \frac{Z_{\rho\phi}}{\gamma - YZ_{\rho\phi}} \frac{\partial H_z}{\partial \rho}$$

لکھے جاسکتے ہیں۔ یہ مساوات تمام میدان کو H_z کی صورت میں بیان کرتے ہیں۔

مساوات 13.164 کا ϕ تفرق، مساوات 13.165 کا ρ تفرق اور مساوات 13.165 کو مساوات 13.155 میں پر کرتے ہوئے

$$(13.166) \quad \frac{Z_{\rho\phi}}{\gamma - YZ_{\rho\phi}} \frac{1}{\rho} \frac{\partial H_z}{\partial \rho} + \frac{Z_{\rho\phi}}{\gamma - YZ_{\rho\phi}} \frac{\partial^2 H_z}{\partial \rho^2} + \frac{Z_{\rho\phi}}{\gamma - YZ_{\rho\phi}} \frac{1}{\rho^2} \frac{\partial^2 H_z}{\partial \phi^2} - ZH_z = 0$$

موج کی مقداری مساوات حاصل ہوتی ہے۔ اس میں

$$(13.167) \quad \frac{Z(\gamma - YZ_{\rho\phi})}{Z_{\rho\phi}} = -k^2$$

یعنی

$$(13.168) \quad k^2 = \gamma^2 + YZ$$

لکھتے ہوئے

$$\frac{1}{\rho} \frac{\partial H_z}{\partial \rho} + \frac{\partial^2 H_z}{\partial \rho^2} + \frac{1}{\rho^2} \frac{\partial^2 H_z}{\partial \phi^2} + k^2 H_z = 0$$

یا

$$(13.169) \quad \rho^2 \frac{\partial^2 H_z}{\partial \rho^2} + \rho \frac{\partial H_z}{\partial \rho} + k^2 \rho^2 H_z = -\frac{\partial^2 H_z}{\partial \phi^2}$$

حاصل ہوتا ہے جس میں

$$(13.170) \quad H_z(\rho, \phi) = M(\rho)N(\phi)$$

لکھ کر متغیرات کی علیحدگی ممکن ہے۔ ایسا کرتے ہوئے

$$\rho^2 N \frac{\partial^2 M}{\partial \rho^2} + \rho N \frac{\partial M}{\partial \rho} + k^2 \rho^2 M N = -M \frac{\partial^2 N}{\partial \phi^2}$$

حاصل ہوتا ہے۔ دونوں اطراف کو MN سے تقسیم کرتے ہوئے

$$\frac{\rho^2}{M} \frac{\partial^2 M}{\partial \rho^2} + \frac{\rho}{M} \frac{\partial M}{\partial \rho} + k^2 \rho^2 = -\frac{1}{N} \frac{\partial^2 N}{\partial \phi^2}$$

حاصل ہوتا ہے جہاں بائیں ہاتھ کا متغیر ρ ہے جبکہ دائیں ہاتھ کا متغیر ϕ ہے۔ یوں دونوں اطراف کو مستقل n^2 کے برابر پر کیا جاسکتا ہے یعنی

$$(13.171) \quad \frac{\rho^2}{M} \frac{\partial^2 M}{\partial \rho^2} + \frac{\rho}{M} \frac{\partial M}{\partial \rho} + k^2 \rho^2 = n^2$$

$$(13.172) \quad -\frac{1}{N} \frac{\partial^2 N}{\partial \phi^2} = n^2$$

مندرجہ بالا میں نچلی مساوات کا حل

$$(13.173) \quad N = c_1 \cos n\phi + c_2 \sin n\phi$$

4508 ہے جہاں c_1 اور c_2 مساوات کے مستقل ہیں۔

مساوات 13.171 کو

$$(13.174) \quad \rho^2 \frac{\partial^2 M}{\partial \rho^2} + \rho \frac{\partial M}{\partial \rho} + (k^2 \rho^2 - n^2) M = 0$$

لکھا جاسکتا ہے جو **بیسل مساوات**¹⁷ کہلاتی ہے اور جس کا حل

$$(13.175) \quad M = c_3 J_n(k\rho) + c_4 Y_n(k\rho)$$

4509 لکھا جاتا ہے جہاں c_3 اور c_4 مساوات کے مستقل ہیں۔

یوں مساوات 13.170 سے

$$(13.176) \quad H_z = [c_3 J_n(k\rho) + c_4 Y_n(k\rho)] (c_1 \cos n\phi + c_2 \sin n\phi)$$

4510 حاصل ہوتا ہے جس پر مندرجہ ذیل دو عدد سرحدی شرائط لاگو کرتے ہوئے مساوات کے مستقل حاصل کئے جاسکتے ہیں۔

کائنات میں کہیں پر بھی لامحدود میدان نہیں پایا جاتا لہذا انکی موج میں بھی میدان کی قیمت محدود ہوگی۔ اس کے علاوہ موصل نکی سطح پر برقی میدان صفر ہو گا، یعنی $(E_\phi(\rho_0) = 0)$ ، جہاں نکی کارڈاس ρ_0 کے برابر ہے۔

4512

پہلے شرط کے تحت نکی محدود میدان کی قیمت محدود ہے، لیکن $\rho \rightarrow \infty$ پر Y_n کی قیمت لامحدود ہوتی ہے لہذا مساوات 13.176 میں

$$(13.177) \quad c_4 = 0$$

ہوگا۔ اگر $c_2 = 0$ ہو تب میدان کی چوٹی $\phi = 0^\circ$ پر ہوگی اور اگر $c_1 = 0$ ہو تب میدان کی چوٹی $\phi = 90^\circ$ پر ہوگی۔ کسی اور زاویے پر چوٹی کی صورت میں دونوں مستقل پائے جائیں گے۔ ہم چوٹی کو صفر زاویے پر تصور کرتے ہیں۔ یوں

$$H_z = H_0 \cos n\phi J_n(k\rho) \quad (13.178)$$

ہوگا جہاں $c_1 c_3 = H_0$ لکھا گیا ہے۔ اب چونکہ $\phi = 0$ اور $\phi = 2\pi$ ریڈین تکلی مونتج میں ایک ہی نقطے کو ظاہر کرتے ہیں لہذا دونوں زاویوں سے میدان برابر حاصل ہونا چاہیے۔ یوں

$$n = 0, 1, 2, \dots$$

حاصل ہوتا ہے۔ آپ دیکھ سکتے ہیں کہ $n = 1$ کی صورت میں نکلی میں $\phi = 0$ تا $\phi = 2\pi$ یعنی ایک چکر کاٹتے ہوئے H_z کی موج بوجہ $\cos n\phi$ کے ایک چکر کاٹے گا۔ اسی طرح $n = 2$ کی صورت میں نکلی کے گرد ایک چکر کاٹتے ہوئے میدان دو چکر کاٹتا ہے۔ یوں نکلی کے گرد ایک چکر کاٹتے ہوئے میدان کے چکر کی تعداد n دیتا ہے۔

نکلی مونتج میں موج کی مساوات

$$H_z = H_0 \cos n\phi J_n(k\rho) e^{j\omega t - \gamma z} \quad (n = 0, 1, 2, \dots) \quad (13.179)$$

ہوگی جہاں میدان کا وقت اور فاصلے کے ساتھ سائن نمائندگی کو بھی شامل کیا گیا ہے۔ اس کو مساوات 13.165 میں پر کرتے ہوئے

$$E_\phi = \frac{Z_{\rho\phi}}{\gamma - YZ_{\rho\phi}} H_0 \cos n\phi \frac{dJ_n(k\rho)}{d\rho} e^{j\omega t - \gamma z} \quad (13.180)$$

حاصل ہوتا ہے۔ دوسری سرحدی شرط کے تحت موصل نکلی سطح پر متوازی برقی میدان صفر ہوگا لہذا مساوات 13.180 میں $E_\phi = 0$ پر کرتے ہوئے

$$\left. \frac{dJ_n(k\rho)}{d\rho} \right|_{\rho_0} = 0 \quad (13.181)$$

حاصل ہوتا ہے جس سے

$$k\rho_0 = \alpha'_{nm} \quad (13.182)$$

حاصل ہوتا ہے جہاں α'_{nm} **بیسل تفاعل** کے تفرق کے صفر کہلاتے ہیں یعنی

$$\frac{dJ_n(\alpha'_{nm})}{d\rho} = 0 \quad (13.183)$$

مساوات 13.182 سے حاصل k کو k'_{nm} لکھتے ہوئے یوں

$$k'_{nm} = \frac{\alpha'_{nm}}{\rho_0} \quad (m = 1, 2, 3, \dots) \quad (13.184)$$

حاصل ہوتا ہے۔

مساوات 13.184 کو استعمال کرتے ہوئے یوں

$$H_z = H_0 \cos n\phi J_n(k'_{nm}\rho) e^{j\omega t - \gamma z} \quad (13.185)$$

• کم تعدد پر حقیقی γ ہو گا لہذا موج غیر شفاف ہو گا اور موج اس میں صفر نہیں کر پائے گی۔

• مخصوص درمیانے تعدد پر $0 = \gamma$ حاصل ہو گا۔ یہ انقطاعی تعدد ہو گی۔

• بلند تعدد پر γ خیالی عدد ہو گا لہذا موج شفاف ہو گا اور موج اس میں صفر کر پائے گی۔

مساوات 13.191 کو صفر کے برابر کرنے سے انقطاعی تعدد

$$(13.192) \quad f_c = \frac{1}{2\pi\sqrt{\mu\epsilon}} \frac{k'_{nm}}{\rho_0} \quad (\text{Hz})$$

اور انقطاعی طول موج

$$(13.193) \quad \lambda_{0c} = \frac{2\pi\rho_0}{k'_{nm}} \quad (\text{m})$$

حاصل ہوتے ہیں۔ یوں TE_{11} کے لئے $1.84 = \alpha'_{11}$ سے $\lambda_{0c} = \frac{2\pi\rho_0}{1.84} = 3.41\rho_0$ حاصل ہو گا۔

انقطاعی تعدد سے زیادہ تعدد پر γ خیالی ہو گا لہذا اسے

$$(13.194) \quad \beta = \sqrt{\omega^2\mu\epsilon - \left(\frac{\alpha'_{nm}}{\rho_0}\right)^2} \quad (\text{rad/m})$$

لکھا جائے گا۔ مندرجہ بالا دو مساوات کو ملا کر z سمت میں موج میں طول موج

$$(13.195) \quad \lambda_g = \frac{\lambda_0}{\sqrt{1 - \left(\frac{\lambda_0}{\lambda_{0c}}\right)^2}} \quad (\text{m})$$

حاصل ہوتی ہے جہاں

λ_0 موج کے ذوبرق سے بھرے لامحدود خطے میں طول موج اور

λ_{0c} انقطاعی طول موج

ہیں۔ موج میں دوری رفتار $v_p = f\lambda_g$

$$(13.196) \quad v_p = \frac{\omega}{\beta} = \frac{v_0}{\sqrt{1 - \left(\frac{\lambda_0}{\lambda_{0c}}\right)^2}} \quad (\text{m/s})$$

حاصل ہوتا ہے جہاں

$$v_0 = \frac{1}{\sqrt{\mu\epsilon}}$$

ہے۔

مساوات 13.195 اور مساوات 13.196 ہو بہو مستطیلی موج کے مساوات ہیں۔ یہی مساوات ہر شکل کے کھوکھلے موج کے لئے درست ثابت ہوتے ہیں۔

بیسل تفاعل کے صفر برابر فاصلوں پر نہیں پائے جاتے لہذا نلکی موج میں ممکنہ بلند انداز امواج برابر تعدد کے فاصلے پر نہیں پائے جاتے۔ اس کے برعکس مستطیلی موج میں یہ بلند انداز امواج برابر تعدد کے فاصلوں پر پائے جاتے ہیں۔ نلکی موج میں TE_{11} تمام امواج، بشمول TM_{nm} ، سے کم انقطاعی تعدد رکھتی ہے لہذا اسے **غالب بلند درجی انداز**¹⁸ کہتے ہیں۔ TE_{01} بلند درجی انداز نہایت کم تضعیف کا حامل ہے لہذا کم موصلیت کے چادر کی بنی موج میں اس کی اہمیت مزید بڑھ جاتی ہے۔

13.6 انقطاعی تعدد سے کم تعدد پر تضعیف

ہم دیکھ چکے ہیں کہ انقطاعی تعدد سے کم تعدد کی موج تضعیف کا شکار ہوتی ہے اور یہ موج میں صفر کے قابل نہیں ہوتی۔ آئیں تضعیف کی مقدار کا حساب لگائیں۔ مستطیلی موج میں مساوات 13.127

$$(13.197) \quad \alpha = \sqrt{k^2 - \beta_0^2} = \sqrt{\left(\frac{n\pi}{y_1}\right)^2 + \left(\frac{m\pi}{z_1}\right)^2 - \left(\frac{2\pi}{\lambda_0}\right)^2}$$

انقطاعی تعدد سے کم تعدد پر تضعیف مستقل دیتا ہے جسے مساوات 13.131 کی مدد سے

$$(13.198) \quad \alpha = \frac{2\pi}{\lambda_0} \sqrt{\left(\frac{\lambda_0}{\lambda_{0c}}\right)^2 - 1} = \beta_0 \sqrt{\left(\frac{\lambda_0}{\lambda_{0c}}\right)^2 - 1} \quad (\text{Np/m})$$

لکھا جاسکتا ہے جہاں

λ_0 لا محدود خطے میں طول موج اور

λ_{0c} انقطاعی طول موج

ہیں۔ مساوات 13.198 ہر قسم کے شکل کے کھوکھلے موج کے لئے درست ہے۔

انقطاعی تعدد سے بہت کم تعدد ($\lambda_0 \gg \lambda_{0c}$) کی صورت میں مساوات 13.198 سے

$$(13.199) \quad \alpha \approx \frac{2\pi}{\lambda_{0c}} \text{ Np/m}$$

$$(13.200) \quad = \frac{2\pi \times 8.69}{\lambda_{0c}} = \frac{54.6}{\lambda_{0c}} \frac{\text{dB}}{\text{m}}$$

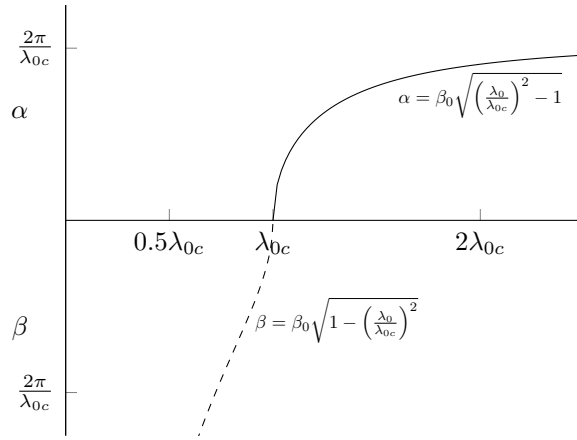
حاصل ہوتا ہے۔ شکل 13.15 میں تضعیف مستقل α بالمقابل لا محدود خطے میں طول موج λ_0 کو ٹھوس خط سے دکھایا گیا ہے۔ انقطاعی طول موج سے کم طول موج پر $\alpha = 0$ ہے۔

مثال 13.1: ایک موج کا انقطاعی طول موج $\lambda_{0c} = 50 \text{ mm}$ ہے۔ اس موج میں $\lambda_0 = 2 \text{ m}$ کے موج کی فی میٹر صفر کے دوران تضعیف دریافت کریں۔

حل: چونکہ $\lambda_0 \gg \lambda_{0c}$ ہے لہذا

$$\alpha = \frac{2\pi}{50 \times 10^{-3}} = 125.68 \text{ Np/m} \quad \left(1092 \frac{\text{dB}}{\text{m}}\right)$$

ہوگا۔ یوں موج میں بہت کم فاصلے پر موج کی قیمت انتہائی گھٹ جائے گی۔



شکل 13.15: حرکی مستقل بالمقابل طول موج۔ انقطاعی طول موج سے کم طول موج پر تضعیفی مستقل صفر ہے جبکہ اس سے زیادہ طول موج پر زاویائی مستقل صفر ہے۔

13.7 انقطاعی تعدد سے بلند تعدد پر تضعیف

کامل موصل چادر سے بنا اور کامل ذوبرق سے بھرا موج بے ضیاع ہوتا ہے لہذا انقطاعی تعدد سے زیادہ تعدد پر $\alpha = 0$ ہوگا۔ مساوات 13.128 سے

$$\begin{aligned}\beta &= \sqrt{\beta_0^2 - k^2} \\ &= \sqrt{\left(\frac{2\pi}{\lambda_0}\right)^2 - \left(\frac{2\pi}{\lambda_{0c}}\right)^2} \\ &= \frac{2\pi}{\lambda_0} \sqrt{1 - \left(\frac{\lambda_0}{\lambda_{0c}}\right)^2}\end{aligned}$$

یا

$$\beta = \beta_0 \sqrt{1 - \left(\frac{\lambda_0}{\lambda_{0c}}\right)^2} \quad (13.201)$$

حاصل ہوتا ہے۔ مساوات 13.201 ہر قسم کے شکل کے کھوکھلے موج کے لئے درست ہے۔ شکل 13.15 میں نقطہ دار خط سے β دکھایا گیا ہے۔ انقطاعی طول موج سے زیادہ طول موج پر $\beta = 0$ ہے۔

شکل 13.15 میں طول موج کو افقی محدود اور حرکی مستقل کو عمودی محدود پر رکھا گیا ہے۔ عین انقطاعی طول موج λ_{0c} پر $\gamma = 0$ یعنی $\alpha = 0$ اور $\beta \rightarrow \infty$ ہیں۔ انقطاعی طول موج سے کم طول موج پر $\alpha = 0$ رہتا ہے جبکہ β کی قیمت طول موج کم کرنے سے لامحدود قیمت کی جانب بڑھتی ہے۔ انقطاعی طول موج سے زیادہ طول موج پر $\beta = 0$ رہتا ہے جبکہ α کی قیمت $\frac{2\pi}{\lambda_{0c}}$ تک پہنچنے کی کوشش کرتی ہے۔

حقیقی موج کامل نہیں ہوتے لہذا ان میں α صفر نہیں ہوتا۔ بہتر موصل، مثلاً تانبہ، کی چادر سے بنے اور ہوا سے بھرے موج میں α کی قیمت نہایت کم ہوتی ہے جبکہ β مندرجہ بالا مساوات کے عین مطابق ہوتا ہے۔ انہیں حقیقی موج میں α کی قیمت حاصل کریں۔

$$\mathcal{P}_{\text{حقیقی}} = \frac{1}{2} [\mathbf{E}_s \times \mathbf{H}_s^*]$$

موج کی اوسط طاقت دیتی ہے۔ کسی بھی موج میں میدان، مثلاً صفحہ 464 پر مساوات 13.85، میں حرکت کرتے میدان $e^{-\alpha x} e^{j(\omega t - \beta x)}$ خاصیت رکھتے ہیں۔ یوں $\frac{E}{H} = Z$ لیتے ہوئے

$$(13.202) \quad \mathcal{P}_{\text{اوسط}} = \frac{1}{2} \frac{|E|^2}{Z_h} e^{-2\alpha x} = \frac{1}{2} Z_h |H|^2 e^{-2\alpha x} = P_0 e^{-2\alpha x}$$

لکھا جاسکتا ہے جہاں $x = 0$ پر اوسط طاقت P_0 کے برابر ہے، قدرتی رکاوٹ Z کے حقیقی جزو کو Z_h اور $|E|^2 \times E^* = |E|^2$ لکھے گئے ہیں۔ اس مساوات سے

$$(13.203) \quad \alpha = -\frac{1}{2} \frac{dP}{dx} \quad (\text{Np/m})$$

حاصل ہوتا ہے جہاں اوسط \mathcal{P} کو P لکھا گیا ہے۔ مساوات 13.203 میں کسی بھی نقطے پر x سمت میں P طاقت منتقل ہو رہا ہے جبکہ اسی نقطے پر $\frac{dP}{dx}$ - طاقت کے ضیاع کو ظاہر کرتا ہے۔ تضعیفی مستقل کی اس مساوات میں طاقت کا ضیاع، موج کی دیواروں میں پیدا ہونے والی مزاحمتی برقی ضیاع ($I^2 R_c$) ہے جو حرارت میں تبدیلی ہوتا ہے۔ انقطاعی تعدد سے کم تعدد پر موج کے تضعیفی مستقل پر طاقت کا ضیاع عمل درآمد نہیں ہوتا۔ انقطاعی تعدد سے کم تعدد پر امواج نہ گزرنے کی معزوری کو α سے ظاہر کیا جاتا ہے۔ ایسی صورت میں موج میں موج نہیں گزر پاتی بلکہ یہ انعکاس پذیر ہوتی ہے۔

4559

مساوات 13.203 کو یوں پڑھا جاسکتا ہے

$$\alpha = \frac{\text{طاقت کا ضیاع فی اکائی لمبائی}}{\text{منتقل طاقت کا درجن}}$$

کامل ذوب سے بھرے موج میں ذوب برق کا ضیاع صفر ہوگا۔ ایسی صورت میں صرف موج کے چادروں میں مزاحمتی ضیاع پایا جائے گا لہذا اکائی لمبائی میں طاقت کا ضیاع

$$(13.204) \quad -\frac{dP}{dx} = \frac{1}{dx} \int \int \mathcal{P}_{\text{چادر}} dS = \int \mathcal{P}_{\text{چادر}} dl$$

ہوگا جہاں $\mathcal{P}_{\text{چادر}}$ سے مراد وہ اوسط طاقت (وقت کے مطابقت سے اوسط) ہے جو موج کے دیواروں کے موصل چادروں میں منتقل ہو رہا ہے۔ مساوات 13.204 میں سطح کا چھوٹا رقبہ dS موج کے اندرونی سطح پر لیا جاتا ہے۔ اس رقبے کی لمبائی dx اور چوڑائی dl ہے جہاں l اندرونی سطح پر ایک چکر کے برابر ہے۔ شکل 13.9 کے مستطیلی موج کی صورت میں $l = 2(y_1 + z_1)$ کے برابر ہوگا۔ مخلوط پونٹنگ سمتیہ سے موصل چادر میں منتقل طاقت کو

$$(13.205) \quad \mathcal{P}_{\text{چادر}} = \frac{1}{2} Z_{c,h} |H_m|^2$$

لکھا جاسکتا ہے جہاں H_m چادر کے متوازی میدان اور $Z_{c,h}$ چادر کے موصل کا قدرتی رکاوٹ ہے جس کا حقیقی جزو $Z_{c,h}$ ہے۔ چادر کے متوازی میدان کی حتمی قیمت $|H_m|$ ہے۔ چونکہ موصل میں $j\omega\epsilon \gg \sigma$ ہوتا ہے لہذا

$$Z_c = \sqrt{\frac{j\omega\mu}{\sigma + j\omega\epsilon}} \approx \sqrt{\frac{j\omega\mu}{\sigma}} = (1 + j) \sqrt{\frac{\omega\mu}{2\sigma}}$$

ہوگا جس سے

$$Z_{c,h} = \sqrt{\frac{\omega\mu}{2\sigma}}$$

حاصل ہوتا ہے۔ یوں مساوات 13.204 کو

$$(13.206) \quad -\frac{dP}{dx} = \frac{Z_{c,h}}{2} \int |H_m|^2 dl$$

لکھا جاسکتا ہے۔

موج میں کسی بھی نقطے پر لمبائی کے جانب منتقل طاقت کو

$$P = \frac{Z_{yz,h}}{1} \int \int |H_{\perp}|^2 dS \quad (13.207)$$

لکھا جاسکتا ہے جہاں H_{\perp} سے مراد وہ میدان ہے جو موج کے حرکت کے عمودی ہے۔ اس میدان کو موج کے سطح عمودی تراش کے متوازی بھی لکھا جاسکتا ہے۔ اس مساوات میں Z_{yz} موج کا قدرتی رکاوٹ ہے جس کے حقیقی جزو کو $Z_{yz,h}$ لکھا گیا ہے۔ اس طرح تضعیفی مستقل کو

$$\alpha = \frac{Z_{c,h} \int |H_m|^2 dl}{2Z_{yz,h} \int \int |H_{\perp}|^2 dS} \quad (\text{Np/m}) \quad (13.208)$$

لکھا جاسکتا ہے۔

مساوات 13.208 تمام موج کے تمام بلند انداز کے لئے درست ہے۔ کسی بھی بلند انداز کا تضعیفی مستقل حاصل کرتے وقت اسی بلند انداز کے میدان مساوات 13.208 میں پرکئے جائیں گے۔ بہتر موصول سے بنے موج کی صورت میں کامل موصول کے لئے حاصل کردہ میدان ہی استعمال کئے جاتے ہیں۔ مساوات 13.208 کا استعمال مندرجہ ذیل مثال میں دکھایا گیا ہے۔

مثال 13.2: دو متوازی چادروں کے موج کو صفحہ 448 پر شکل 13.1 میں دکھایا گیا ہے۔ اس موج میں 450 Hz کے TEM موج کا تضعیفی مستقل حاصل کریں۔ چادروں کے درمیان فاصلہ 20 cm ہے۔

حل: مساوات 13.208 سے

$$\alpha = \frac{2Z_{c,h} \int_0^{y_1} |H_m|^2 dy}{2Z_{yz,h} \int_0^{y_1} \int_0^{z_1} |H_{\perp}|^2 dz dy}$$

لکھا جائے گا جہاں کسر کے بالائی حصے میں دونوں اطراف کے چادروں میں طاقت کے ضیاع کی وجہ سے ضرب دو لکھا گیا ہے۔ اس موج میں TEM موج کے میدان حرکت کے سمت کے عمودی اور چادروں کے متوازی ہیں۔ یوں مقناطیسی میدان Ha_y ہے جو چادروں کے متوازی اور موج کے حرکت کے عمودی ہے۔ یوں H_m اور H_{\perp} دونوں Ha_y ہی ہیں لہذا

$$\alpha = \frac{Z_{c,h} y_1}{Z_{yz,h} y_1 z_1} = \frac{Z_{c,h}}{z_1 Z_{yz,h}}$$

ہو گا۔ تانبے میں 450 MHz پر

$$\begin{aligned} Z_c &= \sqrt{\frac{j\omega\mu}{\sigma + j\omega\epsilon}} \\ &= \sqrt{\frac{j2 \times \pi \times 450 \times 10^6 \times 4 \times \pi \times 10^{-7}}{5.8 \times 10^7 + j2 \times \pi \times 450 \times 10^6 \times 8.854 \times 10^{-12}}} \\ &= 0.0055 + j0.0055 \end{aligned}$$

حاصل ہوتا ہے جس کا حقیقی جز $Z_{c,h} = 0.0055$ اوہم ہے۔ ہوا کے لئے $Z_{yz,h} = Z_{yz} = 376.7 \Omega$ ہے۔ ان نتائج کے تحت

$$\alpha = \frac{0.0055}{0.2 \times 376.7} = 73 \mu\text{Np/m}$$

ہوگا۔ یوں ایک کلو میٹر فاصلہ طے کرنے پر میدان کی قیمت ابتدائی قیمت کے $0.9296 = e^{-0.073}$ یعنی 92.96 فی صد ہوگی۔

4568

4569

4570

مثال 13.3: تانبے کی وسیع چادر کے متوازی 2 cm چوڑائی تانبے کی پٹی 1 mm کے فاصلے پر پائی جاتی ہے۔ پٹی اور چادر کے درمیان $\epsilon_R = 2.7$ کا ذوبرق بھرا گیا ہے۔ اس ذوبرق میں $E_{\text{موج}} = 200 \frac{\text{mV}}{\text{m}}$ برقی شدت اور 600 MHz تعدد کی TEM موج پائی جاتی ہے۔ الف) اوسط منتقل طاقت دریافت کریں۔ ب) فی میٹر فاصلہ طے کرتے ہوئے تانبے میں کل توانائی کا ضیاع دریافت کریں۔ پ) تضعیفی مستقل حاصل کریں۔

4573

حل: ذوبرق اور تانبے کے قدرتی رکاوت بالترتیب

$$Z_z = \frac{\mu_0}{2.7\epsilon_0} = 227 \Omega$$

$$Z_c = \sqrt{\frac{j2 \times \pi \times 600 \times 10^6 \times 4 \times \pi \times 10^{-7}}{5.8 \times 10^7 + j2 \times \pi \times 600 \times 10^6 \times 8.854 \times 10^{-12}}} = 0.00639(1 + j) \Omega$$

ہیں۔ برقی میدان تانبے کے عمودی ہوگا لہذا تانبے کے متوازی مقناطیسی میدان کی موثر قیمت

$$H_{\text{موج}} = \frac{E_{\text{موج}}}{Z_z} = \frac{0.2}{227} = 0.881 \frac{\text{mA}}{\text{m}}$$

ہوگی۔ موج کا رقبہ عمودی تراش $S = 2 \text{ cm} \times 1 \text{ mm}$ ہے۔ یوں منتقل طاقت

$$P_{\text{منتقل}} = \frac{E^2}{2Z_z} S = \frac{E_{\text{موج}}^2}{Z_z} S = \frac{0.2^2}{227} \times 0.02 \times 0.001 = 3.49 \text{ nW}$$

ہوگا جبکہ تانبے کی پٹی اور تانبے کی چادر میں پٹی کے برابر حصے میں مل کر کل طاقت کا ضیاع

$$P_{\text{ضیاع}} = 2 \frac{Z_{c,h} H^2}{2} S = 2 Z_{c,h} H_{\text{موج}}^2 S = 2 \times 0.00639 \times (0.881 \times 10^{-3})^2 \times 0.02 \times 0.001 = 0.195 \frac{\text{nW}}{\text{m}}$$

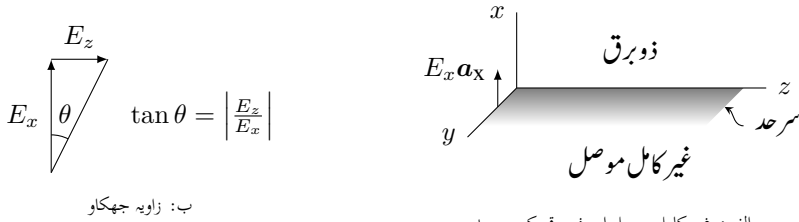
ہوگا۔ اس طرح تضعیفی مستقل

$$\alpha = \frac{0.195 \times 10^{-9}}{3.49 \times 10^{-9}} = 55 \frac{\text{mNp}}{\text{m}} \quad \left(0.48 \frac{\text{dB}}{\text{m}}\right)$$

حاصل ہوتا ہے۔

4574

4575



شکل 13.16: دو خطوں کے سرحد پر امواج۔

13.8 سطحی موج

غیر کامل موصل اور ذو برق کی سطح شکل 13.16-الف میں $x = 0$ پر دکھائی گئی ہے۔ سطح کے نیچے ($x < 0$) غیر کامل موصل جبکہ اس کے اوپر ($x > 0$) ذو برق ہے۔ سطح کے ساتھ ساتھ TEM موج z سمت میں حرکت کر رہی ہے۔ آئیں اس مسئلے کو حل کریں۔

اس مسئلے کو حل کرتے ہوئے تصور کیا جائے گا کہ موج میں y کے تبدیلی سے کوئی تبدیلی رونما نہیں ہوتی۔ یوں $\frac{\partial}{\partial y} = 0$ ہوگا۔ چونکہ موج z سمت حرکت کر رہی ہے لہذا تمام میدان

$$H = H_0 e^{j\omega t - \gamma z} \quad (13.209)$$

خاصیت رکھتے ہیں۔ ان حقائق کو استعمال کرتے ہوئے، سطح سے اوپر ذو برق میں مساوات 13.16 تا مساوات 13.23 مندرجہ ذیل صورت اختیار کر لیتے ہیں

$$\gamma_1 E_y + j\omega \mu_1 H_x = 0 \quad (13.210)$$

$$-\gamma_1 E_x - \frac{\partial E_z}{\partial x} + j\omega \mu_1 H_y = 0 \quad (13.211)$$

$$\frac{\partial E_y}{\partial x} + j\omega \mu_1 H_z = 0 \quad (13.212)$$

$$\gamma_1 H_y - j\omega \epsilon_1 E_x = 0 \quad (13.213)$$

$$-\gamma_1 H_x - \frac{\partial H_z}{\partial x} - j\omega \epsilon_1 E_y = 0 \quad (13.214)$$

$$\frac{\partial H_y}{\partial x} - j\omega \epsilon_1 E_z = 0 \quad (13.215)$$

$$\frac{\partial E_x}{\partial x} - \gamma_1 E_z = 0 \quad (13.216)$$

$$\frac{\partial H_x}{\partial x} - \gamma_1 H_z = 0 \quad (13.217)$$

جہاں زیر نوشت میں 1 سرحد سے اوپر ذو برق کے خطے کو ظاہر کرتا ہے۔ مساوات 13.213 سے ذو برق کی قدرتی رکاوٹ Z_z

$$\frac{E_x}{H_y} = \frac{\gamma_1}{j\omega \epsilon_1} = Z_z \quad (13.218)$$

لکھی جاسکتی ہے۔ موج کی مقداری مساوات حاصل کرنے کی خاطر مساوات 13.213 سے E_x اور مساوات 13.215 سے E_z کو مساوات 13.211 میں پر کرتے ہوئے

$$-\frac{\gamma_1^2}{j\omega \epsilon_1} H_y - \frac{1}{j\omega \epsilon_1} \frac{\partial^2 H_y}{\partial x^2} + j\omega \mu_1 H_y = 0$$

یعنی

$$\frac{\partial^2 H_y}{\partial x^2} + (\gamma_1^2 + \omega^2 \mu_1 \epsilon_1) H_y = 0$$

یا

$$(13.219) \quad \frac{\partial^2 H_y}{\partial x^2} = k_1^2 H_y$$

حاصل ہوتا ہے جہاں

$$(13.220) \quad k_1^2 = -(\gamma_1^2 + \omega^2 \mu_1 \epsilon_1)$$

کے برابر ہے۔ مساوات 13.219 کا حل

$$H_y = c_1 e^{-k_1 x} + c_2 e^{k_1 x}$$

ہے۔ ذوبرق میں x کی قیمت 0 تا ∞ ممکن ہے۔ اس مساوات میں سرحد سے دور لامحدود فاصلے $\infty \rightarrow x$ پر میدان کی قیمت لامحدود حاصل ہوتی ہے جو ناقابل قبول نتیجہ ہے لہذا اسے رد کرتے ہوئے $c_2 = 0$ لیا جاتا ہے۔ اور یوں

$$(13.221) \quad H_y = c_1 e^{-k_1 x} e^{j\omega t - \gamma_1 z} \quad \text{ذوبرق خط}$$

حاصل ہوتا ہے جہاں موج کو مساوات 13.209 کے طرز پر لکھا گیا ہے۔

موصل خطے کے لئے میکس ویل کے مساوات مندرجہ ذیل ہیں۔

$$(13.222) \quad \gamma_2 E_y + j\omega \mu_2 H_x = 0$$

$$(13.223) \quad -\gamma_2 E_x - \frac{\partial E_z}{\partial x} + j\omega \mu_2 H_y = 0$$

$$(13.224) \quad \frac{\partial E_y}{\partial x} + j\omega \mu_2 H_z = 0$$

$$(13.225) \quad \gamma_2 H_y - (\sigma_2 + j\omega \epsilon_2) E_x = 0$$

$$(13.226) \quad -\gamma_2 H_x - \frac{\partial H_z}{\partial x} - (\sigma_2 + j\omega \epsilon_2) E_y = 0$$

$$(13.227) \quad \frac{\partial H_y}{\partial x} - (\sigma_2 + j\omega \epsilon_2) E_z = 0$$

$$(13.228) \quad \frac{\partial E_x}{\partial x} - \gamma_2 E_z = 0$$

$$(13.229) \quad \frac{\partial H_x}{\partial x} - \gamma_2 H_z = 0$$

موج کی مقداری مساوات حاصل کرنے کی خاطر مساوات 13.225 سے E_x اور مساوات 13.227 سے E_z کو مساوات 13.223 میں پر کرتے ہوئے

$$-\frac{\gamma_2^2}{\sigma_2 + j\omega \epsilon_2} H_y - \frac{1}{\sigma_2 + j\omega \epsilon_2} \frac{\partial^2 H_y}{\partial x^2} + j\omega \mu_2 H_y = 0$$

یعنی

$$\frac{\partial^2 H_y}{\partial x^2} + [\gamma_2^2 - j\omega \mu_2 (\sigma_2 + j\omega \epsilon_2)] H_y = 0$$

یا

$$(13.230) \quad \frac{\partial^2 H_y}{\partial x^2} = k_2^2 H_y$$

حاصل ہوتا ہے جہاں

$$(13.231) \quad k_2^2 = -\gamma_2^2 + \gamma_m^2$$

$$(13.232) \quad \gamma_m^2 = j\omega\mu_2 (\sigma_2 + j\omega\epsilon_2)$$

4580

کے برابر ہیں۔

مساوات 13.230 کا حل

$$H_y = c_3 e^{-k_2 x} + c_4 e^{k_2 x}$$

ہے۔ موصل میں x کی قیمت 0 تا ∞ ممکن ہے۔ اس مساوات میں سرحد سے دور لامحدود فاصلے $-\infty \rightarrow x$ پر میدان کی قیمت لامحدود حاصل ہوتی ہے جو ناقابل قبول نتیجہ ہے لہذا اسے رد کرتے ہوئے $c_3 = 0$ لیا جاتا ہے اور یوں

$$(13.233) \quad H_y = c_4 e^{k_2 x} e^{j\omega t - \gamma_2 z} \quad \text{موصل خطہ}$$

4581

حاصل ہوتا ہے جہاں موج کو مساوات 13.209 کے طرز پر لکھا گیا ہے۔

مقناطیسی سرحدی شرط کے تحت سرحد کے دونوں اطراف تمام اوقات متوازی مقناطیسی میدان برابر ہوں گے لہذا $0 = x$ پر کسی بھی z پر تمام t کے لئے مساوات 13.221 اور مساوات 13.233 برابر ہوں گے جس سے

$$(13.234) \quad \gamma_1 = \gamma_2$$

$$(13.235) \quad c_1 = c_4 = H_{y0}$$

حاصل ہوتے ہیں جہاں مستقل c_1 اور مستقل c_4 کو H_{y0} لکھا گیا ہے۔ ان حقائق کو استعمال کرتے ہوئے ذوبرق میں مساوات 13.213 سے E_x اور مساوات 13.215 سے E_z حاصل ہوتے ہیں۔

$$(13.236) \quad \begin{aligned} E_x &= \frac{\gamma_1 H_{y0}}{j\omega\epsilon_1} e^{-k_1 x} e^{j\omega t - \gamma_1 z} \\ E_z &= \frac{-k_1 H_{y0}}{j\omega\epsilon_1} e^{-k_1 x} e^{j\omega t - \gamma_1 z} \end{aligned} \quad \text{ذوبرق خطہ}$$

اسی طرح ان حقائق کو استعمال کرتے ہوئے موصل میں مساوات 13.225 سے E_x اور مساوات 13.227 سے E_z یوں حاصل ہوتے ہیں۔

$$(13.237) \quad \begin{aligned} E_x &= \frac{\gamma_1 H_{y0}}{\sigma_2 + j\omega\epsilon_2} e^{k_2 x} e^{j\omega t - \gamma_1 z} \\ E_z &= \frac{k_2 H_{y0}}{\sigma_2 + j\omega\epsilon_2} e^{k_2 x} e^{j\omega t - \gamma_1 z} \end{aligned} \quad \text{موصل خطہ}$$

4582

حاصل ہوتے ہیں جہاں $c_4 = c_1 = H_{y0}$ اور $\gamma_2 = \gamma_1$ پرکئے گئے ہیں۔

سرحد کے دونوں اطراف متوازی برقی میدان برابر ہونے کی شرط سے $0 = x$ پر دونوں اطراف E_z برابر ہوں گے جس سے

$$\frac{-k_1}{j\omega\epsilon_1} = \frac{k_2}{\sigma_2 + j\omega\epsilon_2}$$

یعنی

$$(13.238) \quad k_1 = \frac{-j\omega\epsilon_1}{\sigma_2 + j\omega\epsilon_2} k_2$$

حاصل ہوتا ہے۔ مساوات 13.220 سے

$$\begin{aligned}\gamma_1^2 &= -\omega^2 \mu_1 \epsilon_1 - k_1^2 \\ &= -\omega^2 \mu_1 \epsilon_1 + \left(\frac{\omega \epsilon_1}{\sigma_2 + j\omega \epsilon_2} \right)^2 k_2^2 \\ &= -\omega^2 \mu_1 \epsilon_1 + \left(\frac{\omega \epsilon_1}{\sigma_2 + j\omega \epsilon_2} \right)^2 (-\gamma_2^2 + \gamma_m^2)\end{aligned}$$

لکھا جاسکتا ہے جہاں پہلے قدم پر مساوات 13.238 اور دوسرے قدم پر مساوات 13.231 کا استعمال کیا گیا ہے۔ اس میں مساوات 13.234 سے $\gamma_2 = \gamma_1$ پر کرتے ہوئے

$$(13.239) \quad \gamma_1 = \sqrt{\frac{-\omega^2 \mu_1 \epsilon_1 + \left(\frac{\omega \epsilon_1}{\sigma_2 + j\omega \epsilon_2} \right)^2 \gamma_m^2}{1 + \left(\frac{\omega \epsilon_1}{\sigma_2 + j\omega \epsilon_2} \right)^2}}$$

4583

حاصل ہوتا ہے۔

مساوات 13.236 میں E_x سرحد کے عمودی ہے جبکہ E_z سرحد کے متوازی ہے۔ کل برقی میدان ان دونوں کا سمتی مجموعہ ہوگا۔ آپ دیکھ سکتے ہیں کہ کل میدان حرکت کی سمت میں جھکا ہوگا۔ شکل 13.16-ب میں ایسا دکھایا گیا ہے۔ جھکنے کا زاویہ

$$(13.240) \quad \theta = \tan^{-1} \left| \frac{E_z}{E_x} \right| = \tan^{-1} \left| \frac{-k_1}{\gamma_1} \right|$$

4584

ہوگا۔

4585

آئیں چند مخصوص سرحدوں پر موج کے جھکاؤ کا زاویہ حاصل کریں۔

ہوا اور تانبے کے سرحد پر $\omega = 100 \text{ Mrad/s}$ تعدد کے موج کی بات کرتے ہوئے

$$\begin{aligned}\epsilon_1 &= \epsilon_2 = \epsilon_0 \\ \mu_1 &= \mu_2 = \mu_0 \\ \sigma_2 &= 5.8 \times 10^7\end{aligned}$$

سے

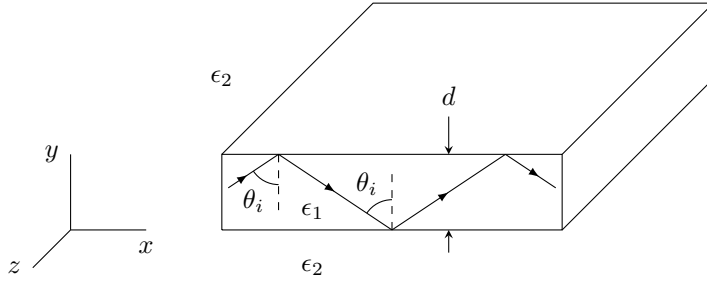
$$\begin{aligned}\gamma_1 &= \gamma_2 = j0.33356 \\ k_1 &= 0.9215(1 - j) \times 10^{-6} \\ k_2 &= 6.038(1 - j) \times 10^4\end{aligned}$$

حاصل ہوتے ہیں جن سے

$$\theta = \tan^{-1} \left| \frac{0.9215(1 - j) \times 10^{-6}}{j0.33356} \right| = 0.00022385^\circ$$

زاویہ حاصل ہوتا ہے۔ اس نتیجے سے آپ دیکھ سکتے ہیں کہ موصل کے سرحد پر برقی میدان تقریباً عمودی ہی ہوتا ہے۔ برقی میدان کا عمودی یعنی E_x حصہ حرکتی موج کی سمت میں طاقت منتقل کرتا ہے جبکہ E_z حصہ موصل میں طاقت منتقل کرتا ہے جو ضائع ہو جاتا ہے۔

4587



شکل 13.17: ذو برق تختی موج میں اندرونی مکمل انعکاس سے موج صفر کرتی ہے۔

ہوا اور پانی $\epsilon_R = 78$ کے سرحد پر $\omega = 100 \text{ Mrad/s}$ تعدد کے موج کی بات کرتے ہوئے

$$\epsilon_1 = \epsilon_0$$

$$\epsilon_2 = 78\epsilon_0$$

$$\mu_1 = \mu_2 = \mu_0$$

$$\sigma_2 = 0$$

سے

$$\gamma_1 = \gamma_2 = j0.33144$$

$$k_1 = j0.037528$$

$$k_2 = 2.9272$$

حاصل ہوتے ہیں جو

$$\theta = \tan^{-1} \left| \frac{j0.037528}{j0.33144} \right| = 6.46^\circ$$

زاویہ دیتا ہے۔ ہوا اور پانی کے سرحد پر برقی میدان کی جھکاؤ باآسانی ناپی جاسکتی ہے۔

4588

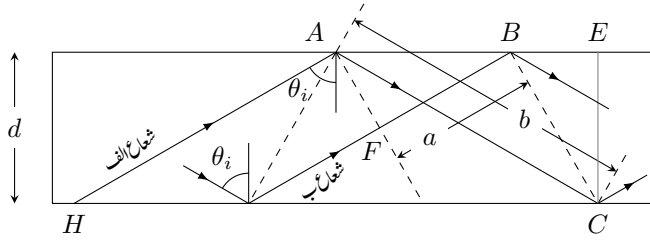
13.9 ذو برق تختی موج

4589

اب تک ہم موصل چادروں سے بنائے گئے موج پر غور کرتے رہے ہیں۔ اس حصے میں ذو برق سے بنائے گئے موج پر غور کیا جائے گا۔ شکل 13.17 میں d موٹائی اور لامحدود وسعت کے ذو برق کا تختہ دکھایا گیا ہے۔ اس تختے میں بائیں طرف سے TEM موج داخل کی جاتی ہے۔ ہم تختے میں پیدا کردہ موج کی حرکت پر غور کریں گے۔ یہ موج تختے میں بائیں سے دائیں یعنی بڑھتے x جانب حرکت کرے گی۔ جب تک ذو برق کے نچلے اور بالائی سطحوں پر آمدی زاویہ کی قیمت فاصلہ زاویے سے زیادہ ہو، موج مکمل اندرونی انعکاس کرے گی۔ یوں ذو برق میں بار بار انعکاس کرتے ہوئے موج صفر کرے گی۔ ایسا معلوم ہوتا ہے جیسے دو متوازی موصل چادروں کے درمیان موج انعکاس کر رہی ہے۔ حقیقت میں موصل چادروں کی صورت میں چادر پر متوازی برقی میدان صفر ہوگا جبکہ ذو برق میں مکمل اندرونی انعکاس کی صورت میں ایسا نہیں ہوتا۔ ذو برق کے باہر میدان لامحدود فاصلے تک پہنچتا ہے البتہ ایسا میدان سرحد سے دور جلد قابل نظر انداز حد تک گھٹ جاتا ہے۔ یوں میدان ذو برق کے انتہائی قریب ہی رہتا ہے۔

4596

اگرچہ ایسا معلوم ہوتا ہے کہ جب تک آمدی زاویہ، فاصلہ زاویے سے زیادہ ہو، موج ذو برق میں صفر کر پائے گی، حقیقت میں ایسا نہیں ہوتا۔ موج مخصوص زاویوں پر ہی صفر کر پاتی ہے۔ آئیں اس کی وجہ پر غور کریں۔ شکل کو دیکھتے ہوئے، دو TEM امواج پر نظر رکھیں جن کی تعدد برابر ہے۔ دونوں فاصلہ زاویے سے زیادہ زاویے



شکل 13.18: ذو برق تختے کے اندرونی سطح پر ممکنہ آمدی زاویے۔

پر آمد ہیں یعنی $\theta_i > \theta_{ic}$ ہے۔ یوں

$$(13.241) \quad \theta_i > \theta_{ic} = \sin^{-1} \sqrt{\frac{\epsilon_2}{\epsilon_1}} = \sin^{-1} \frac{n_2}{n_1}$$

ہوگا جہاں

$\epsilon_1 > \epsilon_2$ اور

ϵ_1 ذو برق تختے کا برقی مستقل،

ϵ_2 ذو برق تختے کے اوپر اور نیچے خطوں کا برقی مستقل

ہیں۔

شکل 13.18 میں شعاعوں کو ٹھوس لکیر جبکہ موج کی چوٹیوں کو نقطہ دار لکیروں سے ظاہر کیا گیا ہے۔ موج کی ترسیل کے لئے ضروری شرط یہ ہے کہ پہلی موج کا زاویائی فاصلہ a دوسری موج کے زاویائی فاصلے b کے برابر ہو اور یا ان میں فرق $2m\pi$ ہو جہاں $m = 0, 1, 2, \dots$ ممکن ہے۔ زاویائی فاصلے ناپتے وقت انعکاس سے پیدا ہونے والی فرق کا بھی حساب رکھا جائے گا۔ اس شرط کو یوں لکھا جاسکتا ہے

$$(13.242) \quad \frac{2\pi}{\lambda_0} n_1 (b - a) + \phi = 2m\pi$$

جہاں

$$m = 0, 1, 2, \dots$$

n_1 پہلے خطے کا انحرافی مستقل $\sqrt{\epsilon_{R1}}$ جبکہ

ϕ سطح سے انعکاس پر زاویائی فرق،

λ_0 خالی خلاء میں طول موج

ہیں۔ شکل 13.18 کو دیکھ کر

$$(13.243) \quad b = \frac{d}{\cos \theta_i}$$

لکھا جاسکتا ہے۔ اسی طرح تکون ΔAEC ، تکون ΔBEC اور تکون ΔAFB سے بالترتیب

$$AB + BE = d \tan \theta_i$$

$$\tan \theta_i = \frac{d}{BE}$$

$$\sin \theta_i = \frac{a}{AB}$$

لکھے جاسکتے ہیں۔ یوں مساوات 13.242 کو

$$(13.244) \quad \frac{2\pi n_1 d}{\lambda_0} \left[\frac{1}{\cos \theta_i} - \sin \theta_i \left(\tan \theta_i - \frac{1}{\tan \theta_i} \right) \right] + \phi = 2m\pi$$

لکھا جاسکتا ہے جس کی سادہ صورت

$$(13.245) \quad \frac{4\pi n_1 d \cos \theta_i}{\lambda_0} + \phi = 2m\pi$$

ہے۔ عمودی برقی میدان E_{\perp} کو لے کر آگے بڑھتے ہیں۔ صفحہ 433 پر مساوات 12.30 کو یوں بھی لکھا جاسکتا ہے

$$(13.246) \quad \Gamma_{\perp} = \frac{\cos \theta_i - j \sqrt{\sin^2 \theta_i - \frac{\epsilon_2}{\epsilon_1}}}{\cos \theta_i + j \sqrt{\sin^2 \theta_i - \frac{\epsilon_2}{\epsilon_1}}} = 1/\phi$$

جہاں

$$(13.247) \quad \phi = -2 \tan^{-1} \frac{\sqrt{\sin^2 \theta_i - \frac{\epsilon_2}{\epsilon_1}}}{\cos \theta_i}$$

کے برابر ہے۔

اس طرح شرح انعکاس Γ کی حتمی قیمت اکائی ہے جبکہ انعکاس سے پیدا زوایائی فرق ϕ ہے۔ مساوات 13.246 کو مساوات 13.245 میں پر کرتے ہوئے

$$(13.248) \quad \frac{4\pi n_1 d \cos \theta_i}{\lambda_0} - 2m\pi = 2 \tan^{-1} \frac{\sqrt{\sin^2 \theta_i - \frac{\epsilon_2}{\epsilon_1}}}{\cos \theta_i}$$

یا

$$(13.249) \quad \tan \left(\frac{2\pi n_1 d \cos \theta_i}{\lambda_0} - m\pi \right) = \frac{\sqrt{n_1^2 \sin^2 \theta_i - n_2^2}}{n_1 \cos \theta_i}$$

حاصل ہوتا ہے جہاں

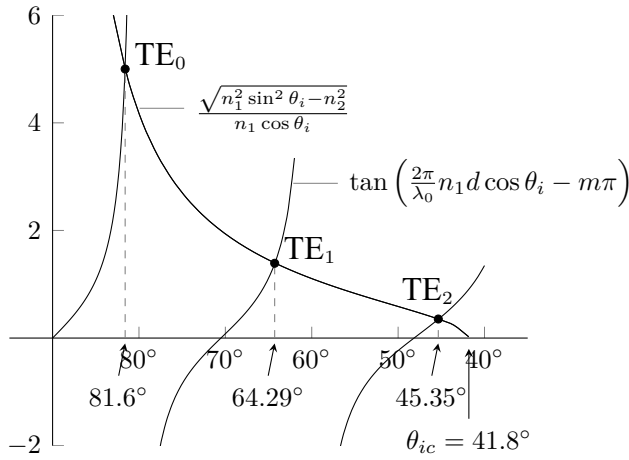
$$m = 0, 1, 2, 3, \dots$$

n_1 پہلے خطے کا انحرافی مستقل $\sqrt{\epsilon_{R1}}$ ہے،

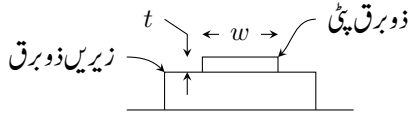
n_2 ذوبرق تختے سے اوپر اور اس سے نیچے خطے کا انحرافی مستقل $\sqrt{\epsilon_{R2}}$ ہے،

d ذوبرق تختے کی موٹائی،

θ_i آمدی زاویہ اور



شکل 13.19: تختی موج میں شعاع کے ممکنہ زاویے۔



شکل 13.20: ذو برق پٹی موج

λ_0 لامحدود خطے میں طول موج

ہیں۔

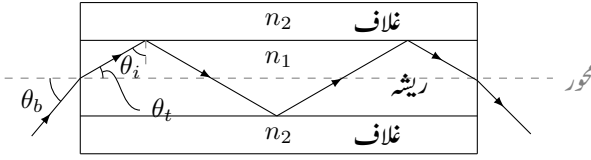
چادر کی چوڑائی کم کرتے ہوئے w کرنے سے ذو برقی پٹی موج حاصل ہوتا ہے جسے شکل 13.20 میں دکھایا گیا ہے جہاں $t \ll w$ ہے۔ ذو برقی پٹی سے کم انحرافی مستقل کے زیریں ذو برقی¹⁹ پر عموماً یہ نسب کئے جاتے ہیں۔

مثال 13.4: ذو برق کے 10 mm موٹی تختے کو بطور موج استعمال کیا جا رہا ہے۔ اس تختے کا انحرافی مستقل $n_1 = 1.5$ ہے جبکہ تختے سے اوپر اور نیچے خطے کا انحرافی مستقل $n_2 = 1$ ہے۔ برقی میدان تختے کے متوازی ہے یعنی شکل 13.17 میں x سمت کو ہے۔ طول موج $\lambda_0 = 10$ mm کی صورت میں آمدی لہ آویہ حاصل کریں۔

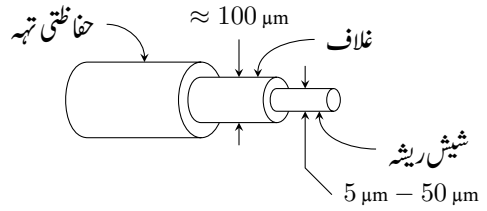
حل: برقی میدان تختے کے متوازی لیکن موج کے حرکت کی سمت کے عمودی ہے۔ مساوات 13.241 سے زاویہ فاصل

$$(13.250) \quad \theta_{ic} = \sin^{-1} \frac{1}{1.5} = 41.8^\circ$$

حاصل ہوتا ہے۔ زاویہ θ_{ic} سے زیادہ رکھتے ہوئے، مساوات 13.249 کے بائیں اور دائیں ہاتھ کو شکل 13.19 میں کھینچا گیا ہے جس سے ممکنہ زاویے 45.35° ، 64.29° اور 81.6° حاصل ہوتے ہیں۔ یہ زاویہ TE_0 ، TE_1 اور TE_2 امواج کے لئے ہیں۔ تینوں امواج یک وقت موج میں پائے جاسکتے ہیں۔ تختے کی موٹائی کم یا زیادہ کرنے سے امواج کی ممکنہ تعداد بالترتیب زیادہ یا کم ہوگی۔ اسی طرح طول موج زیادہ (کم) کرنے سے ممکنہ امواج کی تعداد کم (زیادہ) ہوگی۔ ہاں کسی بھی صورت کم از کم ایک موج ضرور ممکن ہوگی لہذا تعدد کم کرتے کرتے صفر تک پہنچتے ہوئے بھی کوئی نہ کوئی موج ضرور ممکن ہوگی۔



ب: شیش ریشے میں شعاع کے زاویے



الف: شیش ریشے کی بنیادی ساخت

شکل 13.21: شیش ریشے کی ساخت اور ممکنہ آمدی زاویے

13.10 شیش ریشہ

ذو برق تختی موج پر غور کے بعد ذو برق نلکی موج پر غور کرتے ہیں۔ ذرائع ابلاغ کے نظام میں اس طرز کے نلکی موج جنہیں **شیش ریشہ**²⁰ کہتے ہیں، عام استعمال ہوتا ہے۔ بصری طول موج یا اس کے قریب طول موج پر استعمال کئے جانے والے نلکی موج کا رداس انتہائی کم ہوتا ہے۔ یہ n_1 شرح انحراف کے انتہائی شفاف ریشے سے بنایا جاتا ہے جسے قدر کم شرح انحراف n_2 کے شیشے کا غلاف پہنایا جاتا ہے۔ ان دونوں پر غیر شفاف حفاظتی تہ چڑھائی جاتی ہے۔ شیش ریشے کے مرکزی ریشے کا عمومی قطر $25 \mu\text{m}$ ہے جو انسانی سر کے بال جتنی موٹائی ہے۔ ایک شیش ریشہ ہزار سے زائد طرفہ گفتگو کی ترسیل کرنے کی صلاحیت رکھتا ہے۔ روشنی یا زیریں بصری²¹ شعاعوں کے لئے شیش ریشے کی تضعیفی مستقل $\frac{\text{Np}}{\text{m}} \times 10^{-4} \times 1.15$ کے برابر ہوتی ہے جو ایک انتہائی کم مقدار ہے۔ بصری اور زیریں بصری شعاعوں کے طول موج تقریباً 400 nm تا 1000 nm ہے۔

شکل 13.21-الف میں شیش ریشے کی ساخت دکھائی گئی ہے۔ اندرونی شفاف ریشے کا انحرافی مستقل n_1 جبکہ غلاف کا انحرافی مستقل n_2 ہے۔ ارد گرد خلاء کا انحرافی مستقل n_0 ہے۔ جیسے شکل 13.21-ب میں دکھایا گیا ہے، بیرون تار محور کے ساتھ θ_b زاویے پر آمدی شعاع تار کے اندر θ_i زاویے پر داخل ہوگا۔ یوں شفاف ریشے اور غلاف کی سرحد پر شعاع کا زاویہ θ_i ہوگا۔ بیرونی اور اندرونی زاویوں کا تعلق ابن سہل کا قانون

$$(13.251) \quad \frac{\sin \theta_t}{\sin \theta_b} = \frac{n_0}{n_1}$$

دیتا ہے۔ جب تک مرکزی ریشے اور غلاف کے سرحد پر آمدی زاویہ θ_i ، فاصل زاویے θ_{ic} سے زیادہ ہو، شعاع مکمل اندرونی انعکاس کرے گی۔ شیش ریشے اور غلاف کی سرحد پر قانون ابن سہل

$$(13.252) \quad \sin \theta_{ic} = \frac{n_2}{n_1}$$

سے فاصل زاویہ θ_{ic} حاصل ہوتا ہے۔ یوں

$$\sin \theta_b = \frac{n_1}{n_0} \sin \theta_t = \frac{n_1}{n_0} \sin(90^\circ - \theta_{ic}) = \frac{n_1}{n_0} \cos \theta_{ic}$$

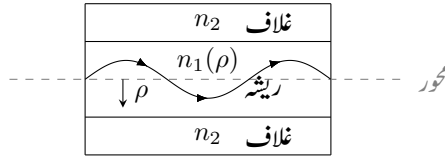
یا

$$(13.253) \quad \sin \theta_b = \frac{\sqrt{n_1^2 - n_2^2}}{n_0}$$

لکھا جاسکتا ہے جہاں

θ_b بیرون تار، محور کے ساتھ آمدی زاویہ،

optical fiber²⁰
infrared²¹



شکل 13.22: رداسی سمت ρ میں انحرافی مستقل مسلسل کم ہونے سے موج ہموازی کے ساتھ مڑتی ہے۔

n_1 شیش ریشہ کا انحرافی مستقل،

n_2 شیش ریشہ پر چڑھائی تہہ کا انحرافی مستقل اور

n_0 تار کے گرد خطے کا انحرافی مستقل

ہیں۔ خالی خلاء یا ہوا کی صورت میں $n_0 = 1$ ہو گا لہذا

$$\sin \theta_b = \sqrt{n_1^2 - n_2^2} \quad (13.254)$$

ہو گا۔

شیش ریشہ اور غلاف کے انحرافی مستقل تقریباً $n_1 = 1.485$ اور $n_2 = 1.485$ ہوتے ہیں جس سے $\theta_b = 12.2^\circ$ حاصل ہوتا ہے۔ یوں جو شعاع شیش ریشہ کے محور پر $\theta_b < 12.2^\circ$ سے آمد ہو شیش ریشہ میں پھنس جائے گی۔ یہ شعاع شیش ریشہ میں بار بار مکمل اندرونی انعکاس کرتے ہوئے صفر کرے گی۔ شیش ریشہ میں کئی بلند انداز شعاع ممکن ہیں اور تختی موج کی طرح یہاں بھی ایک عدد بلند درجی انداز ایسا ہے جس کا کوئی انقطاعی تعدد نہیں پایا جاتا۔ یوں اگر

$$\lambda_0 > \frac{2\pi a \sqrt{n_1^2 - n_2^2}}{k_{01}} = \frac{2\pi a n_1 \cos \theta_{ic}}{k_{01}} \quad (13.255)$$

ہو جہاں

k_{01} صف درجی۔ بیسل تفاعل J_0 کا پہلا صفر $k_{01} = 2.405$ ہے،

λ_0 لامحدود خلاء میں طول موج

a شیش ریشہ کا رداس

n_1 شیش ریشہ کا انحرافی مستقل

n_2 شیش ریشہ پر چڑھی تہہ کا انحرافی مستقل

θ_{ic} شیش ریشہ اور اس پر چڑھی تہہ کے سرحد پر فاصل آمدی زاویہ

کے برابر ہیں تب صرف ایک عدد بلند درجی موج شیش ریشہ میں پائی جائے گی۔ اس صورت میں شیش ریشہ اکائی بلند درجی انداز رکھتی ہے۔

اگر شفاف ریشہ کا انحرافی مستقل محور سے رداسی سمت گھٹتا ہو تب شعاع کی راہ سرحد پر انعکاس سے اچانک تبدیل ہونے کی بجائے ہموازی کے ساتھ بھڑے گی۔ یوں شعاع کبھی بھی ریشہ اور غلاف کے سرحد کو نہیں چھوئے گی۔ شکل 13.21-ب اور شکل 13.22 میں دونوں صورت حال دکھائے ہیں۔

شیش ریشہ پر بنی ذرائع ابلاغ کا نظام شکل میں دکھایا گیا ہے۔ ایک جانب **نوری ڈایوڈ**²² یا **لیزر**²³ برقی اشارے کو شعاع میں تبدیل کرتے ہوئے شیش ریشہ میں خارج کرتا ہے۔ دوسری جانب یہی شعاع شیش ریشہ سے خارج ہو کر نوری ٹرانزسٹر پر چمکتی ہے جو اسے واپس برقی اشارے میں تبدیل کرتا ہے۔

4651

عمومی شیش ریشہ میں کم سے کم تضعیف 700 nm تا 1100 nm زیریں بصری طول موج پر پائی جاتی ہے۔ انسانی آنکھ 400 nm تا 700 nm طول موج دیکھنے کی صلاحیت رکھتی ہے۔

4653

شیش ریشہ 5 μm تا 50 μm قطر کے پائے جاتے ہیں جو کئی زیریں بصری طول موج کے برابر ہے لہذا اس سے شعاعی اخراج نہایت کم ہوتا ہے۔ قطر کم آنکھ یا طول موج بڑھانے سے شعاعی اخراج بڑھتا ہے۔ ایسے شیش ریشہ جن کا انحرافی مستقل 1.5 کے لگ بھگ ہو اور ان کا قطر اکائی طول موج سے زیادہ ہو بطور موج کردار ادا کرتے ہیں جبکہ اکائی طول موج سے کم قطر کے شیش ریشوں میں توانائی بیرون ریشہ سطح کے قریب رہتے ہوئے صفر کرتی ہے لہذا ان سے زیادہ شعاعی اخراج ہوتا ہے۔ یوں اگر اکائی طول موج سے زیادہ قطر کے شیش ریشے کا قطر کم ہوتے ہوتے اکائی طول موج سے کم ہو جائے تو توانائی شیش ریشہ کے اندر سے باہر منتقل ہوگی اور ساتھ ہی ساتھ محوری سمت میں شعاعی اخراج بھی پایا جائے گا۔ ایسا شیش ریشہ بطور **محوری لینٹینا**²⁴ کردار ادا کرے گا۔

4658

13.11 پردہ بصارت

4659

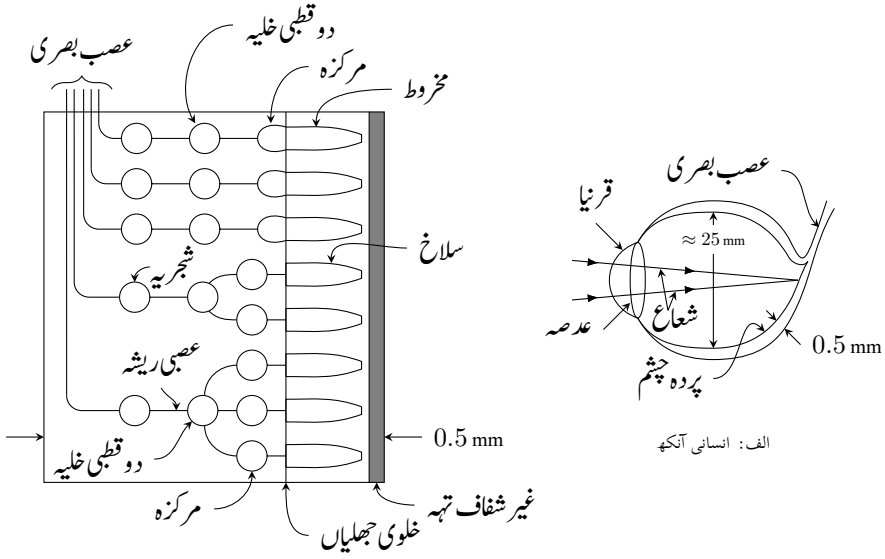
انسانی آنکھ میں 10^8 سے زائد شیش ریشے پائے جاتے ہیں جو ناصر ف بطور موج کام کرتے ہیں بلکہ یہ **ضیائی ذرے** یعنی **فونان**²⁵ پکڑنے کا کام بھی سرانجام دیتے ہیں۔ آنکھ میں دو اقسام کے شیش ریشے پائے جاتے ہیں۔ آنکھ کے درمیانے خطے میں مخروط شکل کے جبکہ اطراف پر نسبتاً زیادہ تعداد میں سلاخ نما شیش ریشے پائے جاتے ہیں جنہیں بالترتیب **مخروطے**²⁶ اور **سلاخ**²⁷ کہا جاتا ہے۔ تقریباً ہر مخروط علیحدہ علیحدہ انفرادی ترسیلی **عصبی ریشہ**²⁸ کے ذریعہ دماغ کے ساتھ منسلک ہوتا ہے جہاں تصویر کشی کا عمل ہوتا ہے۔ مخروطے ہمیں باریک بینی اور رنگ پہچانے کی صلاحیت مہیا کرتے ہیں۔ مخروطوں کے برعکس اشکال پہچانے میں سلاخ کم مدد کرتے ہیں لیکن ان کی زیادہ تعداد اور حساس پن تاریکی میں دیکھنا ممکن بناتی ہے۔ دماغ سے جڑی ایک عدد ترسیلی تار کے ساتھ متوازی کئی سلاخ جڑے ہوتے ہیں جس سے کم روشنی میں بینائی مزید بہتر کرتی ہے۔ مرکز نگاہ سے ہٹ کر اطراف کی بینائی بھی سلاخ مہیا کرتے ہیں۔

4665

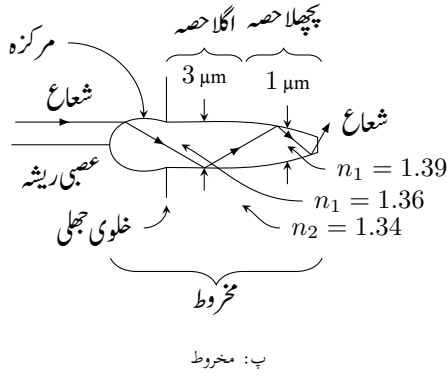
شکل 13.23- الف میں آنکھ کا عمودی تراش دکھایا گیا ہے جس میں **عدسہ چشم**²⁹، **پردہ بصارت**³⁰ اور دماغ کو جاتا **عصب بصری**³¹ دکھائے گئے ہیں۔ شکل 13.23- ب میں پردہ آنکھ کی زیادہ تفصیل دکھائی گئی ہے۔ آنکھ کا پردہ شفاف ہوتا ہے۔ اس میں مخروطے، سلاخ، دو قطبی خلیے³² اور عصبی خلیے³³ پائے جاتے ہیں۔ عصبی خلیہ کے دو اہم جزو **شجرہ**³⁴ اور **عصبی ریشہ** کہلاتے ہیں۔ پردے کے پچھلی سطح پر غیر شفاف تہہ پائی جاتی ہے۔ شکل 13.23- پ میں مخروط کی مزید وضاحت کی گئی ہے۔ مخروط اور سلاخ کے پچھلے دبلے سر کا قطر تقریباً $1 \mu\text{m}$ ، لمبائی بیس گنا زیادہ اور اس کا انحرافی مستقل $n_1 = 1.39$ جبکہ گرد مواد کا انحرافی مستقل n_2 اس سے چند فی صد کم ہوتا ہے۔ یاد رہے کہ ذرائع ابلاغ میں استعمال شیش ریشوں کے انحرافی مستقل $n_1 = 1.46$ اور $n_2 = 1.44$ تقریباً یہی قیمتیں ہیں البتہ مخروط اور سلاخ کے دبلے سر کا قطر 1.5λ تا 2λ ہے جو شیش ریشہ کے قطر سے نسبتاً کم ہے لہذا ان سے شعاعی اخراج زیادہ ہوگا۔

4671

light emitting diode, LED²²laser²³end-fire antenna²⁴photon²⁵cones²⁶rods²⁷axon²⁸lens²⁹retina³⁰optic nerve³¹bipolar cells³²nerve cells³³dendrite³⁴



ب: آنکھ کا پردہ



شکل 13.23: انسانی آنکھ اور اس کی تفصیل

مخروط یا سلاخ کا مرکزہ³⁵ بطور عددہ چشم کردار ادا کرتا ہے۔ شعاع مخروط یا سلاخ میں بار بار مکمل اندرونی انعکاس سے صفر کرتی ہے اور جو فونان پچھلے دبلے حصے میں جذب نہ ہو پائے وہ پردے پر غیر شفاف تہہ تک پہنچتی ہے۔ انسانی آنکھ میں غیر شفاف تہہ فونان جذب کرتی ہے جبکہ رات کی تاریکی میں شکار کرنے والے جانور، مثلاً بلی، کی آنکھ میں غیر شفاف تہہ کی جگہ انعکاسی مادے کی تہہ پائی جاتی ہے جو فونان کو واپس مخروط یا سلاخ میں بھیجتی ہے جس سے ان کی بینائی مزید بہتر ہوتی ہے۔

مخروط کے اگلے حصے میں $n_1 = 1.36$ جبکہ پچھلے حصے میں $n_1 = 1.39$ ہے۔ یوں اگرچہ مخروط میں لمبائی کی جانب انحرافی مستقل تبدیل ہوتا ہے لیکن یاد رہے کہ اس کی قیمت بیرونی مادے کی انحرافی مستقل سے زیادہ رہتی ہے۔

4676

مخروط یا سلاخ کے پچھلے حصے کے مائیکوول ضیائی ذرہ پکڑتے ہیں۔ فونان پکڑنے سے برقی رو پیدا ہوتی ہے جو دو قطبی غلیے تک پہنچتی ہے۔ دو قطبی خلیہ مختصر دورانیہ کی موج پیدا کرتی ہے جو عصب بصری کے ذریعہ دماغ تک اشارہ پہنچاتی ہے۔ یوں مخروط یا سلاخ محوری اینٹینا کی طرح ہیں البتہ ان میں 10^{15} Hz تعدد کے فونان پکڑنے اور اس کے عوض مختصر دورانیہ کا عددی اشارہ پیدا کرنے کی صلاحیت بھی پائی جاتی ہے۔

4679

13.12 گھمکی خلاء

موج کا مقصد طاقت کی منتقلی ہے۔ اس کے برعکس گھمکیا طاقت ذخیرہ کرتا ہے۔ گھمکیا کو امالہ اور کپیسٹر کے گھمکی دور³⁶ کی طرح تصور کیا جاسکتا ہے۔ شکل میں امالہ اور کپیسٹر کا دور دکھایا گیا ہے جس کی گھمکی تعدد $\omega = \frac{1}{\sqrt{LC}}$ ہے۔ اس دور کے گھمکی تعدد کو بڑھانے کی خاطر امالہ اور کپیسٹر کی قیمت کم کرنی ہوگی۔ شکل میں امالہ کے چکر کم کرتے کرتے ایک تک پہنچ گئے ہیں۔ اسی طرح کپیسٹر کی قیمت کم کرنے کی خاطر اس کے دو چادروں کو دور کر دیا گیا ہے۔ متوازی امالہ جوڑنے سے کل امالہ کم ہوتی ہے۔ شکل-پ میں مزید امالہ متوازی جوڑ کر یہی کرنے کی کوشش کی گئی ہے۔ متوازی امالہ جوڑنے کی حد شکل-ت میں دکھائی گئی ہے جہاں کپیسٹر اور امالہ مل کر بند ڈبے کی شکل اختیار کر گئے ہیں۔ یہی بند ڈبہ گھمکی خلاء³⁷ کہلاتی ہے۔

4685

آئیں مستطیلی گھمکی خلاء پر تفصیلی بحث کریں۔ صفحہ 461 پر مساوات 13.78 تا مساوات 13.83 مستطیلی موج میں تمام میدان دیتے ہیں۔ ان میں $\gamma = j\beta$ لیتے ہوئے یہاں دوبارہ پیش کیا گیا ہے جہاں H_y کے مساوات میں $H_{y0} = \frac{\gamma H_0}{k^2} \frac{n\pi}{y_1} = H_{y0}$ لکھا گیا ہے اور یہی طریقہ کار باقی مساوات پر بھی لاگو کیا گیا ہے تاکہ صرف ضروری معلومات پر توجہ رہے۔ مثبت x جانب حرکت کرتے میدان مثلاً H_x^+ پر زیر بالا + لکھ کر حرکت کی سمت بتلائی گئی ہے۔

$$(13.256) \quad H_x^+ = H_{x0} \cos \frac{n\pi y}{y_1} \cos \frac{m\pi z}{z_1} e^{j(\omega t - \beta x)}$$

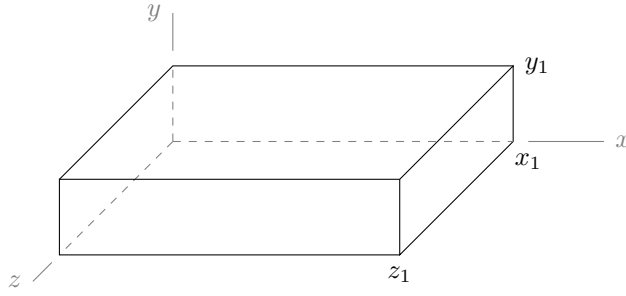
$$(13.257) \quad H_y^+ = H_{y0} \sin \frac{n\pi y}{y_1} \cos \frac{m\pi z}{z_1} e^{j(\omega t - \beta x)}$$

$$(13.258) \quad H_z^+ = H_{z0} \cos \frac{n\pi y}{y_1} \sin \frac{m\pi z}{z_1} e^{j(\omega t - \beta x)}$$

$$(13.259) \quad E_z^+ = -E_{z0} \sin \frac{n\pi y}{y_1} \cos \frac{m\pi z}{z_1} e^{j(\omega t - \beta x)}$$

$$(13.260) \quad E_y^+ = E_{y0} \cos \frac{n\pi y}{y_1} \sin \frac{m\pi z}{z_1} e^{j(\omega t - \beta x)}$$

$$(13.261) \quad E_x^+ = 0$$



شکل 13.24: مستطیلی گھمکیا

اگر موج کو دائیں جانب موصل چادر سے بند کر دیا جائے تو امواج اس بند سرے پر عمودی آمد ہوں گے۔ برقی میدان E_y^+ بند سرے کی چادر کے متوازی ہے لہذا انعکاسی مستقل $\Gamma_{||} = -1$ ہے۔ یوں یہ برقی میدان انعکاس کے بعد منفی x جانب حرکت کرے گا۔ انعکاسی برقی میدان

$$E_y^- = -E_{y0} \cos \frac{n\pi y}{y_1} \sin \frac{m\pi z}{z_1} e^{j(\omega t + \beta x)} \quad (13.262)$$

ہے۔ آمدی اور انعکاسی میدان مل کر ساکن موج

$$\begin{aligned} E_y^+ + E_y^- &= E_{y0} \cos \frac{n\pi y}{y_1} \sin \frac{m\pi z}{z_1} e^{j(\omega t - \beta x)} - E_{y0} \cos \frac{n\pi y}{y_1} \sin \frac{m\pi z}{z_1} e^{j(\omega t + \beta x)} \\ &= E_{y0} \cos \frac{n\pi y}{y_1} \sin \frac{m\pi z}{z_1} e^{j\omega t} (e^{-j\beta x} - e^{j\beta x}) \end{aligned}$$

یعنی

$$E_y = -j2E_{y0} \cos \frac{n\pi y}{y_1} \sin \frac{m\pi z}{z_1} \sin \beta x e^{j\omega t} \quad (13.263)$$

کو جنم دیتے ہیں۔ موصل پر متوازی برقی میدان صفر ہوتا ہے لہذا مساوات 13.263 کا برقی میدان موج کے دائیں بند سرے پر صفر کے برابر ہوگا۔ اسی طرح بند سرے سے $\frac{l\lambda}{2}$ یا $\frac{\lambda}{2}$ فاصلے پر بھی میدان صفر ہوگا جہاں $l = 1, 2, \dots$ ہے۔ یوں بند سرے سے $\frac{l\lambda}{2}$ فاصلے پر موصل چادر رکھنے سے میدان پر کوئی اثر نہیں پڑے گا۔ البتہ E_y^- موج کے بائیں بند سرے سے انعکاس پذیر ہوگا۔ شکل 13.24 میں مستطیلی موج کے دائیں اور بائیں سرے بند کرتے ہوئے بقایا موج کو ہٹا لیا گیا ہے۔ یہ ہند ڈبہ مستطیلی گھمکیا³⁸ ہے۔

4689

شکل 13.24 میں گھمکیا کا بایاں سر $x = 0$ اور دایاں سر $x = x_1$ پر ہیں جہاں دونوں بند سروں کے درمیان فاصلہ

$$x_1 = \frac{l\lambda}{2} \quad (l = 1, 2, 3, \dots) \quad (13.264)$$

ہے۔ اس مساوات کو استعمال کرتے ہوئے

$$\beta x_1 = \frac{2\pi}{\lambda} \frac{l\lambda}{2} = l\pi$$

حاصل ہوتا ہے جس سے

$$\beta = \frac{l\pi}{x_1} \quad (13.265)$$

میتا ہے۔ اس کو استعمال کرتے ہوئے مساوات 13.263

$$(13.266) \quad E_y = -j2E_{y0} \cos \frac{n\pi y}{y_1} \sin \frac{m\pi z}{z_1} \sin \frac{l\pi x}{x_1} e^{j\omega t}$$

لکھا جائے گا۔ اس مساوات میں گھمکیا کے x سمت میں l آدھے طول موج پائے جاتے ہیں، y سمت میں n آدھے طول موج پائے جاتے ہیں اور z سمت میں m آدھے طول موج پائے جاتے ہیں۔

4691

مساوات 13.266 میں $x = x_1$ یا $x = 0$ پر کرتے ہوئے آپ دیکھ سکتے ہیں کہ دونوں بند سطحوں پر برقی میدان صفر کے برابر ہے۔

4692

مساوات 13.86 میں دئے k کو k_{yz} لکھتے

$$(13.267) \quad k_{yz}^2 = \left(\frac{n\pi}{y_1} \right)^2 + \left(\frac{m\pi}{z_1} \right)^2$$

ہوئے اور کامل ذوبق کے لئے $\sigma = 0$ لیتے ہوئے مساوات 13.87

$$k_{yz}^2 = \gamma^2 + \omega^2 \mu \epsilon$$

لکھا جائے گا جہاں $\alpha = 0$ کی صورت میں $\gamma = j\beta$ ہو گا لہذا

$$k_{yz}^2 = -\beta^2 + \omega^2 \mu \epsilon$$

یا

$$\left(\frac{n\pi}{y_1} \right)^2 + \left(\frac{m\pi}{z_1} \right)^2 = - \left(\frac{l\pi}{x_1} \right)^2 + (2\pi f)^2 \frac{1}{(f\lambda)^2}$$

لکھا جاسکتا ہے جس سے گھمکی طول موج

$$(13.268) \quad \lambda_{\text{گھمکی}} = \frac{2\pi}{\sqrt{\left(\frac{n\pi}{y_1} \right)^2 + \left(\frac{m\pi}{z_1} \right)^2 + \left(\frac{l\pi}{x_1} \right)^2}}$$

حاصل ہوتی ہے۔ اس مساوات کو استعمال کرتے ہوئے گھمکیا کا مستقل k یوں

$$(13.269) \quad k_{xyz}^2 = \left(\frac{l\pi}{x_1} \right)^2 + \left(\frac{n\pi}{y_1} \right)^2 + \left(\frac{m\pi}{z_1} \right)^2$$

بیان کیا جاتا ہے جس سے

$$(13.270) \quad \lambda_{\text{گھمکی}} = \frac{2\pi}{k_{xyz}}$$

لکھا جاسکتا ہے۔

4693

یوں گھمکی کے مندرجہ بالا امواج بلند درجی TE_{lmn} کہلائیں گے اور گھمکی طول موج λ_{lmn} لکھی جائے گی۔

4694

13.13 میکس ویل مساوات کا عمومی حل

اس حصے میں مستطیلی گھمکی مکمل طور پر حل کی جائے گی۔ امید کی جاتی ہے کہ آپ اس طریقے کو پسند کریں گے۔

کثافت چارج سے خالی $\rho_h = 0$ خطے کے میکس ویل کے مساوات

$$(13.271) \quad \nabla \times \mathbf{H} = \sigma \mathbf{E} + \epsilon \frac{\partial \mathbf{E}}{\partial t}$$

$$(13.272) \quad \nabla \times \mathbf{E} = -\mu \frac{\partial \mathbf{H}}{\partial t}$$

$$(13.273) \quad \nabla \cdot \mathbf{H} = 0$$

$$(13.274) \quad \nabla \cdot \mathbf{E} = 0$$

سے شروع کرتے ہیں۔ مساوات 13.272 کی گردش لیتے ہوئے حاصل جواب میں مساوات 13.271 اور مساوات 13.274 پر کرنے سے موج کی مساوات

$$\begin{aligned} \nabla \times \nabla \times \mathbf{E} &= \nabla (\nabla \cdot \mathbf{E}) - \nabla^2 \mathbf{E} = -\mu \frac{\partial}{\partial t} (\nabla \times \mathbf{H}) \\ -\nabla^2 \mathbf{E} &= -\mu \sigma \frac{\partial \mathbf{E}}{\partial t} - \mu \epsilon \frac{\partial^2 \mathbf{E}}{\partial t^2} \end{aligned}$$

حاصل ہوتی ہے۔ یہ سمتی مساوات حقیقت میں تین مساوات کو ظاہر کرتی ہے۔ ان میں سے E_x کی مساوات یوں

$$\nabla^2 E_x = \mu \sigma \frac{\partial E_x}{\partial t} + \mu \epsilon \frac{\partial^2 E_x}{\partial t^2}$$

یا

$$(13.275) \quad \frac{\partial^2 E_x}{\partial x^2} + \frac{\partial^2 E_x}{\partial y^2} + \frac{\partial^2 E_x}{\partial z^2} = \mu \sigma \frac{\partial E_x}{\partial t} + \mu \epsilon \frac{\partial^2 E_x}{\partial t^2}$$

لکھی جائے گی جہاں برقی میدان $E_x(x, y, z, t)$ کے چار آزاد متغیرات ہیں۔ **علیحدگی متغیرات**³⁹ استعمال کرتے ہوئے برقی میدان کو دو تفاعل کے حاصل ضرب کے برابر لکھا جاتا ہے

$$(13.276) \quad E_x(x, y, z, t) = M(x, y, z) T(t)$$

جہاں پہلے تفاعل M کے تین آزاد متغیرات x, y, z ہیں جبکہ دوسرے تفاعل T کا صرف t آزاد متغیر ہے۔ یوں مساوات 13.275 سے

$$T \left(\frac{\partial^2 M}{\partial x^2} + \frac{\partial^2 M}{\partial y^2} + \frac{\partial^2 M}{\partial z^2} \right) = M \left(\mu \sigma \frac{\partial T}{\partial t} + \mu \epsilon \frac{\partial^2 T}{\partial t^2} \right)$$

حاصل ہوتا ہے۔ دونوں اطراف کو MT سے تقسیم کرتے ہوئے

$$\frac{1}{M} \left(\frac{\partial^2 M}{\partial x^2} + \frac{\partial^2 M}{\partial y^2} + \frac{\partial^2 M}{\partial z^2} \right) = \frac{1}{T} \left(\mu \sigma \frac{\partial T}{\partial t} + \mu \epsilon \frac{\partial^2 T}{\partial t^2} \right)$$

حاصل ہوتا ہے۔ اس مساوات کا بائیں ہاتھ خلاء کے متغیرات x, y, z پر منحصر ہے جبکہ دایاں ہاتھ وقت t پر منحصر ہے۔ یوں خلاء کے متغیرات تبدیل کرنے سے صرف بائیں ہاتھ تبدیل ہونے کا امکان ہے لیکن بائیں ہاتھ میں تبدیلی کے بعد مساوات کے دونوں اطراف برابر نہیں ہوں گے لہذا یہ لازم ہے کہ مساوات کے دونوں اطراف قابل تبدیل نہ ہوں۔ یوں انہیں مستقل k^2 کے برابر لکھا جاسکتا ہے یعنی

$$\frac{1}{M} \left(\frac{\partial^2 M}{\partial x^2} + \frac{\partial^2 M}{\partial y^2} + \frac{\partial^2 M}{\partial z^2} \right) = \frac{1}{T} \left(\mu \sigma \frac{\partial T}{\partial t} + \mu \epsilon \frac{\partial^2 T}{\partial t^2} \right) = -k^2$$

جس سے دو مساوات

$$(13.277) \quad \mu\epsilon \frac{\partial^2 T}{\partial t^2} + \mu\sigma \frac{\partial T}{\partial t} + k^2 T = 0$$

$$(13.278) \quad \frac{\partial^2 M}{\partial x^2} + \frac{\partial^2 M}{\partial y^2} + \frac{\partial^2 M}{\partial z^2} + k^2 M = 0$$

حاصل ہوتے ہیں۔

مساوات 13.277 کا حل $T = e^{pt}$ فرض کرتے ہوئے

$$(\mu\epsilon p^2 + \mu\sigma p + k^2 T) e^{pt} = 0$$

سے

$$p = \frac{-\sigma \mp \sqrt{\sigma^2 - 4\frac{\epsilon}{\mu}k^2}}{2\epsilon}$$

حاصل ہوتا ہے۔ کامل ذر برق کی صورت میں $\sigma = 0$ ہوگا جس سے

$$(13.279) \quad p = \mp \frac{jk}{\sqrt{\mu\epsilon}}$$

حاصل ہوتا ہے جس سے

$$T(t) = c_{t1} e^{-\frac{jk}{\sqrt{\mu\epsilon}}t} + c_{t2} e^{+\frac{jk}{\sqrt{\mu\epsilon}}t}$$

لکھا جاسکتا ہے جہاں c_{t1}, c_{t2} مساوات کے مستقل ہیں۔ اس میں

$$(13.280) \quad \omega = \frac{k}{\sqrt{\mu\epsilon}}$$

لیتے ہوئے مساوات کی جانی پہچانی شکل

$$(13.281) \quad T(t) = c_{t1} e^{-j\omega t} + c_{t2} e^{j\omega t}$$

حاصل ہوتی ہے۔

مساوات 13.278 کو بھی علیحدگی متغیرات کے طریقے سے حل کرتے ہیں۔ یوں

$$(13.282) \quad M(x, y, z) = X(x)N(y, z)$$

لیتے ہوئے

$$N \frac{\partial^2 X}{\partial x^2} + X \frac{\partial^2 N}{\partial y^2} + X \frac{\partial^2 N}{\partial z^2} + k^2 XN = 0$$

یا

$$\frac{1}{X} \frac{\partial^2 X}{\partial x^2} = -\frac{1}{N} \left(\frac{\partial^2 N}{\partial y^2} + \frac{\partial^2 N}{\partial z^2} \right) - k^2$$

حاصل ہوتا ہے جسے نئے مستقل k_x^2 کے برابر لکھا جاسکتا ہے۔ یوں

$$(13.283) \quad \frac{\partial^2 X}{\partial x^2} + k_x^2 X = 0$$

$$(13.284) \quad \frac{\partial^2 N}{\partial y^2} + \frac{\partial^2 N}{\partial z^2} + (k^2 - k_x^2)N = 0$$

حاصل ہوتے ہیں۔ ان میں دوسرے مساوات میں N کو مزید دو تفاعل کا حاصل ضرب

$$(13.285) \quad N(y, z) = Y(y)Z(z)$$

لکھتے ہوئے

$$Z \frac{\partial^2 Y}{\partial y^2} + Y \frac{\partial^2 Z}{\partial z^2} + (k^2 - k_x^2)YZ = 0$$

یا

$$\frac{1}{Y} \frac{\partial^2 Y}{\partial y^2} = -\frac{1}{Z} \frac{\partial^2 Z}{\partial z^2} - k^2 + k_x^2$$

لکھا جاسکتا ہے۔ اس کو نئے مستقل k_y^2 کے برابر پر کرتے ہوئے دو مساوات

$$(13.286) \quad \frac{\partial^2 Y}{\partial y^2} = -k_y^2 Y$$

$$(13.287) \quad \frac{\partial^2 Z}{\partial z^2} = -(k^2 - k_x^2 - k_y^2)Z = -k_z^2 Z$$

حاصل ہوتے ہیں جہاں آخری قدم پر $(k^2 - k_x^2 - k_y^2 = k_z^2)$ یا

$$(13.288) \quad k^2 = k_x^2 + k_y^2 + k_z^2$$

لیا گیا ہے۔ مساوات 13.283، مساوات 13.286 اور مساوات 13.287 کے حل

$$(13.289) \quad X(x) = c_{x1}e^{-jk_x x} + c_{x2}e^{jk_x x} = c'_{x1} \cos k_x x + c'_{x2} \sin k_x x$$

$$(13.290) \quad Y(y) = c_{y1}e^{-jk_y y} + c_{y2}e^{jk_y y} = c'_{y1} \cos k_y y + c'_{y2} \sin k_y y$$

$$(13.291) \quad Z(z) = c_{z1}e^{-jk_z z} + c_{z2}e^{jk_z z} = c'_{z1} \cos k_z z + c'_{z2} \sin k_z z$$

4699

ہیں۔

مساوات 13.282، مساوات 13.285 اور مساوات 13.276 سے ظاہر ہے کہ

$$(13.292) \quad E_x(x, y, z, t) = TXYZ$$

کے برابر ہے۔ مساوات 13.292 میکس ویل مساوات کا عمومی حل ہے جو کسی ایک خطے میں ہر ممکنہ E_x موج کو ظاہر کرتی ہے۔ اصل موج اس مساوات کا حقیقی جزو ہوگا۔

4701

اب تک k پر کوئی شرط عائد نہیں کی گئی۔ یوں $k_x = 0.32$ یا $k_x = -7.59$ ہو سکتا ہے۔ مندرجہ بالا مساوات لامحدود خطے میں مکمل آزاد موج کو ظاہر کرتی ہے۔ انہیں اب موج کو پابند کر کے دیکھیں۔

4703

تصور کریں کہ لا محدود وسعت کے دو متوازی موصل چادروں کے درمیان موج پیدا کی جاتی ہے۔ صفحہ 448 پر شکل 13.1 میں ایسا دکھایا گیا ہے۔ ان موصل چادروں پر متوازی برقی دباؤ صفر ہوگا۔ یوں $z = 0$ اور $z = z_0$ پر $E_x = 0$ صفر ہوگا۔ ہم اس ترکیب کو کئی مرتبہ استعمال کر چکے ہیں۔ مساوات 13.291 میں ان شرائط کو پورا کرتے ہوئے

$$(13.293) \quad c'_{z1} = 0$$

$$(13.294) \quad k_z = \frac{m\pi}{z_1}$$

حاصل ہوتا ہے جہاں

$$(13.295) \quad m = 1, 2, 3, \dots$$

کے برابر ممکن ہے۔ آپ دیکھ سکتے ہیں کہ k_z اب صرف چنی گئی قیمت کا ہو سکتا ہے۔ یوں $k_z = \frac{2\pi}{z_1} k_z = \frac{\pi}{z_1}$ یا $k_z = \frac{2\pi}{z_1}$ ہو سکتا ہے لیکن ان دو قیمتوں کے درمیان یہ کسی اور قیمت کا نہیں ہو سکتا۔ یہی خصوصیت مقید موج کی نشانی ہے۔

4705

اسی طرح $y = 0$ اور $y = y_0$ پر بھی دو متوازی موصل چادر نسب کرنے سے صفحہ 454 پر دکھایا شکل 13.8 حاصل ہوتا ہے۔ ان سطحوں پر بھی متوازی برقی میدان صفر ہوگا۔ اس طرح مساوات 13.290 سے

$$(13.296) \quad c'_{y1} = 0$$

$$(13.297) \quad k_y = \frac{n\pi}{y_1}$$

حاصل ہوتے ہیں جہاں

$$(13.298) \quad n = 1, 2, 3, \dots$$

کے برابر ممکن ہیں۔ اب موج y اطراف سے بھی پابند ہے جس کی وجہ سے k_y بھی آزادانہ قیمت رکھنے سے قاصر ہے۔ یوں مستطیلی موج میں موج کی مساوات

$$(13.299) \quad E_x = E_{x0} \sin \frac{n\pi y}{y_0} \sin \frac{m\pi z}{z_0} e^{j(\omega t \mp k_x x)}$$

ہوگی جہاں $e^{j(\omega t - k_x x)}$ بڑھتے x جانب موج جبکہ $e^{j(\omega t + k_x x)}$ گھٹتے x جانب موج ہے۔ k_y اور k_z کی قیمتیں مساوات 13.294 اور مساوات 13.297 کے تحت ہوں گی۔ جیسے آپ جلد مساوات 13.313 میں دیکھیں گے، طول موج اور k کا ایک خاص تعلق ہے۔ یوں جس تعدد کی موج مستطیلی موج سے گزر رہی ہو مساوات 13.313 اس کا k دیتی ہے جو ایک اٹل قیمت ہوگی۔ اب کسی بھی k_y اور k_z کے لئے مساوات 13.288 سے k_x کی قیمت مخصوص تعدد کے موج کے لئے حاصل کی جاسکتی ہے۔ جب تک k_x کی قیمت حقیقی عدد حاصل ہو اس وقت تک مساوات 13.289 سے حرکت کرتی موج ہی حاصل ہوگی البتہ اگر k_y اور k_z کی جوڑی سے k_x کی قیمت خیالی حاصل ہو تب مساوات 13.289 سے

$$X(x) = c_{x1} e^{k_x x} + c_{x2} e^{-k_x x}$$

حاصل ہوگا۔ بڑھتے x جانب موج کی صورت میں $\infty \rightarrow x$ کی صورت میں اس مساوات سے لا محدود میدان حاصل ہوگا لہذا ایسی صورت میں $c_{x1} = 0$ لیا جائے گا۔ مساوات کا باقی حصہ حرکت کرتے موج کو ظاہر نہیں کرتا بلکہ یہ گھٹتے میدان کو ظاہر کرتا ہے۔ آپ دیکھ سکتے ہیں کہ کسی مخصوص تعدد، k_x اور k_y سے 13.288 k_x کی مخصوص قیمت دیتا ہے۔

4708

اگر $x = x_0$ اور $x = 0$ پر بھی موصل چادر نسب کئے جائیں تو صفحہ 499 پر دکھایا شکل 13.24 حاصل ہوگا۔ چونکہ E_x ان چادروں کے عمودی ہے لہذا ہمیں E_z یا E_y کی مساوات درکار ہوگی۔ میں لکھتے لکھتے بہت تھکا ہوں۔ آپ بھی پڑھ پڑھ کر بہت تھکے ہوں گے لہذا میں ان چادروں سے حاصل نتیجہ لکھ لیتا ہوں

$$(13.300) \quad c'_{x2} = 0$$

$$(13.301) \quad k_x = \frac{l\pi}{x_0}$$

جہاں

$$(13.302) \quad l = 1, 2, 3, \dots$$

کے برابر ممکن ہے۔

ان نتائج کو جمع کرتے ہوئے شکل 13.24 میں دکھائے مستطیلی گھمکیا کی مساوات

$$(13.303) \quad \begin{aligned} E_x &= E_{x0} \cos k_x x \sin k_y y \sin k_z z e^{j\omega t} \\ &= E_{x0} \cos \frac{l\pi x}{x_0} \sin \frac{n\pi y}{y_0} \sin \frac{m\pi z}{z_0} e^{j\omega t} \end{aligned}$$

حاصل ہوتی ہے جو ساکن موج ہے۔

آئیں ایک بار پھر مکمل آزاد موج کی بات کریں۔ مساوات 13.289 دراصل دو ممکنہ جوابات $e^{-jk_x x}$ اور $e^{jk_x x}$ کا مجموعہ ہے۔ اسی طرح مساوات 13.290 اور مساوات 13.291 بھی مجموعے ہیں۔ مساوات 13.292 میں X, Y, Z کے مختلف اجزاء پر کرتے ہوئے مختلف امواج کے مساوات حاصل ہوتے ہیں۔ یوں مساوات 13.289، 13.290 اور مساوات 13.291 کے پہلے جزو چنتے ہوئے ایک ممکنہ حل

$$(13.304) \quad E_x = E_{x0} e^{j(\omega t - k_x a_x - k_y a_y - k_z a_z)}$$

حاصل ہوتا ہے۔ کارٹینیسی محدد میں کسی بھی نقطہ (x, y, z) کو سمتیہ

$$(13.305) \quad \mathbf{r} = x\mathbf{a}_x + y\mathbf{a}_y + z\mathbf{a}_z$$

ظاہر کرتی ہے۔ ہم k_x, k_y, k_z اور k کو سمتیہ

$$(13.306) \quad \mathbf{k} = k_x \mathbf{a}_x + k_y \mathbf{a}_y + k_z \mathbf{a}_z$$

لکھ سکتے ہیں جو مساوات 13.288 کے شرط پر پورا اترتی ہے۔ اس طرح

$$(13.307) \quad \mathbf{k} \cdot \mathbf{r} = k_x x + k_y y + k_z z$$

ہوگا لہذا مساوات 13.304 کو نہایت عمدگی کے ساتھ

$$(13.308) \quad E_x = E_{x0} e^{j(\omega t - \mathbf{k} \cdot \mathbf{r})}$$

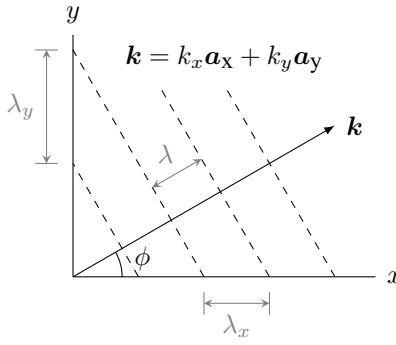
لکھا جاسکتا ہے جس کا حقیقی جزو

$$(13.309) \quad E_x = E_{x0} \cos(\omega t - \mathbf{k} \cdot \mathbf{r})$$

اصل موج دیتا ہے۔ مندرجہ بالا مساوات لامحدود خطے میں موج کی عمومی مساوات ہے جو بڑھتے k کی جانب حرکت کرے گی۔

شکل 13.25 میں موج کے حرکت کی سمت x محدد کے ساتھ ϕ زاویہ بناتی ہے۔ یہ موج xy سطح پر پائی جاتی ہے یعنی $k_z = 0$ کے برابر ہے۔ موج کی چوٹیوں کو نقطہ دار لکیروں سے ظاہر کیا گیا ہے۔ کسی بھی نقطے پر ان چوٹیوں کو گن کر تعدد دریافت کی جاسکتی ہے۔ یوں x محدد پر نقطہ $(x_0, 0)$ سے فی سیکنڈ گزرتے چوٹیوں کی تعداد موج کی تعدد f ہوگی۔ آپ دیکھ سکتے ہیں کہ y محدد پر نقطہ $(0, y_0)$ سے بھی فی سیکنڈ اتنی ہی چوٹیاں گزریں گی۔ اسی طرح k پر بھی کسی نقطے پر چوٹیاں گنتے ہوئے یہی تعدد حاصل ہوتی ہے۔

دو متواتر چوٹیوں کے درمیان فاصلہ طول موج کہلاتا ہے۔ وقت t کو روک کر x محدد پر رہتے ہوئے موج کی دو متواتر چوٹیوں کے درمیان فاصلہ λ_x ناپا جائے گا۔ اسی طرح y محدد پر طول موج λ_y ناپا جائے گی جبکہ حرکت کی سمت میں طول موج λ ناپا جائے گی۔ ان تمام کو شکل 13.25 میں دکھایا گیا ہے۔



شکل 13.25: مختلف طول موج کا آپس میں تعلق

کسی بھی موج کی تعدد f اور طول موج λ جانتے ہوئے اس کی رفتار $f\lambda = v$ لکھی جاسکتی ہے۔ سمت حرکت کی جانب موج کی رفتار $\frac{1}{\sqrt{\mu\epsilon}}$ کے برابر ہوتی ہے لہذا

$$(13.310) \quad f\lambda = \frac{1}{\sqrt{\mu\epsilon}}$$

ہوگا۔ اس مساوات کے دونوں اطراف کو 2π سے ضرب دیتے ہوئے

$$(13.311) \quad \lambda = \frac{2\pi}{\omega\sqrt{\mu\epsilon}}$$

حاصل ہوتا ہے جس میں مساوات 13.280 پر کرنے سے

$$(13.312) \quad \lambda = \frac{2\pi}{k}$$

یا

$$(13.313) \quad k = \frac{2\pi}{\lambda}$$

حاصل ہوتا ہے لیکن ہم جانتے ہیں کہ $\beta = \frac{2\pi}{\lambda}$ ہوتا ہے۔ مندرجہ بالا مساوات کامل ذوبرق $\sigma = 0$ کے لئے حاصل کئے گئے لہذا $\alpha = 0$ اور

$$(13.314) \quad \gamma = 0 + j\beta = jk$$

کے برابر ہے۔ اس طرح k کو جبکہ k_x, k_y, k_z کو بالترتیب $\beta_x, \beta_y, \beta_z$ لکھا جاسکتا ہے۔

4718

ہم توقع کرتے ہیں کہ مساوات 13.313 کی طرح $\lambda_x = \frac{2\pi}{k_x}$ لکھنا ممکن ہوگا۔ انہیں اس حقیقت کو ثابت کریں۔ شکل 13.25 کو دیکھ کر $\lambda_x = \frac{\lambda}{\cos\phi}$ لکھا جاسکتا ہے جہاں شکل کو دیکھتے ہوئے $\cos\phi = \frac{k_x}{k}$ لکھا جاسکتا ہے۔ یوں

$$\lambda_x = \frac{\lambda}{\cos\phi} = \frac{\lambda k}{k_x}$$

لکھ کر $k = \frac{2\pi}{\lambda}$ پر کرتے ہوئے

$$(13.315) \quad \lambda_x = \frac{2\pi}{k_x}$$

حاصل ہوتا ہے۔ اسی طرح ہم

$$\lambda_y = \frac{2\pi}{k_y} \quad (13.316)$$

$$\lambda_z = \frac{2\pi}{k_z} \quad (13.317)$$

بھی حاصل کر سکتے ہیں۔

سمت حرکت کی جانب رفتار جسے **مجموعی رفتار**⁴⁰ کہتے ہیں

$$v = f\lambda = \frac{\omega}{k} \quad (13.318)$$

کے برابر ہے۔ موج اس رفتار سے توانائی ایک جگہ سے دوسری جگہ منتقل کرتی ہے۔ اس کے برعکس کارتیسی محدود **دوری رفتار**⁴¹

$$v_x = f\lambda_x = \frac{\omega}{k_x}$$

$$v_y = f\lambda_y = \frac{\omega}{k_y}$$

$$v_z = f\lambda_z = \frac{\omega}{k_z}$$

ہوں گے۔ شکل 13.25 میں ϕ کی قیمت کم کرنے سے λ_y اور v_y کی قیمت بڑھتی ہے حتیٰ کہ $\phi = 0$ پر $v_y = \infty$ حاصل ہوتا ہے۔ یوں دوری رفتار، روشنی کے رفتار سے زیادہ ہو سکتی ہے۔ دوری رفتار صرف آنکھوں کا دھوکہ ہے، اس رفتار سے موج کا کوئی حصہ حرکت نہیں کرتا لہذا یہ آئن سٹائن کے قانون کی خلاف ورزی نہیں کرتا۔ آئن سٹائن کا قانون کہتا ہے کہ کوئی چیز روشنی سے زیادہ تیز سفر نہیں کر سکتی۔

4722

سوالات

4723

complex permittivity

dispersion

wave over a conducting surface needs revisit. may have to discard it and take the basic explanation as given in kraus. READ field theory of guided waves by collins

divergence, curl formulae at end page

degree, ohm, micro etc not showing

kraus p581 mentions three types of impedances: intrinsic, characteristic and transverse. ensure that i too have these distinctions

kraus fig-13.28 and fig 13.29 and table 13.3 (on p577) are v. impt

Huygens improvements

figTransmissionSmithFromInternet.tex is not giving the figure of the book

the answers should be at the end of the book

handle all side notes () and remove the corresponding text

read chapter 9 onwards (proof reading)

energy travels along the wire and not in the wire.

antenna chapter, 3D figure at start and complete the start section.

house completion certificate.

zaryab fish

$F = \frac{dW}{dT}$ to include in inductance chapter plus a question or two

magnetization curve and an iteration example. fig 8.10, 11 of hayt.

charge is barqi bar.

add questions to machine book too.

take print outs for myself.

5233

5234

when giving fields always remember the following rules:

always ensure that divergence of magnetic field is zero.

moving waves must be of the form $E = E_0 \cos(\omega t - kz)$ where $c = (\mu * \epsilon)^{-0.5}$ and $k = 2 * \pi / \lambda$

include complex permittivity (7th ed Q12.18 says sigma= ω *epsilon")

include 4th ed fig 11.11 of page 422

rename lossless and lossy dielectrics as

الباب 15

سوالات

مویج

سوال 15.1: ہوا سے بھرے مستطیل مویج کے اطراف کی لمبائی 25 mm اور 50 mm ہے۔ اس میں کمتر انقطاعی تعدد کے 1.7 گنا تعدد کی مویج پائی جاتی ہے۔ الف) کم تر انقطاعی طول موج دریافت کریں۔ ب) مویج میں دوری رفتار حاصل کریں۔

جوابات: 100 mm ، $3.843 \times 10^8 \frac{m}{s}$

سوال 15.2: ہوا سے بھرے لمبائی کے اطراف کے چکور مویج میں 40 mm سے زیادہ طول موج کے تمام ممکنہ TE اور TM امواج دریافت کریں۔

جوابات: TE₁₀ ، TE₀₁ ، TE₁₁ ، TE₂₀ ، TE₀₂ ، TE₂₁ ، TE₁₂ ، TM₁₁ ، TM₂₁ ، TM₁₂

سوال 15.3: ہوا سے بھرے 20 mm اور 100 mm لمبائی کے اطراف کے مستطیل مویج میں 150 mm سے زیادہ طول موج کے تمام ممکنہ TM اور TE امواج دریافت کریں۔

جوابات: TE₁₀

سوال 15.4: ہوا سے بھرے نلکی مویج کا رداس 75 mm ہے۔ اس میں کم ضیاعی TE₀₁ موج کی انقطاعی طول موج اور غالب TE₁₁ موج کی انقطاعی طول موج دریافت کریں۔

جوابات: 123 mm ، 256 mm

سوال 15.5: ہوا سے بھرے نلکی مویج کا رداس 100 mm ہے۔ اس میں مندرجہ ذیل بلند درجی امواج کے انقطاعی طول موج دریافت کریں۔ TM₀₂ ، TM₀₁ ، TM₁₁ ، TM₁₂ ، TM₂₁ ، TM₃₁ ، TM₄₁

جوابات: 261 mm ، 114 mm ، 164 mm ، 89 mm ، 122 mm ، 98 mm ، 83 mm

سوال 15.6: ہوا سے بھرے نلکی مویج کا رداس 100 mm ہے۔ اس میں مندرجہ ذیل بلند درجی امواج کے انقطاعی طول موج دریافت کریں۔ TE₀₂ ، TE₀₁ ، TE₁₁ ، TE₁₂ ، TE₂₁ ، TE₂₂ ، TE₃₁ ، TE₄₁

جوابات: 164 mm ، 89 mm ، 341 mm ، 118 mm ، 206 mm ، 94 mm ، 149 mm ، 118 mm

سوال 15.7: ثابت کریں کہ کامل موصل کے نلکی موج میں TE₁₁ بلند درجی انداز اوسطاً $\frac{\omega\mu\beta\rho_0^4 H_0^2}{82}$ واٹ کی طاقت ترسیل کرتی ہے۔

5263

سوال 15.8: ثابت کریں کہ متوازی دو عدد لامحدود موصل چادروں کے موج میں انقطاعی تعدد سے بلند تعدد پر TE₁₀ موج کی تضعیفی مستقل

$$\alpha = \frac{2}{d} \frac{Z_{c,h}}{Z_{d,h}} \frac{\left(\frac{\lambda_0}{2d}\right)^2}{\sqrt{1 - \left(\frac{\lambda_0}{2d}\right)^2}} \quad (\text{Np/m})$$

5264

ہے جہاں

5265

$Z_{c,h}$ موجی موصل چادر کی قدرتی رکاوٹ کا حقیقی جزو،

5266

$Z_{d,h}$ موج میں بھرے دو برق کی قدرتی رکاوٹ کا حقیقی جزو،

5267

d دو لامحدود چادروں میں فاصلہ اور

5268

λ_0 خالی خلاء میں طول موج ہیں

سوال 15.9: ثابت کریں کہ متوازی دو عدد لامحدود موصل چادروں کے موج میں انقطاعی تعدد سے بلند تعدد پر TE_{m0} موج کی تضعیفی مستقل

$$\alpha = \frac{2}{d} \frac{Z_{c,h}}{Z_{d,h}} \frac{\left(\frac{\lambda_0}{\lambda_{0c}}\right)^2}{\sqrt{1 - \left(\frac{\lambda_0}{\lambda_{0c}}\right)^2}} \quad (\text{Np/m})$$

5269

ہے جہاں

5270

$Z_{c,h}$ موجی موصل چادر کے قدرتی رکاوٹ کا حقیقی جزو،

5271

$Z_{d,h}$ موج میں بھرے دو برق کی قدرتی رکاوٹ کا حقیقی جزو،

5272

d دو لامحدود چادروں میں فاصلہ اور

5273

λ_0 خالی خلاء میں طول موج ہیں

سوال 15.10: لامحدود جسامت کے تانبے کے دو چادروں کے درمیان 18 mm کا فاصلہ ہے۔ اس میں 10 MHz تعدد کی TEM موج کا تضعیفی مستقل TE₁₀ اور TEM موج کا تضعیفی مستقل دریافت کریں۔

5275

5276

$$\alpha = 9.67 \frac{\text{mNp}}{\text{m}}, \quad \alpha = 3.85 \frac{\text{mNp}}{\text{m}} \quad \text{جواب:}$$

سوال 15.11: ثابت کریں کہ متوازی دو عدد لامحدود موصل چادروں کے موج میں انقطاعی طول موج سے کم طول موج λ_0 پر TM₁₀ موج کی تضعیفی مستقل

$$\alpha' = \frac{2\alpha}{\sqrt{1 - \left(\frac{\lambda_0}{2d}\right)^2}}$$

5277

ہے جہاں

5278

α موج میں TEM موج کی تضعیفی مستقل اور

5279

d چادروں کے درمیان فاصلہ ہے۔

سوال 15.12: ثابت کریں کہ ایسے مستطیل موج جس کی چوڑائی Z_1 اور اونچائی y_1 ہو میں انقطاعی تعدد سے زیادہ تعدد پر TE_{m0} موج کی تضعیفی مستقل مندرجہ ذیل ہے۔

$$(15.1) \quad \alpha = \frac{2Z_{c,h}}{z_1 Z_{d,h}} \frac{\left[\left(\frac{\lambda_0}{\lambda_{0c}} \right)^2 + \frac{z_1}{2y_1} \right]}{\sqrt{1 - \left(\frac{\lambda_0}{\lambda_{0c}} \right)^2}}$$

سوال 15.13: تانبے کی 1 cm چوڑی پٹی تانبے کی وسیع چادر کے متوازی 1.2 mm فاصلے پر پائی جاتی ہے۔ ان کے درمیان $\epsilon_R = 2.6$ کا فوری بھرا گیا ہے۔ اس موج میں 450 MHz تعدد کی TEM موج حرکت کرتی ہے۔ موج میں برقی میدان کا محیط $300 \frac{\text{mV}}{\text{m}}$ ہے۔ (الف) موج کتنی طاقت منتقل کر رہا ہے۔ (ب) فی میٹر موج میں طاقت کا ضیاع حاصل کریں۔ (پ) موج کا تضعیفی مستقل دریافت کریں۔

5282

5283

جوابات: 2.3 nW ، $91 \frac{\text{pW}}{\text{m}}$ ، $39.5 \frac{\text{mNp}}{\text{m}}$ یا $0.343 \frac{\text{dB}}{\text{m}}$

سوال 15.14: موصل چادر $\sigma = 10^6 \frac{\text{S}}{\text{m}}$ اور 3 cm چوڑی موصل پٹی $\sigma = 10^6 \frac{\text{S}}{\text{m}}$ کے مابین 2 mm موٹائی کا دو برقی $\epsilon_R = 7$ پایا جاتا ہے۔ برقی میدان $E = 3.2 \frac{\text{V}}{\text{m}}$ اور تعدد 500 MHz ہے۔ منتقل طاقت اور موج کا تضعیفی مستقل حاصل کریں۔

5285

5286

جوابات: $4.3 \mu\text{W}$ ، $0.312 \frac{\text{Np}}{\text{m}}$ یا $2.7 \frac{\text{dB}}{\text{m}}$

سوال 15.15: کامل موصل سے بنے مستطیل موج میں TE_{10} کے لئے ثابت کریں کہ اوسط منتقل طاقت مندرجہ ذیل ہے۔

$$(15.2) \quad P_{\text{وسط}} = \frac{\omega \mu \beta |H_0|^2 y_1 z_1^3}{4\pi^2}$$

5287

5288

سوال 15.16: ہوا اور تانبے کے سرحد پر 1 GHz تعدد کے موج کا جھکاو حاصل کریں۔

5289

جواب: 0.00177°

5290

سوال 15.17: ہوا اور پانی $\epsilon_R = 78$ کے سرحد پر 1 GHz تعدد کے موج کا جھکاو حاصل کریں۔

5291

جواب: 6.46°

سوال 15.18: تانبے کی چادر کے متوازی 150 MHz تعدد کی موج حرکت کر رہی ہے۔ برقی میدان $E = 50 \frac{\text{V}}{\text{m}}$ چادر کی سطح کے عمودی ہے۔ (الف) چادر کے متوازی منتقل طاقت کا پوائنٹنگ سمتیہ دریافت کریں۔ (ب) مقناطیسی میدان کی موثر قیمت حاصل کریں۔ (پ) چادر کی سطح پر برقی میدان حاصل کریں۔ (ت) چادر میں داخل طاقت کا پوائنٹنگ سمتیہ دریافت کریں۔

5294

5295

جوابات: $6.636 \frac{\text{W}}{\text{m}^2}$ ، $0.133 \frac{\text{A}}{\text{m}}$ ، $56.3 \frac{\mu\text{W}}{\text{m}^2}$

سوال 15.19: موصل کی لامحدود سطح کے متوازی موج حرکت کر رہی ہے۔ سطح کے عمودی برقی میدان $E = 150 \frac{\text{V}}{\text{m}}$ ہے۔ موصل کی قدرتی رکاؤتس کی حتمی قیمت $|Z_c| = 0.012 \Omega$ ہے۔ (الف) سرحد کے متوازی فی میٹر رقبے سے گزرتی طاقت دریافت کریں۔ (ب) موصل سطح کے فی میٹر رقبے میں داخل طاقت دریافت کریں۔

5298

5299

جوابات: $59.7 \frac{\text{W}}{\text{m}^2}$ ، $1.9 \frac{\text{mW}}{\text{m}^2}$

سوال 15.20: موصل $\sigma = 10^7 \frac{\text{S}}{\text{m}}$ کی سطح کے متوازی خالی خلاء میں 1.2 GHz تعدد اور $E = 50 \frac{\text{mV}}{\text{m}}$ کی موج حرکت کر رہی ہے۔ مقناطیسی میدان سرحد کے متوازی ہے جبکہ برقی میدان سرحد کے عمودی ہے۔ فی مربع میٹر موصل رقبے میں طاقت کا ضیاع حاصل کریں۔

5301

5302

جواب: $0.38 \frac{\text{nW}}{\text{m}^2}$

سوال 15.21: موصل سطح کے متوازی TEM موج حرکت کر رہی ہے۔ ثابت کریں کہ $K = \rho_S v_S$ کی صورت میں، جہاں K ایمپیئر فی میٹر میں سطحی کثافت برقی رو، ρ_S کولمب فی مربع میٹر میں سطحی کثافت چارج اور v_S میٹر فی سیکنڈ میں موج کی رفتار ہو، $K = H$ ہو گا جہاں H موج کے مقناطیسی میدان H کا محیط ہے۔

5305

5306

جدول 15.1: σ

$\sigma, \frac{\text{S}}{\text{m}}$	چیز	$\sigma, \frac{\text{S}}{\text{m}}$	چیز
7×10^4	گرفتار	6.17×10^7	چاندی
1200	سلیکان	5.80×10^7	تانبا
100	فیرائٹ (عمومی قیمت)	4.10×10^7	سونا
5	سمندری پانی	3.82×10^7	المونیم
10^{-2}	چھونا پتھر	1.82×10^7	ٹنگسٹن
5×10^{-3}	چکنی مٹی	1.67×10^7	جست
10^{-3}	تازہ پانی	1.50×10^7	پیتل
10^{-4}	مقطر پانی	1.45×10^7	نکل
10^{-5}	ریتیلی مٹی	1.03×10^7	لوہا
10^{-8}	سنگ مرمر	0.70×10^7	قلعی
10^{-9}	بیک لائٹ	0.60×10^7	کاربن سٹیل
10^{-10}	چینی مٹی	0.227×10^7	مینگنیز
2×10^{-13}	بیرا	0.22×10^7	جرمنیم
10^{-16}	پولیسٹرن پلاسٹک	0.11×10^7	سٹینلس سٹیل
10^{-17}	کوارٹس	0.10×10^7	نائیکروم

جدول 15.2: $\sigma/\omega\epsilon$ and ϵ_R

$\sigma/\omega\epsilon$	ϵ_R	چیز
	1	خالی خلاء
	1.0006	ہوا
0.0006	8.8	المونیم آکسائیڈ
0.002	2.7	عنبر
0.022	4.74	بیک لائٹ
	1.001	کاربن ڈائی آکسائیڈ
	16	جرمنیم
0.001	4 تا 7	شیشہ
0.1	4.2	برف
0.0006	5.4	ابر
0.02	3.5	نائلون
0.008	3	کاغذ
0.04	3.45	پلیکسی گلاس
0.0002	2.26	پلاسٹک (تھیلا بنانے والا)
0.000 05	2.55	پولیسٹرین
0.014	6	چینی مٹی
0.0006	4	پائریکس شیشہ (برتن بنانے والا)
0.000 75	3.8	کوارٹس
0.002	2.5 تا 3	ریڑ
0.000 75	3.8	سلیکا SiO_2
	11.8	سلیکان
0.5	3.3	قدرتی برف
0.0001	5.9	کھانے کا نمک
0.07	2.8	خشک مٹی
0.0001	1.03	سٹائروفوم
0.0003	2.1	ٹیفلان
0.0015	100	ٹائٹینیم ڈائی آکسائیڈ
0.04	80	مقطر پانی
4		سمندری پانی
0.01	1.5 تا 4	خشک لکڑی

جدول 15.3: μ_R

μ_R	چیز
0.999 998 6	بسمت
0.999 999 42	پیرافین
0.999 999 5	لکڑی
0.999 999 81	چاندی
1.000 000 65	المونیم
1.000 000 79	بیریلم
50	نکل
60	ڈھلوان لوہا
300	مشین سٹیل
1000	فیرائٹ (عمومی قیمت)
2500	پریم بھرت (permalloy)
3000	ٹرانسفارمر پتری
3500	سیلکان لوہا
4000	خالص لوہا
20 000	میو میٹل (mumetal)
30 000	سنڈسٹ (sendust)
100 000	سوپریم بھرت (supermalloy)

جدول 15.4: اہم مستقل

قیمت	علامت	چیز
$(1.602\,189\,2 \pm 0.000\,004\,6) \times 10^{-19} \text{ C}$	c	الیکٹران چارج
$(9.109\,534 \pm 0.000\,047) \times 10^{-31} \text{ kg}$	m	الیکٹران کمیت
$(8.854\,187\,818 \pm 0.000\,000\,071) \times 10^{-12} \frac{\text{F}}{\text{m}}$	ϵ_0	برقی مستقل (خالی خلاء)
$4\pi 10^{-7} \frac{\text{H}}{\text{m}}$	μ_0	مقناطیسی مستقل (خالی خلاء)
$(2.997\,924\,574 \pm 0.000\,000\,011) \times 10^8 \frac{\text{m}}{\text{s}}$	c	روشنی کی رفتار (خالی خلاء)

